

Окончание таблицы 15.7	
17. Несоответствие химического состава сплава	Использовать кондиционные шихтовые материалы.
Использованы некачественные шихтовые материалы	Соблюдать технологию плавки.
Металл загрязнён в процессе плавки	Соблюдать технологические параметры плавки. Изменить конструкцию ЛПС.
Нарушен тепловой режим плавки.	Использовать кондиционные шихтовые материалы.
Несоответствие химического состава сплава паспортным данным.	Использовать кондиционные шихтовые материалы.
Химический состав сплава не соответствует паспортным данным.	См. п. 18
Несоответствие структуры сплава.	См. п. 13–16
В отливке присутствуют несплошности металла (сплы, рыхлоты и т.п.).	См. п. 18

Дефекты отливок, полученных в гипсовых формах. Дефекты, за некоторым исключением, присущие стальным отливкам из углеродистых сталей (коробление, трещины, повышенная шероховатость поверхности, спай, недоливы, незаливы и т.п.), получаемых в КО, присущи отливкам из медных, алюминиевых и магниевых сплавов, получаемых в монолитные гипсовые формы. При этом способы предупреждения данных дефектов у отливок, получаемых в гипсовые формы, практически такие же, как и для стальных отливок, получаемых в КО.

В частности, с целью снижения величины газоусадочной пористости отливок, для их изготовления следует использовать первичные шихтовые материалы с хорошо очищенной поверхностью, понизить начальную температуру формы к моменту её заливки до $150\ldots200^{\circ}\text{C}$, в кремнистой латуни понизить содержание кремния, дегазировать расплав и т.п. Для снижения шероховатости отливок форму следует выполнять из гипсовой смеси, не содержащей кварцевый песок. К числу таких смесей относится, например, гипсовая смесь, содержащая (по массе): 80% гипса и 20% обожженного хризотилового асбеста (порошка).

Устранить трещины в отливке можно путём повышения технологичности её конструкции, конструкции ЛПС, орнаментирования поверхности отливки или изменяя режим прокаливания формы. В последнем случае прокаливание формы следует проводить в течение 3...6 ч при температуре $500\ldots600^{\circ}\text{C}$, либо в течение 1,5...2,0 ч при температуре $700\ldots750^{\circ}\text{C}$.

К числу специфических дефектов отливок, получаемых в монолитных гипсовых формах, относятся вскип и, для отливок из магниевых сплавов, загар.

Вскипы – это крупные поверхностные газовые раковины. Для предупреждения образования вскипов следует увеличить длительность и температуру прокаливания форм, в "тупиковых" частях формы выполнить выпоры.

Загар – это локальное или полное покречнение поверхности отливки из магниевого сплава. Во избежание образования данного дефекта поверхности, в гипсовую смесь вводят 1% борной кислоты, в форме не выполняют выпоры и не используют прибыли открытого типа, перед заливкой поверхность ЛВ и доступную часть поверхности стояка припиливают смесью, состоящей из (по массе) 50% борной кислоты и 50% порошкообразной серы.

Влияние человеческого фактора на качество отливок. Несмотря на значительные успехи и прогресс в области литья по выплавляемым моделям, на сегодняшний день промышленная реализация данного метода ещё далёка от совершенства и характеризуется относительно невысокой стабильностью качества, что,

в совокупности с относительно высокой себестоимостью литья, по сравнению с другими способами получения деталей, зачастую не прибавляет данному способу ни привлекательности, ни конкурентоспособности.

Рассматривая вопрос об уровне и стабильности качества отливок, получаемых методом литья по выплавляемым моделям, следует отметить, что на качество литья, помимо технологических факторов, существенное влияние оказывает фактор человеческий [234], в свою очередь, зависящий от уровня квалификации и уровня оплаты труда работников, их морально-нравственного и физического состояния, уровня организации и условий труда на производстве и т.п. При этом, в величине брака изготавливаемых отливок доля технологической и человеческой составляющей может быть различна даже в условиях одного предприятия для различных наименований отливок и, при всех прочих равных условиях, зависит от степени автоматизации производства литья.

В условиях низкого уровня автоматизации производства доля человеческого фактора становится превалирующей и, даже несмотря на высокий уровень используемой технологии, технологичность отливок и совершенство конструкций используемых ЛПС, уровень брака будет достаточно высоким, а качество получаемых литьевых деталей – нестабильно. Поэтому высокий уровень брака отливок не всегда является показателем плохо спроектированной конструкции ЛПС, нетехнологичной конструкции отливки, неудачно выбранной технологической схемы производства отливки и т.п. То есть в условиях установившегося производства литья величину брака какого-либо наименования отливок, изготавливаемых на каком-либо предприятии, можно рассчитать по формуле:

$$\text{Бр} = \text{Брт} + \text{Брч},$$

(15.5)

где Брт и Брч – доля брака отливок, обусловленная влиянием технологических факторов и фактора человеческого соответственно, %.

В "чистом" виде определить величины, входящие в правую часть формулы (15.5), достаточно проблематично. Тем не менее с определённой степенью точности оценить их абсолютные значения возможно.

Для выяснения степени влияния человеческого фактора на качество отливок автором были проведены соответствующие исследования и социальные активно направленные эксперименты на ряде отечественных предприятий, серьёзно производящих литьё методом выплавляемых моделей.

Первый этап проведенных исследований преследовал цель выявить наличие влияния человеческого фактора как такового на качество литья. С этой целью, исходя из того, что в различные дни рабочей недели работники имеют различное психико-физическое состояние, все основные технологические операции производства литья (изготовление моделей отливок и монтаж модельных блоков, изготовление КО, заливку КО) для каждой конкретной партии отливок выполняли или начинали выполнять только в строго определённые дни недели (например, только по понедельникам, только по вторникам и т. д.). То есть, например, для выбранных отливок-представителей одной партии изготовление моделей отливок и монтаж модельных блоков, изготовление КО и их заливку проводили только по понедельникам и т.д.

Для исследований были выбраны две отливки-представителя, изготавливаемые на различных предприятиях методом литья по выплавляемым моделям, по различным технологическим схемам.

Результаты определения величины общего брака у выбранных отливок-представителей представлены на гистограмме рис. 15.1.

На рис. 15.1 чёрным цветом отмечена величина брака отливов "Корпус" из стали 10Х18Н9Л (масса отливки 1,7 кг), белым цветом отмечена величина брака отливок "Ключ" из стали 45Л (масса отливки 0,065 кг).

Анализ данных, представленных на рис. 15.1, показывает, что величина общего брака отливов находится в прямой зависимости от дня недели, в которых выполнялись основные технологические операции по их производству. При этом наибольший брак отливов наблюдался в пятерых отливках, у которых все основные технологические операции проводили по понедельникам. Наименьший брак – в пятерых отливках, у которых все основные технологические операции проводили по четвергам, что свидетельствует о значительном влиянии человеческого фактора на уровень брака выбранных отливов-представителей.

Второй этап исследований был направлен на изучение влияния длительности времени производства серийных отливков на величину их брака. Для исследований были выбраны девять отливков, ранее не изготавливаемых на данных предприятиях. Обобщённая зависимость величины общего брака отливков от длительности времени их производства (с момента начала освоения технологии производства отливок на данных предприятиях) представлена на рис. 15.2.

Анализируя зависимость, представленную на рис. 15.2, можно выделить четыре характерные периода времени.

Первый период времени (от 0 до t_1) – период освоения и корректировки технологии изготовления отливок. Данный период выпуска литья характеризуется неуклонным (от первоначального значения B_{Rn} до значения B_{Rx}) снижением уровня общего брака отливок, осваиваемых в производстве. Снижение общего брака литья в данный период времени обусловлено процессами оптимизации технологических параметров получения отливок, проводимыми цеховыми инженерами-технологами.

Второй период времени (от t_1 до t_2) – период, характеризующийся наименьшей величиной общего брака выпускаемых отливок, находящейся на уровне B_{Rc} . Данный период выпуска литья соответствует окончанию процесса освоения технологии производства отливков и началу их серийного выпуска.

Третий период времени (от t_2 до t_3) – период, характеризующийся началом повышения среднего уровня общего брака литья от величины B_{Rc} до B_{Rt} . Как прави-



Рис. 15.2. Зависимость величины общего брака отливок от длительности времени выпуска отливок



Рис. 15.1. Зависимость величины общего брака отливок от дня недели выполнения основных технологических операций

ло, причиной повышения уровня общего брака освоенного литья являлось приспособливание работников к появившимся новым технологическим операциям на новую цеховую продукцию, с определённым, незаметным для этих работников, ущербом качества продукции, но максимальным возможным для работников удобством выполнения этих технологических операций.

Четвёртый период времени (от t_3 и далее) – период серийного выпуска литья, в которых все основные технологические операции и характеристики отливок в пределах от B_{Rmin} до B_{Rmax} со средней величиной общего брака B_{Rt} .

Возвращаясь к зависимости, представленной на рис. 15.2, следует отметить, что минимум величины общего уровня брака во втором периоде времени выпуска отливок, собственно, в этом случае, доля общего брака, вызванного влиянием человеческого фактора B_{Rt} , составляет (в среднем):

$$B_{Rt} = B_{Rc} - B_{Rn}$$

(15.6)

Наличие минимума у зависимости, представленной на рис. 15.2, объясняется горячим эффектом и свидетельствует в пользу значительного влияния человеческого фактора на качество отливок, производимых методом литья по выплавляемым моделям (**горячий эффект** – это условия, при которых новизна, интерес к эксперименту или повышенное внимание к какому-либо вопросу приводят к искаженному, зачастую слишком благоприятному, результату).

То есть участники освоения технологии производства новой отливки работают намного усерднее и кропотливее, чем обычно, благодаря, во-первых, тому, что они причастны к данному процессу, во-вторых, потому, что данная работа отличается от повседневной рутинной работы, в-третьих, потому, что работники, участвующие в освоении технологии производства новой отливки (отливок), в этот период времени достаточно оперативно получают информацию о качестве произведенной ими продукции (качество осваиваемой отливки или отливок).

В рассматриваемом случае, по мнению автора, именно эти обстоятельства привели к появлению минимума на зависимости, представленной на рис. 15.2.

Исходя из вышеизложенного, целью третьего этапа работы стало определение долевого влияния технологического и человеческого факторов на качество отливок в условиях установившегося процесса выпуска литья, то есть в четвёртый период времени производства отливок (см. рис. 15.2).

В качестве объекта исследований были выбраны турбинные лопатки, изготавливаемые из жаропрочного никелевого сплава в вакуумной плавильно-заливочной установке УППФ-ЗМ.

Методика набора статистических данных состояла в следующем. В литейном цехе одного из промышленных предприятий осуществляли набор статистической информации о качестве турбинных лопаток, произведенных по технологии, принятой на предприятии, в течение чередующихся друг за другом 46 рабочих дней. При этом за указанный период времени на 14-й, 29-й, 34-й и 45-й день работы цеха (по четвергам) на плавильный участок цеха приходил наблюдатель, о чём за сутки до этого уведомляли работников цеха. Основной задачей наблюдателя являлось его присутствие на плавильном участке и наблюдение за действиями бригад плавильного участка в период проведения контрольных плавок, не вступая в контакт с работниками цеха.

Критерием оценки качества отливок, залитых в рассматриваемый период времени, являлась величина брака турбинных лопаток, забракованных по результатам

исследования их качества методом ЛЮМ-контроля (по поверхностным дефектам). Результаты определения величины брака турбинных лопаток, по данным ЛЮМ-контроля представлены на рис. 15.3.



Рис. 15.3. Зависимость величины брака отливок (по данным ЛЮМ-контроля) от порядкового номера рабочего дня заливки КО

Анализ данных, представленных на рис. 15.3, показывает, что величина забракованных по результатам ЛЮМ-контроля турбинных лопаток, от общего числа залитых турбинных лопаток, изменяется в пределах от 27,5% до 39,5% и в среднем составляет 34%. При этом величина забракованных ЛЮМ-контролем турбинных лопаток, от числа залитых во время контрольных плавок, находится в пределах от 8,0% до 21%. Причём с увеличением числа проведенных дней контрольных плавок величина забракованных по ЛЮМ-контролю турбинных лопаток повышается. В связи с этим величину брака отливок, обусловленную технологическими факторами, следует принять равной $B_{P_T} = 8\%$. Соответственно величина брака, обусловленная человеческим фактором, в соответствии с формулой (15.2), составит $B_{P_H} = 34 \cdot 8 = 26\%$.

Определив, таким образом, величины, входящие в уравнение (15.5), можно рассчитать коэффициент нестабильности технологии (КНТ):

$$KHT = \frac{B_{P_H}}{B_{P_T}}. \quad (15.7)$$

Применительно к рассматриваемому случаю величина КНТ технологии подготовки, плавки и заливки КО составляет:

$$KHT = \frac{B_{P_H}}{B_{P_T}} = \frac{26}{8} = 3,25.$$

Чем больше величина КНТ, тем нестабильнее качество производимой продукции. Для литейных цехов с высоким уровнем автоматизации величина КНТ, как правило, меньше единицы.

По сути, в условиях литейного цеха величина КНТ является не только показателем низкого уровня автоматизации цеха, но и своеобразным критерием, определяющим основного "виновника" как нестабильности качества производимого литья, так и уровня его брака.

С определённой степенью достоверности, можно констатировать, что, если величина КНТ ≤ 1 , то за высокий уровень брака в литейном цехе, в основном, ответственны цеховые инженеры-технологи. Если величина КНТ > 1 , то основной "груз" ответственности в данном случае лежит на структуре управления и организации производства в цехе.

Следует отметить, что величину КНТ по вышеописанной методике можно определять как для отдельных технологических операций и отдельных отливок, так и для производства отливок в литейном цехе в целом.

Зная среднюю величину брака каждого наименования отливок, его КНТ, а также объём выпускавшегося цехом литья и его себестоимость, несложно рассчитать в дальнейшем эквивалентную величину потерь от присутствия человеческого фактора в технологическом процессе выпуска литья. Располагая такими данными, в свою очередь, несложно принять решение о целесообразности автоматизации производства какой-либо технологической операции или технологического процесса производства литья в целом.

Опыт работы литейных цехов с высоким уровнем автоматизации основных технологических операций свидетельствует, что сокращение влияния человеческого фактора на качество выпускаемой продукции позволяет сократить общий брак литья в 1,3...3,5 раза и более, а также существенно стабилизировать качество выпускаемых литьёных деталей.

Обобщая вышеизложенное, можно констатировать, что:

1. В условиях низкого уровня автоматизации производства литья доля составляющей человеческого фактора весьма высока и её следует периодически определять, прежде всего, для оценки состояния технологии и технологической дисциплины в цехе.

2. Стабильного и высокого качества литья, а также высокой эффективности производства можно достичь только в условиях автоматизации всех основных технологических операций производства отливок, когда роль человеческого фактора будет сведена к минимуму.

В условиях низкого уровня автоматизации производства повышения качества производимой продукции, как правило, достигают за счёт реализации комплексных мероприятий организационного характера, а также увеличения объёма контроля в процессе выпуска литья.

Исправление дефектов отливок (ремонт отливок). Дефекты в отливках исправляют в том случае, если это технически выполнимо, если длительность ремонта непродолжительна и стоимость ремонта при этом окажется ниже стоимости нововь изготавленной отливки. Основные способы ремонта отливок: рихтовка, заварка, пайка и слесарная обработка.

Металлические гребешки и сырь, наплыты и т.п., а также технологические ребра с поверхности отливок удаляют механически с помощью слесарного инструмента (зубил, шарошек, напильников, надфилей, заточных кругов и т.п.).

Коробление относится к числу наиболее часто встречающихся дефектов отливок, которое исправляют путём рихтовки отливок в холодном состоянии.

Рихтовке подвергают только отливки из достаточно пластичных сплавов (сплавы, у которых $\delta^{20} > 2\%$). Отливки из хрупких сплавов, например, из жаропрочных и инструментальных сталей, рихтовать не рекомендуется в связи с опасностью их разрушения в процессе рихтовки.

До начала рихтовки, с помощью контрольного прибора или измерительного инструмента, оценивают величину деформации (коробления) отливки, после чего определяют соответствующий приём рихтовки. Исправление дефекта в условиях единичного или мелкосерийного производства обычно проводят вручную с исполь-

зованием молотков. В условиях массового производства литья и при систематическом образовании дефекта рихтовку отливок проводят на прессах, в специальных правочных штампах либо на специальных ручных приспособлениях.

После рихтовки проводят повторную проверку отливки и, в случае устранения дефекта, термообрабатывают. Термообработка после рихтовки необходима для снятия напряжений, появившихся в отливке в результате её холодной деформации.

Как правило, стальные отливки, прошедшие рихтовку, нормализуют.

Наружные раковины, трещины, спай, крупный засор, рыхлоты и т. п. в отливках устраняют заваркой. Перед заваркой дефектное место отливки разделяют на всю глубину дефекта и придавая сечению образующейся лунки U- или I-образную форму. После зачистки дефектное место заваривают, наплавляя металл в зачищенной лунке под уровень с поверхностью тела отливки. Для заварки используют аргонно-дуговую сварку, дуговую электросварку с литым электродом или с проволокой, имеющей химический состав, аналогичный отливке, газовую сварку с предварительным подогревом отливок и т. п.

Некоторые технологические особенности заварки дефектов и сварки отливок из различных сплавов приведены в табл. 15.8.

Таблица 15.8
Некоторые особенности заварки дефектов отливок из различных сплавов

Материал отливки	Особенности заварки дефектов и сварки отливок
Низкоуглеродистая сталь	Заварка (сварка) не представляет особых трудностей и не требует никаких специальных условий.
Среднеуглеродистая сталь	Среднеуглеродистые стали свариваются значительно хуже низкоуглеродистых. В связи со склонностью к закалке, отливки из среднеуглеродистой стали перед заваркой (сваркой) предварительно нагревают до 300°С и впоследствии термообрабатывают. По возможности, сварку ведут быстрее.
Высокоуглеродистая сталь	Высокоуглеродистые стали свариваются плохо. Стали склонны к росту зерна. Шов получается пористый. Заварку (сварку) следует вести быстро. Место заварки (сварки) следует предварительно нагреть до 660–700°С. Необходима последующая термообработка.
Хромистая сталь	Хромистые стали склонны к закалке на воздухе и образованию трещин. Перед заваркой (сваркой) отливку следует нагреть до 130–200°С. Для заварки (сварки) используют электроды со специальными покрытиями.
Хромоникелевая сталь (типа 18-8)	Сварку необходимо вести быстро и непрерывно, поскольку сталь склонна к окислению на нагретом состоянии, а также высока вероятность выделения карбидов хрома в наплавленном металле и переходной зоне шва. Для варительного подогрева до 280–300°С.
Хромомolibденовая сталь	Заварка (сварка) не представляет особых трудностей и не требует никаких специальных условий.
Высокомарганцовистая сталь	Сталь склонна к образованию трещин и выгоранию марганца. Заварку (сварку) необходимо вести, по возможности, медленно, поскольку быстрый нагрев ведёт к выпадению карбидов в наплавленном металле и переходной зоне шва.
Чугун	Заварка (сварка) чугуна затруднительна в связи со склонностью чугуна к отбелению и образованию трещин. Горячую заварку (сварку) осуществляют при температуре отливки 650–700°С. Процесс ведут непрерывно, не допуская охлаждения металла. Используют электроды из серого чугуна, флюсы. Полугорячую заварку (сварку) осуществляют с местным нагревом отливки до температуры 300–400°С, для отливок сложной формы – до температуры 550°С. Сварку проводят качественными чугунными электродами или электродами из кремний-углеродистой стали с покрытиями. Холодную сварку проводят стальными электродами со стабилизирующей обмазкой.

1	2	3
Бронза	При сварке сплавная бронза обладает невысокой жидкотекучестью и хрупкостью. Выделяется олово, что приводит к образованию пористости и белому налету на поверхности отливки. Сложность сварки алюминиевой бронзы заключается в значительном образовании окислов алюминия. В кремнистых бронзах в процессе сварки образуется тонкая пленка неплавящихся окислов. Заварку (сварку) проводят после предварительного нагрева отливки до 500°С. Проволока для алюминиевой и алюминиево-бронзовой бронзы должна быть одного состава со свариваемыми металлами. Для сплавных бронз используют бронзовые прутки с добавлением металлов. Для сплавных бронз используют бронзо-порообразование. Сварку ведут при температуре отливки 500°С. Металл склонен к перегреву и порообразованию. Сварку ведут на большой скорости.	Окончание таблицы 15.8
Латунь	При высоких температурах алюминиевые сплавы окруживаются, что приводит к появлению пор, трещин и прозвалов. Алюминиевые сплавы склонны к перегреву, имеют большую усадку при охлаждении, что приводит к короблению отливки. При заварке (сварке) отливку следует нагреть до 350–450°С. Присадка – проволока из основного материала или проволока АК. Перед наложением сварки поверхность отливки очищают от окисных пленок химическим или механическим путем. Процесс сварки (сварки) ведут непрерывно. Сварку ведут с использованием защитных флюсов или в защитной среде (аргоне). Аргон следует применять с содержанием азота не более 0,4...0,5% и кислорода не более 0,02%.	
Алюминиевые сплавы	Сварка ведется легко, без особых трудностей, в среде аргона.	
Титановые сплавы	Свариваются легко, без особых трудностей, в среде аргона.	

После заварки с помощью шарошек или напильника проводят зачистку мест залива и нормализацию отливок. Если отливка относится к 3-й группе контроля, то места заварки дополнительно контролируют методом рентген-контроля и (или) капиллярной дефектоскопии.

За рубежом для устранения внутренних и поверхностных дефектов титановых, магниевых, алюминиевых, никелевых, кобальтовых и стальных отливок специального назначения, в ряде случаев, используют метод горячего изостатического прессования (ГИП). В основном, ГИП подвергают турбинные лопатки, крыльчатки радиальных и аксиальных компрессоров авиационных двигателей, детали, работающие в установках атомной техники, медицинских протезов и т. п.

ГИП (*hot isostatic pressing*) – это процесс, при котором отливку подвергают одновременному воздействию высокой температуры и изостатическому газовому давлению (наиболее используемый газ – аргон) в автоклаве в течение определённого времени. В результате проведения ГИП в отливке исчезают внутренние раковины и микропоры, чему способствует пластическая деформация и диффузии в сплаве обрабатываемой отливки.

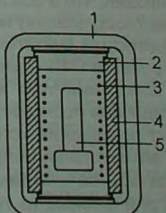


Рис. 15.4. Схема газостата

Принципиальная схема установки газового изостатического прессования (газостата) представлена на рис. 15.4 (на рис. 15.4 обозначены: 1 – рама; 2 – крышка; 3 – нагреватель; 4 – камера высокого давления; 5 – отливка). Размеры рабочей камеры различных газостатов, как правило, составляют: диаметр – 150...1600 мм, высота – 250...3200 мм. Максимальное газовое давление в рабочей камере при ГИП отливок – до 316,4 МПа, температура – до 1500 °С, длительность изотермической выдержки отливок в камере газостата – 2...4 ч.

Перед проведением ГИП поверхность отливок очищают от окислов и покрывают тонким слоем специальной эмали, которую, по окончании проведения ГИП, удаляют с поверхности отливки.

Исследования проведенные автором по обработке ГИП отливок с толщиной стенок от 3 до 8 мм из стали ВНЛ-1 и ВНЛ-6 свидетельствуют, что ГИП (ГИП испытаний 200...220 МПа) позволяет (по данным рентген-контроля и результатам определения плотности металла отливок методом гидростатического взвешивания) устранить в отливках микро- и макропористость и существенно уменьшить площади, занимаемые рыхлостями в стенах отливок.

Использование ГИП позволяет не только устранять дефекты в отливках, но и повысить механические и эксплуатационные свойства сплавов [31; 149; 245 и др.]. Например, обработка ГИП отливок со стабилизирующей термообработкой, проведенной до и после ГИП, из сплава Mar-M247 (10% Cu; 8,2% Cr; 5,5% Al; 1,5% Ni; 3% Ta; 60% Mo; Ni-остальное) позволила увеличить усталостную прочность отливок более, чем в 10 раз. При этом, после 650 ч испытаний при 982°C обработанные отливки не имели усталостных трещин, а в структуре металла не произошло выпадение новой фазы [245].

По данным [149], обработка ГИП отливок из жаропрочного никелевого сплава Rene-120 (режим обработки: $P=100$ МПа, $t=1200$ °C, $\tau=4$) позволила увеличить предел прочности сплава с 724 до 735 МПа, предел текучести с 582 до 610 МПа, относительное удлинение с 2,5 до 4,2%, уменьшила объём усадочной пористости с 0,5 до 0,03%, увеличила среднее число циклов до разрушения при испытаниях с малоциклической усталостью с 1853 до 12077 (параметры термоциклического нагружения: нагрузка 0-586 МПа, температура 870°C, частота 0,5 Гц).

Обработка ГИП отливок из титановых сплавов полностью устраниет внутренние дефекты отливок, стабилизирует механические свойства металла и повышает показатель σ_1 на 20...25%. Помимо этого ГИП повышает прочностные свойства титановых сплавов о чём, например, свидетельствуют данные, приведенные в табл. 15.9 [31].

Свойства сплава ВТ35Л

Таблица 15.9

Состояние сплава	σ_B	$\sigma_{0,2}$	σ_{-1}	δ	ψ	КСИ, МДж/м ²
	МПа	%				
Литое	795	720	-	13,2	15,9	0,363
Литое+ГИП+старение	1136	982	480	8,2	17,5	0,314

Примечание. ГИП: $t=870$ °C, $\tau=24$, старение: $t=530$ °C, $\tau=8$ ч.

Исследуя механизм влияния ГИП на повышение усталостной прочности отливок из титановых сплавов, Л.Г.Ходоровский с сотрудниками установил, что в основе упрочнения сплава при обработке ГИП лежит механизм прорыва (поступления) металла в полость усадочного дефекта отливки, а не скатие дефекта, как считалось ранее. То есть вокруг каждой поры или раковины в отливке в процессе ГИП возникает область, в которой матрица пронизана упрочняющими волокнами того же сплава. При этом, чем равномернее распределена исходная усадочная пористость в теле отливки, тем достигается больший упрочняющий эффект повышения усталостных свойств сплава при обработке ГИП. Установлено, что оптимальная величина усадочной пористости в титановых отливках, впоследствии обрабатываемых ГИП, должна составлять 1,5...2,0%. То есть использование ГИП для отливок из титановых сплавов ставит задачу получения отливок с регламентированной величиной усадочной пористости, поскольку газостатирование отливок с низкой величиной усадочной пористости практически не приводит к повышению усталостной прочности сплава [310].

Глава 16. ФОРМИРОВАНИЕ ТОЧНОСТИ ОТЛИВОК

Точность отливки – один из показателей качества, предопределяющий затраты на последующую механическую обработку отливки, её себестоимость, длительность цикла изготовления детали, массы изделия, в котором работает деталь, а также работоспособность, долговечность и надёжность работы в изделии. Именно поэтому многочисленные работы в области литья по выплавляемым моделям посвящены решению вопроса о повышении точности получаемых отливок [65; 241; 247 и др.].

Точность отливки – это степень соответствия геометрических параметров, щероховатости поверхности и массы реальной отливки аналогичным параметрам идеальной детали. Точность отливки тем выше, чем меньше в ней будет непропусков и припусков на механическую обработку, технологических ребер, платиков, приливов и т. п.

Требования к точности отливки предопределяются условиями её работы и назначаются на стадии проектирования детали. Как правило, требования к качеству литой детали предопределяют точность получаемой отливки. На сегодняшний день из числа серийно производимых отливок методом литья по выплавляемым моделям наиболее высокие требования предъявляют к точности турбинных лопаток ГД.

Точность соответствия отливки геометрическим параметрам идеальной детали – понятие комплексное, включающее следующие признаки: точность размеров, точность формы и расположения элементов отливки, щероховатость её поверхности [241].

Точность размеров. В условиях серийного выпуска литья точность размеров отливки, прежде всего, определяется стабильностью технологического процесса её изготовления. Стабильность какого-либо технологического процесса можно оценить по характеру распределения отклонений того или иного параметра, характеризующего качество отливки. К числу таких параметров относятся размеры, масса отливки, степень коробления отливки, количество поверхностных и размеры внутренних усадочных дефектов, механические свойства сплава и т. д. В частности, по характеру распределения отклонений значений механических свойств используемого сплава можно оценить стабильность технологии плавки, химического состава и термической обработки сплава. По характеру и величине отклонений значений размеров отливки можно оценить стабильность технологического процесса производства литья в целом.

Размерную точность отливок, получаемых в условиях текущего производства, оценивают по результатам статистического анализа измерений контролируемых размеров отливок. Для проведения статистического анализа размерной точности изготавливаемых отливок выбирают один или более размеров отливки представителя и путём проведения замеров этих величин на определённой партии отливок определяют их значения.

Допустим, что величины $L_1, L_2, L_3 \dots L_N$ – числовые значения одного и того же размера у N одинаковых отливок, определённые в результате проведения замеров. Оценку результатов измерений, как правило, проводят следующим путём:

- путём вычисления среднего арифметического значения L и его сравнения с номинальным значением данного размера;

- путём вычисления линейного отклонения величины L ;
- путём вычисления среднего квадратичного значения размера L .

Вычисление среднего арифметического значения L производят по формуле:

$$M = \frac{L_1 + L_2 + L_3 + \dots + L_N}{N} = \bar{L}_i .$$

(16.1)

Вычисление линейного отклонения величины L производят по формуле:

$$\sigma_L = \frac{(L_1 - M) + (L_2 - M) + (L_3 - M) + \dots + (L_N - M)}{N} = | \bar{L}_i - M |$$

где $| \bar{L}_i - M |$ – абсолютное значение отклонения величины L , от её среднего значения M . Вычисления среднего квадратичного значения размера L производят по формуле:

$$\sigma^2 = \frac{(L_1 - M)^2 + (L_2 - M)^2 + (L_3 - M)^2 + \dots + (L_N - M)^2}{N}$$

или

$$\sigma^2 = (\bar{L}_i - M)^2 = \bar{L}_i^2 - \bar{L}_i^2,$$

(16.3)

где \bar{L}_i^2 – среднее квадратичное всех (N) замеров. Среднее квадратичное значение в статистических расчётах – величина предпочтительная, поскольку она связана простой зависимостью с основными законами случайного распределения.

Принимая в качестве критерия оценки точности того или иного размера отливок его среднее арифметическое значение или средние квадратичные отклонения, следует иметь ввиду, что две совокупности размеров, имеющие одинаковые вышеупомянутые значения рассчитанных параметров, могут иметь значительные различия по величине отдельных замеров. Исходя из этого, для получения наиболее полного представления о группе анализируемых размеров, строят кривую распределения (кривую частот).

В качестве примера в табл. 16.1 приведены результаты замеров межполочного расстояния у $N=326$ неохлаждаемых турбинных лопаток с номинальной величиной межполочного расстояния $L_{\text{ном}}=300,00$ мм и допусками $L=300^{+0,1}_{-0,3}$, а на рис. 16.1 представлена кривая распределения действительных размеров турбинных лопаток, построенная по данным табл. 16.1 (сплошная линия).

Величина среднего арифметического значения L , рассчитанная по формуле (16.1), на рис. 16.1 обозначена как $M=L_{CP}=300,0066$ мм, величина линейного отклонения величины L , рассчитанная по формуле (16.2), составляет:

$$\sigma_L = | \bar{L}_i - M | = 0,0842 \text{ мм.}$$

Полученные расчётные значения свидетельствуют в пользу того, что исследованная партия турбинных лопаток имеет величину M среднего значения размера L , близкую к его номинальному значению – $L_{\text{ном}}$. Причём величина линейного отклонения величины L , рассчитанная по формуле (16.2), меньше допустимых пределов отклонений размера L по чертежу (от $L_{\text{min}}=299,7$ до $L_{\text{max}}=300,1$), что свидетельствует об относительной стабильности технологии производства данных отливок.

Среднее квадратичное значение размера L , рассчитанное по формуле (16.3), составляет $\sigma^2 = 0,006515$, что значительно меньше единицы и также свидетельствует о стабильности технологического процесса производства данных турбинных лопаток.

Теоретическое значение распределения впервые было определено Гауссом. В настоящее время графическое изображение этой зависимости называют законом нормального распределения, или гауссовой кривой, или кривой погрешностей, или нормальной кривой частотностей.

Результаты замеров			
L , мм	Количество отливок, шт	L , мм	Количество отливок, шт
299,65	2	299,95	54
299,70	3	300,00	57
299,75	2	300,05	60
299,80	5	300,10	40
299,85	25	300,15	38
299,90	30	300,20	10

Таблица 16.1

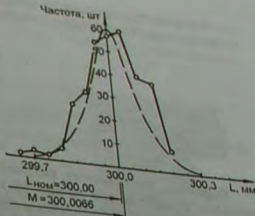
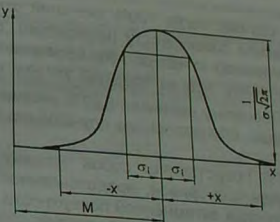
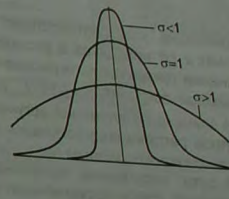


Рис. 16.1. Кривая распределения действительных размеров межполочного расстояния (L) в неохлаждаемых турбинных лопатках



а



б

Рис. 16.2. Теоретические кривые распределения

Теоретическая кривая нормального распределения представлена на рис. 16.2, а и определяется функцией:

$$y = f(x) = \frac{1}{e^4 \cdot \sigma \cdot \sqrt{2 \cdot \pi}};$$

$$\sigma = \sqrt{\sigma^2}; \quad A = \frac{(x - M)^2}{2 \cdot \sigma^2},$$

где σ – среднее квадратичное отклонение аргумента x ; M – среднее арифметическое распределение; e – основание натурального логарифма; $\pi=3,14$.

В случае расположения теоретической кривой симметрично относительно оси y её функция будет иметь следующий вид:

$$y = f(x) = \frac{1}{e^c \cdot \sigma \cdot \sqrt{2 \cdot \pi}}; \quad (16.5)$$

$$C = \frac{x^2}{2 \cdot \sigma^2}.$$

Кривая распределения, рассчитанная по формуле (16.5) для рассматриваемого примера, представлена на рис. 16.1 в виде пунктирной линии.

На рис. 16.2, б представлена теоретические кривые распределения различного вида. Как видно из рис. 16.2, б, вид теоретической кривой всецело зависит от величины σ . С практической точки зрения, это означает, что чем больше величина σ , тем менее стабильно качество отливок и тем менее стабильна технология их производства.

Площадь поверхности (S) под кривой, ограниченной осью x , рассчитывают по формуле:

$$S = \frac{1}{\sigma \cdot \sqrt{2 \cdot \pi}} \cdot \int_{-\infty}^{\infty} e^{-\frac{x^2}{2\sigma^2}} dx = 1. \quad (16.6)$$

Значение $S=1$ соответствует тому случаю, когда 100% значений отклонений аргумента (x) находятся в рассматриваемой совокупности (множестве). В случае изменения пределов интегрирования, например от -3σ до $+3\sigma$, величина площади под кривой составит $S=0,9973$. Это означает, что за пределы $x = \pm 3\sigma$ попадает 0,27% значений отклонений аргумента. Поскольку величина 0,27% несущественна, то полное рассеивание величин размеров, обусловленное случайными причинами, можно принять равным 6σ .

По сути, полученная величина 0,27% представляет собой процент риска и представляет собой затенённую площадь под кривой, представленной на рис. 16.2, а. Процент риска, или отношение площади затенённой поверхности под кривой к общей поверхности под кривой (%) , рассчитывают по формуле:

$$P = \frac{200}{\sigma \cdot \sqrt{2 \cdot \pi}} \cdot \int_x^{\infty} e^{-\frac{t^2}{2\sigma^2}} dt. \quad (16.7)$$

Процесс формирования точности отливки в литье по выплавляемым моделям – один из самых многофакторно-зависимых из всех известных на сегодняшний день промышленных видов литья.

Поскольку, как было отмечено выше, из числа серийно выпускаемых отливок наиболее высокие требования к точности размеров предъявляют к турбинным лопаткам, рассмотрим этот вопрос применительно к данным литым деталям.

Рассматривая вопрос о точности размеров неохлаждаемых турбинных лопаток, получаемых методом литья по выплавляемым моделям, прежде всего следует отметить, что их точность зависит от стабильности размеров моделей и КО, стабильности условий формирования отливки и т.п., то есть стабильности технологического процесса изготовления отливок [124; 241 и др.] .

В качестве примера на рис. 16.3 представлена схема изменения линейных размеров модели, рабочей полости КО и отливки неохлаждаемой турбинной лопатки на различных этапах её изготовления (стрелками на рис. 16.3 указано направление изменения размера).

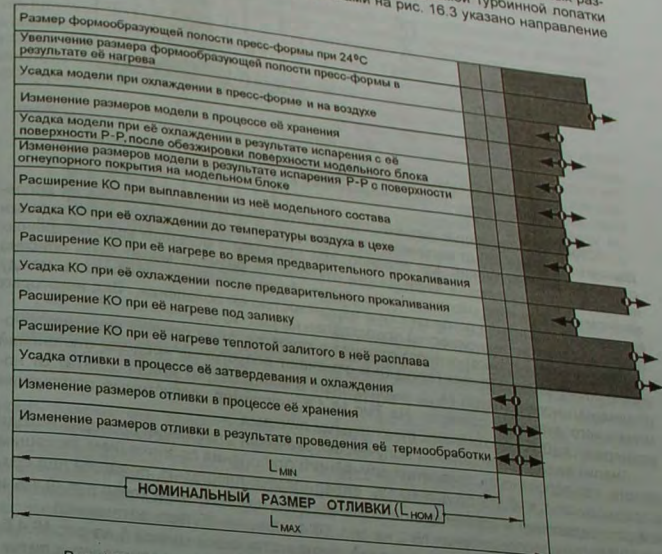


Рис. 16.3. Характер изменения размеров модели, рабочей полости КО и отливки неохлаждаемой турбинной лопатки на различных этапах её изготовления

Как было отмечено выше, для проведения оценки стабильности принятого в цехе технологического процесса следует выбрать отливку-представителя и определить величины отклонений её двух-трёх размеров в пределах нескольких партий отливок.

Применительно к турбинным лопаткам, такими данными могут быть отклонения размера по бандажной полке со стороны спинки, отклонения размера по бандажной полке со стороны полки хвостовика и (или) отклонения размера межполочного расстояния (отклонение Δ_L размера межполочного расстояния L см. на рис. 16.4, а).

При наборе статистических данных рассмотрению подлежат только те отливки, которые были изготовлены без отступлений от принятой в цехе технологии. То есть отливки, которые были получены с использованием одинаковой ЛПС, модельного состава одной марки, одинаковых огнеупорных и связующих материалов, режимов сушки слоёв огнеупорного покрытия на модельных блоках и т. п. Набор данных ре-

комендуется проводить за годичный период производства отливок. Рекомендуемый объем выборки должен быть не менее 150 отливок.

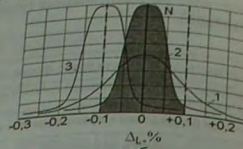
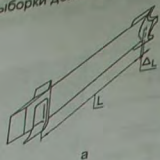


Рис. 16.4. Общий вид турбинной лопатки (а) и виды распределений отклонений размера L в отливках (б)

Используя полученные данные, строят графическую зависимость числа обследованных отливок (N) от величины отклонений (Δ_L), исследуемого размера отливки от его среднего значения. Как правило, при достаточно большом массиве данных построенная графическая зависимость отклонений размера может быть описана законом нормального распределения, который устанавливает зависимость между значениями случайной погрешности и вероятностью её появления. Вид некоторых таких графических зависимостей представлен на рис. 16.4, б.

На оси абсцисс построенного графика в качестве точки отсчёта принимают номинальный размер отливки (точка 0) и отмечают допустимые пределы отклонений от номинального размера (Δ_{LH}), выраженные в миллиметрах или процентах от номинального размера. На рис. 16.4, б, например, допустимые отклонения размера $\Delta_{LH} = \pm 0,1\%$ обозначены пунктирными линиями.

Анализ вида распределения полученных значений отклонений проводят исходя из того, что вероятность появления случайного отклонения со значением, лежащим в пределах от $\Delta_L = -0,1\%$ до $\Delta_L = +0,1\%$, определяется площадью, лежащей под кривой распределения и ограниченной осью абсцисс и ординатами точек $\Delta_L = -0,1\%$ и $\Delta_L = +0,1\%$ (для распределения № 2 на рис. 16.4 – данная область затемнена).

Характер распределения отклонений, соответствующий кривой 1 на рис. 16.4, б, свидетельствует о нестабильности технологического процесса производства литья, поскольку значительная часть отливок, получаемых по данной технологии, не соответствует требованиям по размерной точности. Поэтому данная технология и условия производства литья требуют принятия соответствующих мер, направленных на ужесточение требований к условиям производства литья, качеству используемых материалов, технологической дисциплине.

Характер распределения отклонений, соответствующий кривой 2, характеризует технологию производства литья как стабильную, где подавляющее количество получаемых отливок имеет отклонения контролируемого размера в допустимых пределах.

Распределение отклонений, соответствующее кривой 3, характеризует технологию производства литья как стабильную, где, однако, значительное количество получаемых отливок, имеет недопустимое отклонение контролируемого размера (L). Смещение центра распределения 3 (влево или вправо) относительно ординаты точки 0 (номинального размера отливки) свидетельствует о присутствии в технологии параметров (параметров, факторов), приводящего к систематической погрешности размера. В этом случае следует обратить внимание на размер рабочей полости

пресс-формы, на свойства (величину свободной линейной усадки) модельного состава, условия изготовления моделей, температуру воздуха в модельном отделении и помещении хранения моделей и модельных блоков и т.п.

Причины получения характера распределения отклонений размера, соответствующего кривой 1 (см. рис. 16.4, б), могут быть самыми различными, в том числе, эти причины могут быть и результатом использования пресс-форм с неконтролируемой температурой, что приводит к получению моделей с различной величиной усадки. Температуру пресс-формы в таком случае контролирует модельница на интуитивном уровне, используя естественное воздушное охлаждение пресс-формы, охлаждение пресс-формы в воде или на холодильной плите.

В этом случае величина усадки моделей, при всех прочих равных условиях, также зависит от частоты запрессовок модельного состава в пресс-формы. На рис. 16.5 представлены гистограммы изменения величины свободной линейной усадки моделей из модельного состава ВИАМ-102. Для изготовления моделей использовали пресс-форму, охлаждаемую на воздухе.

Размеры рабочей полости пресс-формы составляли $6 \times 6 \times 120$ мм. Температура воздуха в помещении и начальная температура стальной пресс-формы составляла 24°C . Запрессовку пастрообразного модельного состава проводили при температуре $61 \pm 1^\circ\text{C}$ с выдержкой моделей в пресс-форме 30 с. При этом, периодичность запрессовок пресс-формы составляла 160 с (серые полосы) и 420 с (чёрные полосы).

Анализ данных, представленных на рис. 16.5, показывает, что относительная стабильность усадки исследуемых моделей наблюдается после пятой-седьмой запрессовки модельного состава в пресс-форму, то есть после достижения пресс-формой определённой температуры. При этом увеличение интервала времени между последовательными запрессовками модельного состава в пресс-форму не позволяет прогреть пресс-форму до оптимальной температуры, что приводит к повышенным значениям усадки моделей.

Размерная точность отливок, получаемых методом литья по выплавляемым моделям, предопределяется размерной точностью рабочих полостей используемых пресс-форм. То есть отклонение какого-либо размера рабочей полости в пресс-форме от необходимой величины адекватно оказывается на изменении данного размера отливки. Причём характер отклонений размера отливки будет постоянен и практически равен величине отклонения данного размера в пресс-форме. Как правило, именно неправильное выполнение размера рабочей полости пресс-формы приводит к распределению отклонений размера, центр которого не совпадает с номинальным размером (ординатой точки 0), что соответствует кривой 3 на рис. 16.4, б.

В основном, ошибка в назначении размеров рабочих полостей пресс-формы вызвана принятием для расчётов неточных значений величин коэффициентов усадки, модельного состава и сплава отливки для различных стенок отливки, величины которых, в свою очередь, при всех прочих равных условиях, предопределяются толщиной, протяжённостью и криволинейностью этих стенок.

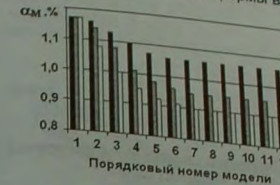


Рис. 16.5. Изменения величины свободной линейной усадки моделей из состава ВИАМ-102 в зависимости от порядкового номера их изготовления в пресс-форме

То есть различные элементы, и модели, и отливки имеют различную величину усадки которая зависит как от степени её затруднённости (заторможенности) в процессе изготавления, так и интенсивности теплоотвода от этих элементов в процессе изготавления модели и отливки.

Если, при всех прочих равных условиях, рассматривать соотношения кoeffициентов теплоаккумулирующей способности (b) системы модель-пресс-форма-отливка-KO, как одну из характеристик, определяющих интенсивность затвердевания и охлаждения модели и отливки, то для системы модель - пресс-форма:

$$\frac{b_M}{b_{\text{ПФ}}} \leq 1; \quad (16.8)$$

для системы отливка - KO:

$$\frac{b_O}{b_{\text{KO}}} >> 1, \quad (16.9)$$

где b_M , $b_{\text{ПФ}}$, b_O , b_{KO} – кoeffициенты теплоаккумулирующей способности материала модели, пресс-формы, отливки и KO соответственно, $\text{Вт} \cdot \text{с}^{0.5}/(\text{м}^2 \cdot \text{К})$. При этом в моделях величина усадки снижается при условии:

$$\frac{b_M}{b_{\text{ПФ}}} \rightarrow 1. \quad (16.10)$$

В отливках, величина усадки снижается при условии:

$$\frac{b_O}{b_{\text{KO}}} \rightarrow \infty. \quad (16.11)$$

В табл. 16.2 приведены данные средних величин свободной линейной усадки моделей (α_m) из модельного состава KC-111, изготовленных в пресс-формах из материалов с различной теплоаккумулирующей способностью.

Таблица 16.2
Средние значения величин свободной линейной усадки моделей, изготовленных из модельного состава KC-111

Материал пресс-формы	$b_{\text{ПФ}}$ при 20°C , $\text{Вт} \cdot \text{с}^{0.5}/(\text{м} \cdot \text{К})$	$b_M/b_{\text{ПФ}}$	$\alpha_m, \%$
Сплав алюминиевый (Al-Si)	23000	0,0314	0,67
Сталь упрочненная	21400	0,0338	0,67
Цинк	17000	0,0423	0,60
Фторопласт-4	2400	0,301	0,43
Смола эпоксидная полимеризованная	630	1,148	0,42

Анализ данных, приведенных в табл. 16.2, показывает, что с уменьшением кoeffициента теплоаккумулирующей способности материала пресс-формы (понижением интенсивности теплоотдачи от модельного состава к пресс-форме) величина свободной линейной усадки моделей, понижается.

Величина свободной линейной усадки модели и её различных частей зависит как от параметров запрессовки (температуры, времени, давления) модельного состава в пресс-форму, так и от их геометрических размеров и формы.

Влияние размеров модели и величины давления запрессовки модельного состава на величину свободной линейной усадки моделей, исследовали на H-образном образце, схема которого представлена на рис. 16.6.

Для упрощения описания результатов исследований каждый элемент модели (стержень) условно обозначили соответствующими буквами A (200x10x10 mm), B (200x10x5 mm), C (100x10x5 mm) и D (100x10x10 mm).

В исследованиях использовали модельный состав марки PARACAST FW 352 и модельный состав марки KC-111. В качестве эталонного модельного материала использовали водорасторвимый сплав карбамида с 2% (по массе) спирта поглавилового и 2,5% магния сернокислого.

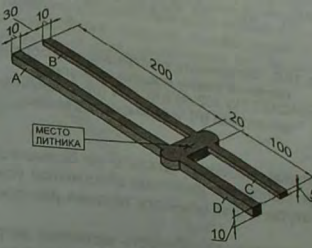


Рис. 16.6. Схема H-образного образца

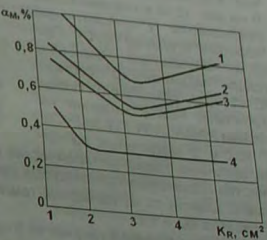


Рис. 16.7. Зависимости коэффициента свободной линейной усадки стержней H-образной модели от параметра K_R

Зависимости коэффициента свободной линейной усадки стержней модели из модельного состава PARACAST FW 352 (кривая 1 – температура запрессовки модельного состава в пресс-форму $61 \pm 1^\circ\text{C}$) и KC-111 (кривая 2 – температура запрессовки модельного состава в пресс-форму $70 \pm 1^\circ\text{C}$, кривая 3 – температура запрессовки модельного состава в пресс-форму $55 \pm 1^\circ\text{C}$), а также водорасторвимого сплава (кривая 4 – свободная заливка) от величины параметра K_R представлены на рис. 16.7.

$$K_R = \frac{z_M \cdot U}{S}, \quad (16.12)$$

где z_M – длина рабочей полости пресс-формы (стержня), см, U и S – объём (cm^3) и площадь (cm^2) поверхности охлаждения стержня в пресс-форме соответственно.

Анализ хода кривых, представленных на рис. 16.7, свидетельствует, что наиболее стабильной усадкой из числа исследованных материалов обладает водорасторвимый сплав на основе карбамида. Менее стабильной усадкой обладают исследованные модельные составы. При этом модельный состав KC-111 имеет более низкий коэффициент свободной линейной усадки, чем модельный состав PARACAST FW 352, и низкую чувствительность коэффициента свободной линейной

усадки к изменению температуры запрессовки в пределах от 55°C до 70°C (см. рис. 16.7).
Выводы 2 и 3 на рис. 16.7.)

Зависимость величины свободной линейной усадки модельных составов PARACAST FW 352 и KC-111 от величины давления запрессовки модельного состава в пресс-форму представлена на рис. 16.8, а и рис. 16.8, б, соответственно.

Анализ хода кривых, представленных на рис. 16.8, а, показывает, что величина свободной линейной усадки модельного состава PARACAST FW 352, с повышением давления запрессовки, существенно уменьшается для "протяжённых" стержней А и Б (см. рис. 16.6) и незначительно уменьшается у относительно "коротких" стержней С, D). При этом абсолютная величина усадки моделей из состава KC-111 (см. рис. 16.8, б) более стабильна, чем у моделей из состава PARACAST FW 352.

Как и у модельных составов, величина усадки металлических сплавов зависит от достаточно большого количества параметров производства литья. Например, величина абсолютной усадки отливок зависит от их размеров, температуры и длительности течения расплава в КО, свойств КО и т.п.

В качестве примера на рис. 16.9 представлена зависимость величины затруднённой линейной усадки никелевого сплава ЖС-3ДК от протяжённости отливки (a) и толщины её стенки (b). В исследований [241] использовали отливки (1) и

поперечном сечении форму дутавра. Ширина всех исследованных отливок со- ставляла 50 мм.

Как видно из рис. 16.9, величина затруднённой линейной усадки отливок (α_{03}) изменяется в достаточно широких пределах и уменьшается с увеличением протяжённости стенки отливки и уменьшением её толщины.

Таким образом, при расчёте размеров рабочих полостей пресс-форм, величины усадок модельного состава для каждого элемента модели и отливки должны назначаться дифференцированно, в зависимости от условий изготовления моделей и отливок, их конструкционных т.п. Тем не менее, таких данных для большинства используемых модельных составов и металлических сплавов не существует, а для расчётов размеров рабочих полостей пресс-форм используют усреднённые данные коэффициентов усадки. В результате, как правило, пресс-формы в процессе эксплуатации подвергают "довод-

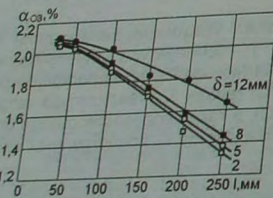


Рис. 16.9. Зависимость величины затруднённой линейной усадки отливок из сплава ЖС-3ДК от протяжённости отливки и толщины её стенки

усадки к изменению температуры запрессовки в пределах от 55°C до 70°C (см. рис. 16.7).
Выводы 2 и 3 на рис. 16.7.)

Зависимость величины свободной линейной усадки модельных составов PARACAST FW 352 и KC-111 от величины давления запрессовки модельного состава в пресс-форму представлена на рис. 16.8, а и рис. 16.8, б, соответственно.

Анализ хода кривых, представленных на рис. 16.8, а, показывает, что величина свободной линейной усадки модельного состава PARACAST FW 352, с повышением давления запрессовки, существенно уменьшается для "протяжённых" стержней А и Б (см. рис. 16.6) и незначительно уменьшается у относительно "коротких" стержней С, D). При этом абсолютная величина усадки моделей из состава KC-111 (см. рис. 16.8, б) более стабильна, чем у моделей из состава PARACAST FW 352.

Как и у модельных составов, величина усадки металлических сплавов зависит от достаточно большого количества параметров производства литья. Например, величина абсолютной усадки отливок зависит от их размеров, температуры и длительности течения расплава в КО, свойств КО и т.п.

В качестве примера на рис. 16.9 представлена зависимость величины затруднённой линейной усадки никелевого сплава ЖС-3ДК от протяжённости отливки (a) и толщины её стенки (b). В исследований [241] использовали отливки (1) и

поперечном сечении форму дутавра. Ширина всех исследованных отливок со- ставляла 50 мм.

Как видно из рис. 16.9, величина затруднённой линейной усадки отливок (α_{03}) изменяется в достаточно широких пределах и уменьшается с увеличением протяжённости стенки отливки и уменьшением её толщины.

Таким образом, при расчёте размеров рабочих полостей пресс-форм, величины усадок модельного состава для каждого элемента модели и отливки должны назначаться дифференцированно, в зависимости от условий изготовления моделей и отливок, их конструкционных т.п.

Наиболее частой причиной возникновения погрешности формы отливок является коробление моделей, происходящее в процессе хранения и нанесения огневого покрытия, коробление КО, происходящее в процессе её прокаливания, коробление самой отливки в процессе её охлаждения. Отклонения формы отливок могут возникнуть, например, в результате деформации КО под воздействием металлического давления со стороны расплава на КО, под воздействием расширяющегося опорного наполнителя в процессе нагрева формы при прокаливании и т.п.

Иллюстрацией к сказанному, применительно к турбинным лопаткам, являются схемы некоторых видов коробления турбинных лопаток, приведенные на рис. 16.10. Пунктирной линией на рис. 16.10 обозначена форма профиля пера идеальной турбинной лопатки (см. рис. 16.10, а) и её выходной кромки (см. рис. 16.10, б).

Точность расположения элементов. Под отклонением расположения элементов следует понимать отклонение расположения конкретного реального элемента отливки (оси, плоскости симметрии, поверхности) от名义ального положения. При этом名义альное расположение – это расположение элементов идеальной детали, которое определяется名义альными линейными и угловыми размерами между элементом и базами. Таким образом, к отклонениям расположения элементов относят отклонения параллельности, перпендикулярности, соосности, симметричности, позиционное и отклонение от пересечения осей.

В литье по выплавляемым моделям наиболее частым случаем отклонения расположения в моделях и, следовательно, в отливках, является смещение элементов по плоскости разъёма пресс-формы. Применительно к турбинным лопаткам, нарушение точности расположения элементов в отливке, произошедшее в результате смещения полуформ пресс-формы (по одной из её осей), иллюстрируется схемой, представленной на рис. 16.11.

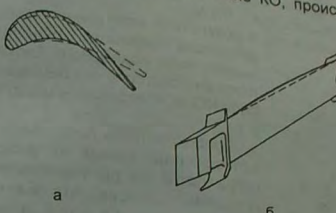
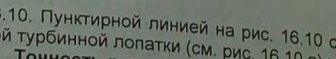


Рис. 16.10. Погрешности точности формы турбинных лопаток



16.10. Пунктирной линией на рис. 16.10 обозначена форма профиля пера идеальной турбинной лопатки (см. рис. 16.10, а) и её выходной кромки (см. рис. 16.10, б).

На рис. 16.11 пунктиром обозначены контуры идеального профиля пера лопатки, а величина смещения элементов лопатки в реальной лопатке обозначена Δ_c . При достаточно длительной эксплуатации пресс-форм величина смещения (Δ_c) может достигать 0,1...0,2 мм. Наиболее значительные отклонения данного типа наблюдаются у моделей, изготовленных в многоместных ручных пресс-формах с отъемными частями.

Неровности поверхности. По величине неровности занимают промежуточное положение между шероховатостью и отклонениями формы. По внешнему виду неровности поверхности представляют собой единичные или повторяющиеся выступы и впадины компактной или протяжённой формы.

На рис. 16.12, а представлено сечение пера турбинной лопатки, а на рис. 16.12, б изображены неровности её поверхности. Высота таких неровностей (Δ_1) составляет доли миллиметра, а их протяжённость – (4...10) Δ_1 . Данные неровности, как правило, образуются в результате нарушения температурного режима хранения модели или модельного блока, локального отслоения лицевого слоя КО от поверхности модели и т.п.

Шероховатость поверхности отливков, получаемых по технологии литья по выплавляемым моделям, зависит от значительного числа факторов, в частности: чистоты поверхности и материала пресс-формы, её температуры, свойств и толщины слоя используемого смазочного материала для модельного состава, качества его подготовки и параметров запрессовки в пресс-форму, качества и свойств используемой огнеупорной супензии, количества используемого в огнеупорной супензии пылевидного материала и формы его зёрен, природы используемых материалов огнеупорной супензии, условий сушки огнеупорного покрытия на модельном блоке, стабильности свойств огнеупорной супензии, химической инертности материалов лицевого (первого) слоя КО по отношению к заплывающему в КО расплаву и т.п.

Шероховатость литой поверхности отливок, получаемых методом литья по выплавляемым моделям, находится в пределах от $Rz = 20$ до $Ra = 1,25$, что соответствует высоте микронеровностей поверхности от $\Delta_2 = 20$ до $\Delta_2 = 1,25$ мкм (см. рис. 16.12, в) соответственно.

Шероховатость поверхности контролируют на базовой длине отливки в соответствии с ГОСТ 2789-73. Требуемая величина шероховатости литой поверхности турбинных лопаток должна соответствовать $Ra = 1,25$.

При всех прочих равных условиях, шероховатость поверхности отливок в литье по выплавляемым моделям определяется чистотой поверхности пресс-формы, мо-



Рис. 16.12. Неровность и шероховатость поверхности

Рис. 16.11. Схема неточности расположения элементов отливки

дели и лицевого слоя КО. Из перечисленных объектов наиболее проблематично обеспечением требуемой чистоты поверхности лицевого слоя КО, которая зависит от дисперсности и формы частиц пылевидного наполнителя огнеупорной супензии, его количества в супензии, условий подготовки пылевидного и связующего материала супензии, природы связующего материала супензии и т.п.

Например, для повышения чистоты поверхности отливок в огнеупорной супензии лицевого слоя КО следует использовать пылевидный материал с округлой формой частиц. То есть для приготовления огнеупорной супензии следует использовать пылевидный материал, прошедший в процессе изготовления, помимо струйного помола, помол в шаровой мельнице. Кроме того, при всех прочих равных условиях, для получения отливок с чистотой поверхности, соответствующей 3-му...5-му классу, пылевидный материал, непосредственно перед использованием, следует просеять через сито № 0063, а для получения отливок с чистотой поверхности, соответствующей 6-му или 7-му классу, пылевидный материал следует предварительно прокалить и просеять через сито № 005.

Как было отмечено выше, при всех прочих равных условиях, шероховатость поверхности отливки зависит от технологии предварительной подготовки огнеупорной супензии и способа приготовления огнеупорной супензии.

В работе [217] приведены данные о шероховатости направленно-закристаллизованных турбинных лопаток с длинноволновыми размерами до 400 мм, КО которых были изготовлены из следующих материалов:

Вариант 1. Связующее для всех слоёв КО – гидролизованный раствор этилспиланата при мольном соотношении $M=0,20...0,25$. Наполнитель супензии для слоёв № 1...№ 3 – дистен-силликаминит, прокалённый при 950°C .

Вариант 2. Связующее для всех слоёв КО – гидролизованный раствор этилспиланата при мольном соотношении $M=0,20...0,25$. Наполнитель супензии для слоёв № 1...№ 3 – дистен-силликаминит, обожжённый при 1430°C .

Вариант 3. Связующее для всех слоёв КО – гидролизованный раствор этилспиланата при мольном соотношении $M=0,50...0,55$. Наполнитель супензии для слоёв № 1...№ 3 – дистен-силликаминит, прокалённый при 950°C .

Во всех вариантах наполнитель огнеупорной супензии для четвёртого и последующих слоёв КО – микропорошки электрокорунда. Обсыпка слоёв КО – зернистый электроクロкорунд.

Установлено, что лопатки, полученные в КО, изготовленные по варианту № 1 имели шероховатость поверхности, соответствующую 6-му классу, по варианту № 2, отливки имели шероховатость, соответствующую 6-му...7-му классу, а уровень шероховатости отливок, полученных в КО, изготовленных по варианту № 3, соответствовал 5-му...6-му классу.

По сравнению с вариантом № 1, повышение чистоты поверхности отливок, полученных в КО по варианту № 2, по-видимому, удалось достичь за счёт использования более мелкой фракции пылевидного наполнителя супензии, поскольку, в процессе предварительного обжига при $1200...1300^{\circ}\text{C}$ частицы дистен-силликаминита изменяются с образованием муллита и кристобаллита.

По сравнению с вариантом № 1, понижение чистоты поверхности в отливках, полученных в КО по варианту № 3, по-видимому, произошло за счёт получения более шероховатой поверхности лицевого слоя КО, вызванной большей величиной мольного соотношения ГРЭС в приготовленной супензии.

Специфическим поверхностным дефектом литья по выплавляемым моделям является сыль (дефект обозначен цифрой 1 на рис. 16.13, а). Сыль (металлическая сыль) представляет собой металлические выступы на поверхности отливки, размером (Δ_3) и по форме напоминающие песчинки. Причиной образования данного де-

фекта является так называемый "пробой" огнеупорной супсепсии лицевого слоя покрытия модельного блока при его обсыпке зернистым материалом. В свою очередь, пробой лицевого слоя может произойти в результате использования для его обсыпки зернистого материала со значительной долей чрезмерно крупных фракций, используемых огнеупорной супсепсией с низкой вязкостью, недостаточно прочными для отдельного блока, неоднородной огнеупорной супсепсии, нарушения в супсепсии соотношения жидкой и твёрдой составляющей. В последнем случае нарушение в супсепсии, или в результате использования пылевидного материала с формой частиц осколочного типа, или низкой седиментационной устойчивостью супсепсии.

Следует отметить, что нарушение соотношения количества жидкой и твёрдой составляющей огнеупорной супсепсии, приводит не только к появлению дефекта "сыль", но и является одной из причин существенных отклонений размеров и по-

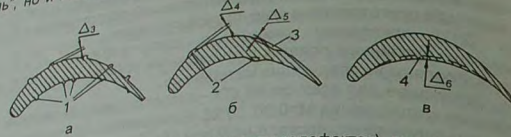


Рис. 16.13. Схемы неровностей (поверхностных дефектов) литьих поверхностей

вышения шероховатости поверхности отливок, понижения термостойкости, прочности КО и осыпаемости её лицевого слоя.

Одним из видов неровностей поверхности отливок являются локальные выступы и впадины (утяжини). Высота неровностей (Δ_4), как и глубина утяжин (Δ_5), может достигать 0,5 мм при размерах (диаметре), в плане, до 5 мм.

Локальные выступы (дефект обозначен цифрой 2 на рис. 16.13, б) образуются после извлечения модели из пресс-формы. При этом длительность появления дефекта на поверхности модели может составлять от долей минуты до нескольких часов. Помимо этого, выступы могут образовываться в процессе сушки первого слоя огнеупорного покрытия на модельном блоке при использовании вакуума.

Основной причиной возникновения локальных выступов является локальная деформация поверхностного слоя модели под давлением сжатого воздуха в воздушных пузырьках, случайно замешанных при подготовке модельного состава к запрессовке в пресс-форму.

Утяжинны (дефект обозначен цифрой 3 на рис. 16.13, б) образуются при затвердевании и охлаждении модели в пресс-форме или при охлаждении модели на воздухе (после извлечения из пресс-формы). Как правило, основной причиной появления утяжин в моделях, изготовленных из модельного состава, не содержащего воздух, является сам модельный состав, материал которого в пастообразном состоянии характеризуется низкой величиной сжимаемости. Следует отметить, что утяжинны могут образовываться и в отливке при её затвердевании.

Образование неровностей (выступов) значительных размеров на поверхности отливки может быть вызвано локальным отслоением лицевого слоя КО от поверхности модели в период его сушки или деформацией КО под воздействием металлического напора расплава, залитого КО. В результате вдоль пера лопатки, со-

стороны "корыта", образуется утопление центральной части тела лопатки величиной Δ_6 , шириной Δ_7 и протяжённостью до десятков миллиметров (дефект обозначен цифрой 4 на рис. 16.13, в).

Литейный припуск. Practically любая отливка имеет какие-либо поверхностные дефекты. В зависимости от требований, предъявляемых к литой поверхности, такими дефектами могут быть: засор, окисная пленка, питтинговая коррозия (у отливок из высоколегированных хромоникелевых сталей, жаропрочных никелевых сплавов и пр.), спай, трещина, междендритная пористость, обезуглероженный или науглероженный поверхностный слой и т.п. Исходя из предположения о возможном появлении поверхностных дефектов и их размеров, на отливках назначают соответствующий литейный припуск.

Величина назначаемого литейного припуска должна быть больше глубины залегания в поверхностном слое отливки гипотетического поверхностного дефекта. Впоследствии дефектный слой металла отливки, являющийся литейным припуском, с поверхности отливки удаляют.

На рис. 16.14 представлены схемы некоторых видов дефектов и их расположение в поверхностном слое отливок из жаропрочных никелевых сплавов. Толщина слоя поверхностного слоя металла, образующего литейный припуск, на рис. 16.14 обозначена Δ_8 .

На рис. 16.14, а представлена схема расположения структурных составляющих некачественной отливки, у которой засоры 2, междендритная пористость 3, карбонитриды 4 и окисная пленка 5 превышают толщину литейного припуска. В данном случае, после удаления с поверхности отливки литейного припуска, все вышеупомянутые дефекты останутся на поверхности детали и будут выявлены на ЛЮМ-контроле.

Схема, представленная на рис. 16.14, б соответствует поверхности относительно качественной отливки, у которой глубина залегания поверхностных засоров 2 в металле отливки 1 не превышает величины литейного припуска, а все другие дефекты расположены глубоко в теле отливки.

Литейный припуск – вынужденная мера, неизбежная погрешность, преднамеренно созданное отклонение от номинального размера. Тем не менее, развитие авиационной техники уже на сегодняшний день требует высококачественных турбинных лопаток, не имеющих литейного припуска.

Стремление получения качественных отливок без припусков ("в размер") обусловлено не только сокращением объёма последующей механической обработки отливки и повышением её точности, но и увеличением эксплуатационных свойств литьих деталей.

Практика работы с литьими деталями свидетельствует, что детали с литьей поверхностью характеризуются более высокой надёжностью и долговечностью в работе, чем литье детали с механически обработанной поверхностью. В частности, сравнивая эксплуатационные свойства отливок лопаток турбин из сплавов ЖС-6К и ЖС-3ЛС с литьи и шлифованной поверхностью, авторы работы [54] отмечают, что отливки с литьей поверхностью, термически обработанные в вакууме или аргоне,

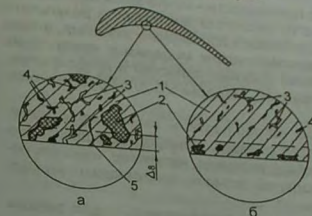


Рис. 16.14. Схемы расположения дефектов в поверхностном слое отливок

имеют на 5...10% более высокую длительную прочность, чем отливки со шлифованной поверхностью.

Точность массы отливки. Точность массы отливки характеризует отклонение плотности металла от абсолютного значения, реального химического состава и структуры сплава от идеальной, а также отклонения объема реальной отливки от идеальной детали.

Погрешность. Антонимом понятия точности является погрешность – отклонение параметра от идеального величины. То есть чем меньше погрешность геометрических размеров и массы отливки, тем выше её точность.

Применительно к партии отливок, все погрешности объединяют в четыре группы:

Группа 1. Систематические постоянные погрешности – отклонения одинакового значения для всей партии отливок. Данные погрешности возникают в результате воздействия фактора или группы факторов, имеющих постоянные значения в процессе изготовления отливок. В литье по выплавляемым моделям к числу таких факторов относятся: неправильное выполнение рабочих полостей в пресс-формах, дефекты пресс-формы, неправильная конструкция модельного блока, нетехнологичная конструкция отливки и т.п.

Группа 2. Систематические переменные погрешности – закономерно изменяющиеся отклонения в процессе производства отливок. Данные погрешности изменились от партии к партии отливок и вызваны, например, износом используемых пресс-форм для производства моделей отливок, керамических или дородстворимых стержней и др.

Группа 3. Случайные погрешности (погрешности рассеивания) – для разных партий отливок принимаются различные значения. Появление случайных погрешностей вызвано определенными отклонениями значений технологических параметров и свойств используемых материалов от среднего значения. Например, случайные погрешности могут быть вызваны нестабильностью усадки модели и сплава отливки, нестабильностью расширения КО при прокаливании, нестабильностью температуры заливки металла в КО и т.п.

Группа 4. Промахи или оплошности – грубая случайная погрешность, вызванная низкой квалификацией или небрежностью исполнителя. Данные погрешности носят эпизодический характер и могут быть, например, результатом плохой подготовки и сборки пресс-формы, чрезмерного силового воздействия на модель отливки при её извлечении из пресс-формы, случайного попадания капель жидкого модельного состава на поверхность модели при монтаже модельного блока, сколов на торцах модели при удалении с них облоя, неправильной сборки модельного блока, умышленного нарушения технологического процесса, работы на оборудовании с неисправной контрольно-измерительной аппаратурой и т.д.

Погрешности групп 1 и 2 достаточно просто выявляются и устраняются. Погрешности группы 4 устраняются соответствующими организационными мероприятиями, подбором кадров и повышением их квалификации.

Наиболее проблематичным является предупреждение возникновения погрешностей группы 3. Проблематичность состоит в том, что в многоступенчатом процессе производства литья по выплавляемым моделям задействовано большое количество материалов и выполняется значительное число технологических операций, предопределяющих точность получаемого литья.

В качестве примера рассмотрим условия формирования точности неохлаждаемых турбинных лопаток из жаропрочных никелевых сплавов.

Технологическим процессом производства неохлаждаемых турбинных лопаток предусмотрено выполнение технологических операций, название и последовательность которых представлены в виде схемы на рис. 16.15.

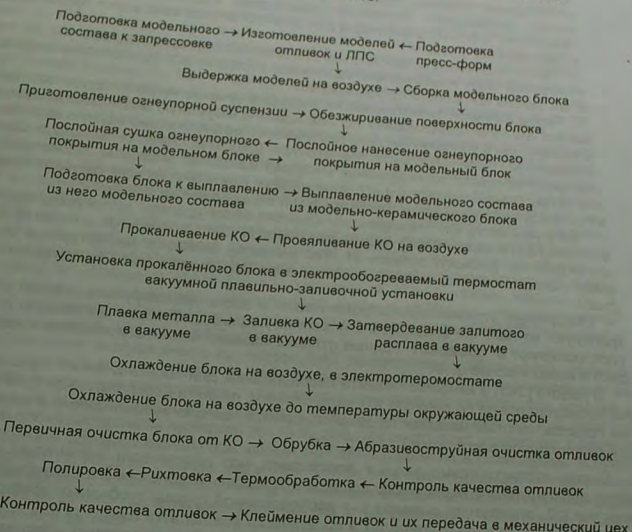


Рис. 16.15. Технологическая схема изготовления неохлаждаемых турбинных лопаток

Согласно схеме, представленной на рис. 16.15, на первом этапе производства, после проведения соответствующей подготовки пресс-формы (очистки и смазки рабочих поверхностей разделительной смазкой, сборки пресс-формы) и модельного состава (расплавления и доведения его до пастообразного или жидкого состояния), изготавливают модели отливок и элементы ЛПС. При этом поверхность моделей ЛПС покрывают тонким (0,1...0,2 мм) слоем парафина.

Изготовленные модели охлаждают и выдерживают на воздухе при определенной температуре (при 24...27°C) в течение суток, после чего собирают модельный блок. Непосредственно перед нанесением огнеупорного покрытия поверхность модельного блока обезжиривают. Операция обезжиривания состоит в двухтрехкратном окунании модельного блока в растворитель органического происхождения, например, изопропиловый спирт. После обезжиривания модельный блок выдерживают на воздухе до полного испарения растворителя с поверхности блока.

По окончании испарения растворителя на модельный блок послойно наносят и сушат слои огнеупорного покрытия. Для изготовления КО, как правило, используют огнеупорные супензии, приготовленные на основе ГРЭС или кремнезола. В качестве пылевидного материала огнеупорной супензии используют дистен-силикиманит или электрокорунд, а для обсыпки блоков используют белый электро-корунд крупных фракций.

После окончания сушки последнего слоя КО проводят подрезку КО по торцу литниковой чаши и выплавляют модельный состав из КО. Выплавление модельного состава из КО проводят в байерклаве.

Перед заливкой в прокаливаемые на воздухе в течение не менее суток КО помещают в вакуумную плавильно-заливочную установку, где в условиях вакуума расплавляют металлическую мерную заготовку и заливают КО при начальной температуре $980 \pm 20^\circ\text{C}$. Заливку металлом КО до окончания процесса затвердевания расплава находится в вакууме. После окончания затвердевания металла в КО залитый блок извлекают из установки и охлаждают в воздухе до комнатной температуры по определенному режиму.

Большую часть КО с поверхности залитого блока удаляют путем постукивания молотком по литниковой чаши (первичная очистка). После первичной очистки проводят отделение (отрезку) отливок от ЛПС и очистку отливок в пескоструйной установке с использованием мелкозернистого абразивного материала (вторичная очистка).

Очищенные отливки термообрабатывают и после пескоструйной очистки контролируют на наличие внешних и внутренних дефектов. Отобранные отливки рихтуют, полируют и обмеряют. Годные отливки клеймят кислотным клеймом и передают в механические цехи.

В работе [241] в качестве объекта исследования, для оценки влияния параметров производства на размерную точность отливок, принятая неохлаждаемая турбинная лопатка, изготавливаемая по вышеописанной технологической схеме и имеющая межполючное расстояние $L = 300^{+0.1}_{-0.3} \text{ mm}$.

Анализ статистических данных показывает, что практически независимо от класса используемого модельного состава и природы используемого связующего вещества КО, отклонения размера L у исследованной группы турбинных лопаток находятся в определенных пределах и практически все лопатки имеют ту или иную степень коробления выходной кромки. То есть, при всех прочих равных условиях, основными причинами нарушения размерной точности лопаток являются факторы, заложенные в технологии, свойствах используемых материалов и условиях производства литья.

Оценку степени влияния основных параметров используемых материалов и технологии производства турбинных лопаток на величину отклонения их размеров авторы работы [241] проводили путем расчёта по следующей методике.

Абсолютную величину усадки отливки (Δ_0) рассчитывали с учётом усадки модельного состава при охлаждении модели (Δ_M), расширения КО при нагреве под заливку (Δ_{KO}) и усадки сплава при охлаждении отливки (Δ_C) по формуулам:

$$\Delta_0 = \Delta_C - \Delta_{KO} + \Delta_M; \quad (16.13)$$

$$\Delta_C = k_C \cdot (t_s - 20) \cdot (Z_{Pf} - \Delta_{KO} + \Delta_M) \cdot K_{Yo} \cdot K_{Zo}; \quad (16.14)$$

$$\Delta_{KO} = k_{KO} \cdot (t - 20) \cdot (Z_{Pf} - \Delta_M); \quad (16.15)$$

$$t = b_C [0,5 (t_{TEC} + t_2)]^{0.5} / b_2 + t_2;$$

$$\Delta_M = k_M \cdot Z_{Pf} \cdot K_Y \cdot K_Z (t_3 - t_4),$$

(16.16)

где Δ_C и Δ_M – величина усадки сплава отливки и модели при затвердевании и охлаждении до температуры воздуха в цехе соответственно, мм ; Δ_{KO} – величина расширения КО при нагреве при прокаливании от 20°C до температуры t , мм ; Z_{Pf} – длина рабочей полости пресс-формы данного элемента отливки, мм ; t_3 – температура solidus сплава отливки, $^\circ\text{C}$; t_{TEC} – температура течения расплава в КО (при заливке КО из тигля печи, $^\circ\text{C}$); t_4 – температура КО в момент заливки расплавом, $^\circ\text{C}$; t_3 и t_4 – температура модельного состава при запрессовке в пресс-форму и температура воздуха в отделении нанесения огнеупорного покрытия на модельные блоки, соответственно, $^\circ\text{C}$; b_2 и b_2 – коэффициент теплоаккумулирующей способности расплава сплава отливки и КО соответственно, $\text{Bt} \cdot \text{c}^{0.5} / (\text{m}^2 \cdot ^\circ\text{C})$; k_C , k_M и k_M – коэффициент термического линейного расширения сплава отливки, КО и модельного состава соответственно, $^\circ\text{C}^{-1}$; K_Y – коэффициент ($K_Y = 1$ – при свободной усадке модели, $K_Y = 0,35 \dots 0,47$ – при абсолютной затруднённой усадке отливки); K_Z – коэффициент ($K_Z = 1$ – при свободной усадке отливки, $K_Z = 0,49 \dots 0,55$ – при абсолютной затруднённой усадке отливки); K_{Zo} – коэффициент, учитывающий влияние на усадку модели свойств материала пресс-формы, толщины и длины стенки модели ($K_{Zo} = 0,6 \dots 1,2$); K_{Yo} – коэффициент, учитывающий влияние на усадку отливки температуры и длительности течения расплава в КО, свойств материала КО, толщины и длины стенки отливки ($K_{Yo} = 0,7 \dots 1,1$).

Значения коэффициента $K_Y = 0,35 \dots 0,47$ соответствуют абсолютной (полной) затруднённой усадке модели. В действительности модель отливки извлекают из пресс-формы при температуре, несколько превышающей температуру воздуха в цехе, не позволяя модели охладиться в пресс-форме до её температуры. Поэтому для расчётов приняты значения $K_Y = 0,4 \dots 0,6$, что учитывает изменение размеров модели в условиях смешанной усадки при затвердевании и охлаждении в пресс-форме и на воздухе. По сути, величина K_Y при всех прочих равных условиях, отражает влияние неравномерности и длительности выдержки модели в пресс-форме, нестабильности температуры пресс-формы от запрессовки к запрессовке в неё модельного состава.

Для оценки степени влияния основных параметров производства на стабильность размерной точности отливок были приняты следующие пределы изменения этих параметров:

- для модельного состава (свободная линейная усадка при охлаждении) составляет $\alpha_M = 0,60 \dots 0,64\%$ – $t_3 = 55 \dots 63^\circ\text{C}$, $t_4 = 20 \dots 30^\circ\text{C}$, $k_M = (150 \dots 160) \cdot 10^{-6} \text{ }^\circ\text{C}^{-1}$;

- для КО, изготовленной на основе гидролизованного раствора этилсиликата, пылевидного дистен-силикиманита и белого зернистого электрокорунда (линейное расширение при нагреве от 20°C до 1020°C составляет $\alpha_{KO} = 0,90 \dots 0,94\%$) – $t_{KO} = 950 \dots 1000^\circ\text{C}$, $b_2 = 2450 \text{ Bt} \cdot \text{c}^{0.5} / (\text{m}^2 \cdot ^\circ\text{C})$, $k_{KO} = (9,0 \dots 9,4) \cdot 10^{-6} \text{ }^\circ\text{C}^{-1}$;

- для жаропрочного никелевого сплава отливки (свободная линейная усадка при охлаждении $\alpha_0 \sim 2,3\%$) – $t_{TEC} = 1550 \dots 1580^\circ\text{C}$, $t_s = 1350^\circ\text{C}$, $b_C = 20500 \text{ Bt} \cdot \text{c}^{0.5} / (\text{m}^2 \cdot ^\circ\text{C})$ – $K_{Yo} = (17,0 \dots 17,4) \cdot 10^{-6} \text{ }^\circ\text{C}^{-1}$.

В расчёте приняты значения коэффициентов $K_Y = K_Z = K_{Yo} = K_{Zo} = 1$ для свободной усадки и $K_Y = 0,4 \dots 0,6$, $K_Z = 1$, $K_{Yo} = 0,5$, $K_{Zo} = 1$ для затруднённой усадки.

Используя приведенные данные, рассчитали величины максимальной ($\Delta_{0,\max}$) и минимальной ($\Delta_{0,\min}$) свободной и затруднённой усадки отливки:

$$\Delta_{\text{O}, \text{MAX}} = \Delta_{\text{C}, \text{MAX}} - \Delta_{\text{KO}, \text{MIN}} + \Delta_{\text{M}, \text{MAX}};$$

$$\Delta_{\text{O}, \text{MIN}} = \Delta_{\text{C}, \text{MIN}} - \Delta_{\text{KO}, \text{MAX}} + \Delta_{\text{M}, \text{MIN}};$$

$$\Delta_{\text{C}, \text{MAX}} = k_{\text{Y}} K_{\text{C}, \text{MAX}} \cdot (t_{\text{s}} - 20) \cdot (Z_{\text{Pf}} - \Delta_{\text{KO}, \text{MIN}} + \Delta_{\text{M}, \text{MAX}}) \cdot k_{\text{Z}, \text{O}};$$

$$\Delta_{\text{C}, \text{MIN}} = k_{\text{Y}} K_{\text{C}, \text{MIN}} \cdot (t_{\text{s}} - 20) \cdot (Z_{\text{Pf}} - \Delta_{\text{KO}, \text{MAX}} + \Delta_{\text{M}, \text{MIN}}) \cdot k_{\text{Z}, \text{O}};$$

$$\Delta_{\text{KO}, \text{MAX}} = k_{\text{KO}, \text{MAX}} \cdot (t_{\text{MAX}} - 20) \cdot (Z_{\text{Pf}} - \Delta_{\text{M}, \text{MIN}});$$

$$t_{\text{MAX}} = [0,5(t_{\text{TECH}, \text{MAX}} + t_{\text{B}, \text{MAX}})]^{0,5} \cdot b_{\text{C}} / b_{\text{2}} + t_{\text{2}, \text{MAX}};$$

$$\Delta_{\text{KO}, \text{MIN}} = k_{\text{KO}, \text{MIN}} \cdot (t_{\text{MIN}} - 20) \cdot (Z_{\text{Pf}} - \Delta_{\text{M}, \text{MAX}});$$

$$t_{\text{MIN}} = [0,5(t_{\text{TECH}, \text{MIN}} + t_{\text{B}, \text{MIN}})]^{0,5} \cdot b_{\text{C}} / b_{\text{2}} + t_{\text{2}, \text{MIN}};$$

$$\Delta_{\text{M}, \text{MAX}} = Z_{\text{Pf}} \cdot K_{\text{M}, \text{MAX}} \cdot k_{\text{Y}, \text{MAX}} \cdot (t_{\text{3}, \text{MAX}} + t_{\text{B}, \text{MAX}}) \cdot k_{\text{Z}};$$

$$\Delta_{\text{M}, \text{MIN}} = Z_{\text{Pf}} \cdot K_{\text{M}, \text{MIN}} \cdot k_{\text{Y}, \text{MIN}} \cdot (t_{\text{3}, \text{MIN}} + t_{\text{B}, \text{MIN}}) \cdot k_{\text{Z}};$$

$$\Delta_{\text{B}, \text{MAX}} = Z_{\text{Pf}} \cdot K_{\text{M}, \text{MAX}} \cdot k_{\text{Y}, \text{MAX}} \cdot (t_{\text{3}, \text{MAX}} + t_{\text{B}, \text{MAX}}) \cdot k_{\text{Z}},$$

$$\Delta_{\text{B}, \text{MIN}} = Z_{\text{Pf}} \cdot K_{\text{M}, \text{MIN}} \cdot k_{\text{Y}, \text{MIN}} \cdot (t_{\text{3}, \text{MIN}} + t_{\text{B}, \text{MIN}}) \cdot k_{\text{Z}};$$

где $\Delta_{\text{C}, \text{MAX}}$ и $\Delta_{\text{C}, \text{MIN}}$ – максимальная и минимальная величина абсолютной усадки сплава соответственно, мм; $\Delta_{\text{KO}, \text{MAX}}$ и $\Delta_{\text{KO}, \text{MIN}}$ – максимальная и минимальная величина абсолютного расширения КО при нагреве под заливку от 20°C до t_{MAX} и t_{MIN} соответственно, мм; $\Delta_{\text{M}, \text{MAX}}$ и $\Delta_{\text{M}, \text{MIN}}$ – максимальная и минимальная величина абсолютной усадки модельного состава соответственно, мм.

Степень влияния каждого из параметров на стабильность размера отливки, в условиях свободной и затруднённой усадки ($\varphi, \%$), определяли как отношение величины изменения абсолютной свободной или затруднённой линейной усадки отливки, при изменении каждого конкретного параметра в указанных выше пределах (при минимальном и максимальном значении параметра), к величине интервала абсолютного изменения свободной или затруднённой линейной усадки отливки соответственно:

$$\varphi = \frac{\Delta_{\text{o}, \text{l}, \text{max}} - \Delta_{\text{o}, \text{l}, \text{min}}}{\Delta_{\text{o}, \text{l}, \text{max}} - \Delta_{\text{o}, \text{l}, \text{min}}} \cdot 100\%, \quad (16.27)$$

где $\Delta_{\text{o}, \text{l}, \text{max}}$ и $\Delta_{\text{o}, \text{l}, \text{min}}$ – величина абсолютной линейной усадки отливки при максимальном и минимальном значении n-го параметра соответственно, мм.

Величины $\Delta_{\text{o}, \text{l}, \text{max}}$ и $\Delta_{\text{o}, \text{l}, \text{min}}$ рассчитывали по уравнениям (16.17)...(16.26) при максимальном и минимальном значении n-го параметра соответственно, прияняв значения всех остальных параметров на среднем уровне.

Результаты расчёта значений $\varphi (\%)$ по уравнению (16.27) представлены в виде гистограммы на рис. 16.16, где цифры (по оси абсцисс) соответствуют изменениям следующих параметров: 1 – Δk_m ; 2 – Δk_y ; 3 – Δt_3 ; 4 – Δt_b ; 5 – Δk_{ko} ; 6 – Δt_{tech} ; 7 – Δt_2 ; 8 – Δk_c .

Анализ полученных данных свидетельствует, что, при всех прочих равных условиях, наибольшую нестабильность размерной точности элементов тонкостенных отливок, не испытывающих затруднённую усадку, вызывает изменение температуры запрессовки модельного состава в пресс-форму (3, см. рис. 16.16) и изменение

$$(16.17) \quad (16.18) \quad (16.19) \quad (16.20) \quad (16.21) \quad (16.22) \quad (16.23) \quad (16.24) \quad (16.25) \quad (16.26)$$

температуры воздуха (4, см. рис. 16.16) в отделении нанесения огнеупорного покрытия во время изготовления КО на модельном блоке.

Для элементов отливки, затвердевающих в условиях затруднённой усадки, помимо вышеуказанных параметров, наибольшее влияние оказывает коэффициент k_{ky} (по рис. 16.16 коэффициент k_{ky} обозначен цифрой 2). Влияние всех остальных параметров, как в отдельности, так и в совокупности, в указанных выше пределах, несущественно.

Расчёты показывают, что при изменении параметров в указанных выше пределах, максимальная относительная погрешность размеров отливок при свободной и затруднённой усадке модели и отливки (серый цвет – свободная усадка модели и отливки, чёрный цвет – затруднённая усадка)

$L_h=300$ мм данный теоретический размер отливки следует ожидать в пределах (усадка затруднённая):

$$L_t = L_h \pm (L_h \cdot \Delta_{\Delta 3} / 100) = 300 \pm (300 \cdot 0,20 / 100) = 300 \pm 0,60 \text{ мм.}$$

Рассчитанная величина отклонений $\Delta_{\Delta 3} = \pm 0,6 \text{ мм}$ или $\Delta_{\Delta 3} = \pm 0,20\%$, ниже требуемого уровня точности ($\Delta_{\Delta 3} > \Delta_{L_h}$), поскольку при $L=300^{+0,1}_{-0,3}$ мм, соответствующий значению $L=299,0 \pm 0,2$ мм, величина $\Delta_{L_h} = \pm 0,2 \text{ мм}$ или $\Delta_{L_h} = \pm 0,067\%$. В связи с этим, используя вышеприведенные уравнения, рассчитали допустимые пределы изменения параметров, которые обеспечивают получение размеров отливок с погрешностью в пределах до $\Delta_{\Delta 3} = \pm 0,067\%$.

В результате расчётов установлено, что для обеспечения погрешности размерной точности отливок в пределах $\Delta_{\Delta 3} = \pm 0,067\%$, в условиях затруднённой усадки, необходимо обеспечить условия, при которых отклонения параметров от их средней величины не превышают следующие значения:

- величина отклонения КТЛР модельного состава не должна превышать $\Delta k_m = \pm 5 \cdot 10^{-6} \text{ C}^{-1}$;
- величина отклонения температуры модельного состава при запрессовке в пресс-форму не должна превышать $\Delta t_3 = \pm 1,0^\circ\text{C}$;
- величина отклонения температуры воздуха в модельном отделении, помещении хранения моделей и модельных блоков и отделении нанесения огнеупорного покрытия на модельные блоки, а также температура огнеупорных супензий и зернистых огнеупорных материалов не должна превышать $\Delta t_b = \pm 1,0^\circ\text{C}$;
- температура модельного блока при сушке первых трёх-четырёх слоёв огнеупорного покрытия должна быть равна температуре воздуха в отделении нанесения огнеупорного покрытия, а её изменение для модели и модельного блока в процессе его обезжиривания и сушки огнеупорного покрытия на нём не должно превышать $\Delta t_m = \pm 2^\circ\text{C}$;

- величина отклонения начальной температуры КО перед заливкой не должна превышать $\Delta t_c = \pm 15^\circ\text{C}$;
- величина отклонения коэффициента термического линейного расширения ис- пользуемых КО не должна превышать $\Delta k_{K0} = \pm 0,2 \cdot 10^{-6} \text{ }^\circ\text{C}^{-1}$;
- величина отклонения коэффициента термического линейного расширения ис- пользуемого сплава не должна превышать $\Delta k_c = \pm 0,2 \cdot 10^{-6} \text{ }^\circ\text{C}^{-1}$;
- величина отклонения температуры пресс-формы в момент запрессовки мо- дельного состава не должна превышать $\Delta t_{Pr} = \pm 1,5^\circ\text{C}$;
- величина отклонения длительности выдержки модели в пресс-форме не должна превышать (от общей заданной величины) $\Delta t_B = \pm 3\%$;
- величина отклонения давления запрессовки модельного состава в пресс- форме не должна превышать $\Delta P = \pm 0,01 \text{ МПа}$.

Например, если средняя температура воздуха в модельном отделении и отде- лении нанесения огнеупорного покрытия на модельные блоки составляет $t_{av} = 25^\circ\text{C}$, то её изменение, в указанных отделениях, допускается в пределах от 24°C до 26°C . Соответственно, температура модельного блока, с момента изготовления модели отливки и ЛПС, до окончания сушки на его поверхности третьего-четвёртого слоя огнеупорного покрытия не должна изменяться более чем на 2°C от температуры воздуха в модельном отделении и отделении нанесения огнеупорного покрытия. Если средняя температура КО перед заливкой составляет 980°C , то её изменение для всех КО должно находиться в пределах от 965°C до 995°C и т.д.

Кроме этого, для обеспечения стабильности размерной точности отливок, за- твердевающих и охлаждаяющихся в условиях затруднённой усадки, очень важно "сузить" пределы изменения параметров плавки и заливки, в частности, термо- временные режимы, определяющие изменения величины коэффициента k_{u0} в уравнении (16.19) и (16.20).

В отличие от погрешности размерной точности, на величину коробления тур-бинных лопаток, при всех прочих равных условиях, материал модели оказывает значительное, а в некоторых случаях, решающее влияние.

На рис. 16.17 представлена гистограмма относительного влияния материала модели на коробление выходной кромки пера турбинных лопаток, изготовленных из жаропрочных никелевых сплавов. Гистограмма построена по результатам обработки статистических данных турбинных лопаток с межполочным расстоянием от $L=152 \text{ мм}$ до $L=300 \text{ мм}$. При построении гистограммы средняя величина коробления выходной кромки турбинных лопаток (см ось у на рис. 16.17), модели которых были изго- товлены из модельного состава класса 11B3, принята за 100%.

Анализ гистограммы, представленной на рис. 16.17, показывает, что из числа иссле- дованных модельных составов наибольшее коробление наблюдается у отливок, модели которых изготавливали из модельного соста- ва класса 11B3. Почти втрое меньше величина коробления у турбинных лопаток, мод-ели которых изготавливали из модельных соста- вов классов 41B1 или 44B2.

То есть степень коробления отливки прямо пропорциональна степени коробления модели.

Наибольшее влияние на величину ко-

робления модели оказывает изменение её температуры. Изменение формы мод-ели происходит практически при любом изменении их температуры. Тем не менее, существует определённый предел изменения температуры, когда изменение фор- мы модели становится необратимым.

Изменение температуры модели происходит при её охлаждении на воздухе, испарении растворителя, при хранении модели и модельных блоков, при испарении его поверхности, а также в процессе сушки слоя огнеупорной супензии на модельном блоке. Наиболее значительное изменение температуры модели проис- ходит при обезжиривании поверхности модельного блока и сушке на нём огнеупор- ного покрытия. При этом наибольшее коробление наблюдается у тонкостенных мод-елей турбинных лопаток, ЛПС которых предусматривает комбинированный под-вод металла в отливку, например, со стороны полки и замка лопатки. Следует от- метить, что при использовании комбинированного подвода расплава в отливку, ко-рабление модели турбинной лопатки может также произойти при монтаже модель-ного блока, в частности, во время припайивания литника к телу пера лопатки.

Операция обезжиривания преследует две цели: удаление с поверхности мо-дельного блока цеховой пыли и повышение адгезионных свойств (смачиваемости) модели по отношению к используемой огнеупорной супензии. При этом, как пра-вило, для обезжиривания модельных блоков используют органические растворите-ли. Исследования показали, что при использовании в качестве растворителя изо-пропилового спирта коробление моделей, изготовленных из различных модельных соста-сов, по перу неохлаждаемых турбинных лопаток с размером межполочного расстояния 300 мм может достигать 0,3 мм.

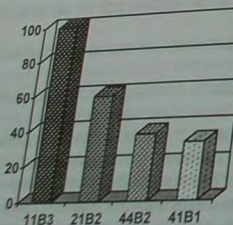
Поскольку после извлечения моделей из пресс-формы их поверхность покрыта слоем смазки молекулярной толщины, а цеховая пыль находится именно на по-верхности этой смазки, то для очистки поверхности модельного блока достаточно удалить саму смазку. В связи с этим рекомендуется в качестве основы смазки для пресс-форм использовать спиртоводорасторвимые материалы, например, глицерин, синтетик АЛМ-10 и т.п. В этом случае для приготовления смазки пресс-форм можно использовать, например, изопропиловый или этиловый спирт, а в качестве растворителя для обезжиривания модельного блока можно использовать водопро-водную воду с добавлением жидкого моющего вещества бытового назначения для первой промывки, и дистиллированную или водопроводную воду без добавок для второй промывки. Промывку блоков в этом случае рекомендуется вести при меха-ническом перемешивании воды.

Растворение смазки в воде при промывке очистит поверхность модельного блока и обеспечит непосредственный контакт поверхности блока с водой. Посколь-ку вода не смачивает поверхность модельного блока, то после его извлечения из воды (после второй промывки) поверхность модельного блока останется сухой.

В случае, если использование водорасторвимой смазки для подготовки рабочих поверхностей пресс-форм по каким-либо причинам окажется невозможным, реко-мендуется, после обезжиривания в органическом растворителе, модельный блок промыть в воде. Причём промывку в воде осуществить непосредственно (в течение 1...3 с) после извлечения блока из органического растворителя, не допуская его высыпания на блоке.

Толщина стенок турбинных лопаток, склонных к короблению, невелика и изме-няется от 2 до 4 мм в центральной части профиля пера турбинной лопатки до 0,6...1,0 мм на выходной кромке. Поэтому размерная точность и точность формы лопатки во многом зависит от точности модели. В свою очередь, как было отмечено выше, точность модели зависит: от стабильности температуры, при которой модель

Рис. 16.17. Гистограмма относительного влияния (%) материала модели на коробление неохлаждаемых турбинных лопаток



извлекают из пресс-формы, от стабильности температуры хранения модели и модельного блока, от природы используемого в огнеупорной сuspензии растворителя, от режима сушки слов огнеупорной сuspенции и пр. Из числа перечисленных факторов наиболее проблематичным является сохранение начальной температуры модельного блока ($t_{\text{бл}}$) в процессе сушки на нём слоёв огнеупорного покрытия.

Дело в том, что огнеупорные сuspенции содержат жидкие компоненты – PP (воду, этиловый или изопропиловый спирт, ацетон и т.п.), испаряющиеся в процессе сушки огнеупорной сuspенции на модельном блоке. Процесс испарения PP связан с поглощением теплоты и, соответственно, понижением температуры огнеупорного покрытия и модельного блока [172; 241 и др.].

Причём неравномерность толщины стенок как в самой модели, так и в модельном блоке приводит к неравномерному охлаждению различных элементов и модельного блока. Соответственно, неравномерностью усадки его различное охлаждение модельного блока характеризуется неравномерностью усадки его различных элементов. В свою очередь, неравномерность усадки приводит к короблению, а в некоторых случаях к разрушению модели или модельного блока, отслоению от поверхности модели или разрушению на ней первого слоя огнеупорного покрытия. При наличии в модели керамического стержня, существенное переохлаждение модели на фоне понижения пластичности модельного состава и его затруднённой усадки в области керамического стержня может привести к образованию трещин в моделях.

В работе [241] представлены результаты исследования влияния природы огнеупорной сuspензии и условий её сушки на изменение температуры моделей и длительности сушки покрытий. В исследований использовали огнеупорные сuspензии на основе следующих растворителей: вода (связующее – кремнезоль), спирт этиловый и ацетон (связующее – ГРЭС на основе этилсиликата ЭТС 40 при мольном соотношении $M=0,52 \dots 0,55$). Сушка слоёв огнеупорного покрытия проводили в воздухе при следующих условиях:

режим А – температура воздуха в процессе сушки $t_{\text{в}}=24^{\circ}\text{C}$, скорость движения воздуха $U \rightarrow 0 \text{ м/с}$, относительная влажность воздуха $\text{Вл}=75\%$ и $\text{Вл}=55\%$;

режим Б – $t_{\text{в}}=24^{\circ}\text{C}$, $U=2 \text{ м/с}$, $\text{Вл}=75\%$ и $\text{Вл}=55\%$;

режим В – $t_{\text{в}}=34^{\circ}\text{C}$, $U=2 \text{ м/с}$, $\text{Вл}=75\%$.

В качестве параметра, определяющего длительность сушки слоя огнеупорного покрытия на модели, было принято время испарения растворителя из этого слоя, регистрируемое по характеру изменения температуры модели.

В результате проведенных исследований установлено, что величина снижения температуры модели и длительность сушки огнеупорного покрытия зависит от природы вещества PP огнеупорной сuspензии, температуры и скорости движения воздуха в сушильной камере, а для покрытия на водной основе – и от относительной влажности воздуха. Наибольшее охлаждение моделей наблюдается при сушке первого слоя КО. С увеличением количества слоёв огнеупорного покрытия на модели степень охлаждения модели в процессе сушки – понижается.

На рис. 16.18 представлены зависимости изменения температуры моделей в период сушки на них первого слоя огнеупорного покрытия на основе воды и кремнезоля – термограммы 1 ($\text{Вл}=75\%$) и 4 ($\text{Вл}=55\%$), этилового спирта и ГРЭС – термограмма 2, а также ацетона и ГРЭС – термограмма 3.

Из представленных на рис. 16.18,а термограмм видно, что сушка первого слоя КО по режиму А, выполненному на основе водной сuspензии (длительность сушки, при комнатной температуре, в условиях естественной конвекции воздуха, составляет более 6 ч) проходит при длительном понижении температуры модели на $\sim 5^{\circ}\text{C}$, при относительной влажности воздуха $\text{Вл}=55\%$ (термограмма 4 на рис. 16.18,а) и понижении температуры на $\sim 3^{\circ}\text{C}$ при $\text{Вл}=75\%$ (термограмма 1 на рис. 16.18,а).

При использовании сuspензий с этиловым спиртом и ацетоном длительность сушки составила соответственно 40 и 12 мин, а температура моделей при этом понизилась соответственно на 13 и 17°C (термограммы 2 и 3 соответственно на рис. 16.18,а).

Сушка первого слоя КО (режим Б) при комнатной температуре в условиях принудительного движения воздуха со скоростью $\sim 2 \text{ м/с}$ (см. рис. 16.18,б) позволяет высушить первый слой КО на водной сuspензии за $\sim 2,5$ ч при длительном понижении температуры модели от её начального значения на $-6,5^{\circ}\text{C}$ при $\text{Вл}=75\%$ (термограмма 1 на рис. 16.18,б). Сушка в аналогичных условиях при относительной влажности $\text{Вл}=55\%$ сокращает длительность сушки до 2 ч, но при этом понижает температуру модели на 9°C (термограмма 4 на рис. 16.18,б).

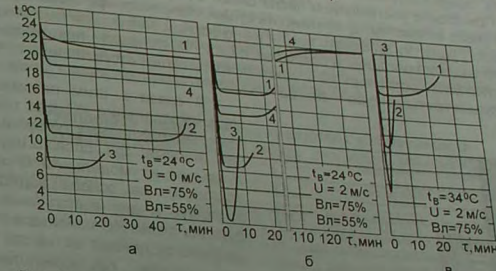


Рис. 16.18. Изменение температуры моделей в период сушки на них первого слоя огнеупорного покрытия по режиму А (а), Б (б) и В (в)

При использовании сuspензий со спиртом этиловым и ацетоном длительность сушки составила соответственно ~ 8 и ~ 3 мин, а температура моделей при этом понизилась соответственно на ~ 15 и $\sim 21,5^{\circ}\text{C}$ (термограммы 2 и 3 соответственно, на рис. 16.18,б).

Сушка первого слоя КО (режим В) при температуре 34°C , в условиях принудительного движения воздуха со скоростью $\sim 2 \text{ м/с}$ и $\text{Вл}=75\%$ (см. рис. 16.18,в) не позволяет высушить первый слой КО на водной сuspензии без превышения начальной температуры модели. Анализ термограммы 1, представленной на рис. 16.18,в, показывает, что через 1...2 мин с начала сушки покрытия температура модели понизилась на $\sim 5^{\circ}\text{C}$ и через 3...4 мин стала повышаться, достигнув 24°C через 23 мин. В момент достижения моделью температуры 24°C содержание воды в покрытии составило 4,1...4,7% (по массе). То есть по достижении моделью в процессе сушки по данному режиму исходной температуры покрытие остаётся невысшенным, поскольку содержание воды в достаточной степени высушенному водном связующем не должно превышать 1,3...1,5% (по массе).

При использовании сuspензий со спиртом этиловым и ацетоном длительность сушки составила соответственно $\sim 2,5$ и $\sim 1,0$ мин, а температура моделей при этом понизилась соответственно на ~ 8 и $\sim 11^{\circ}\text{C}$ (термограммы 2 и 3 соответственно на рис. 16.18,в).

Полученные результаты свидетельствуют о том, что ни один из исследованных режимов сушки слоёв КО не позволяет реализовать два основных требования,

предъявляемых к процессу сушки – короткий цикл сушки и сохранение при этом неизменной начальной температуры модели.

Использование тёплого воздуха позволяет сократить длительность сушки КО и не допустить значительного охлаждения моделей только в том случае, если сушку покрытия проводить в режиме "тепло-холод" с индивидуальным контролем изменения температуры каждого модельного блока, в соответствии с которым следует изменять соответствующим образом температуру воздуха, подаваемого в сушильную камеру.

С увеличением количества слоёв огнеупорного покрытия на модельном блоке уменьшается величина понижения начальной температуры моделей, что следует из данных, представленных на рис. 16.19, для условий сушки по режиму Б при $V_{\text{л}}=55\%$. При этом с увеличением числа слоёв огнеупорного покрытия на модельном блоке резко возрастает длительность сушки. Например, при сушке по режиму Б длительность сушки огнеупорного покрытия на водном связующем первого слоя (до остаточного содержания воды в покрытии 1,2...1,7%, по массе) при относительной влажности $V_{\text{л}}=55\%$ составляет ~2 ч, длительность сушки второго слоя – ~6 ч, длительность сушки третьего слоя – 18...22 ч.



Рис. 16.19. Величина максимального понижения температуры модели при сушке покрытия на кремнезоле по режиму Б при $V_{\text{л}}=55\%$ в зависимости от количества слоёв огнеупорного покрытия на модели

покрытия наносят с использованием водной огнеупорной супензии, а последующие слои наносят попеременно, чередуя слои на водной супензии со щелочными свойствами и супензии с органическим растворителем и кислыми свойствами.

Одним из вариантов стабилизации точности турбинных лопаток является проведение сушки покрытия в вакуме на модельных блоках, засыпанных зернистым огнеупорным материалом, используемым для обсыпки модельных блоков. В этом случае наличие зернистого материала вокруг блока предотвращает значительную деформацию модели отливки даже в условиях существенного понижения температуры модели.

В пользу необходимости сохранения постоянства температуры модели в процессе формирования на ней КО свидетельствуют результаты исследований [253], согласно которым условия сушки КО влияют как на качество лицевого слоя (его по-

ристость и размер пор), так и на прочность КО. Установлено, что при выполнении условия:

$$t_M = t_C = t_{CP}, \quad (16.28)$$

где t_M , t_C и t_{CP} – температура модели, обсыпочного материала КО и среды в камере сушки КО соответственно, лицевая поверхность КО имеет наименьшую пористость (менее 10%), наименьший диаметр пор (менее 0,1 мм) и наибольшую прочность. Любое другое указанное соотношение между величинами в уравнении (16.28) приводит к увеличению величины пористости, увеличению диаметра поверхностных пор и понижению прочности КО.

Точность отливок, получаемых в КО, находится в прямой зависимости от прочности и термостойкости КО [217]. С увеличением прочности и термостойкости КО уменьшаются величины отклонений размеров от их номинальных значений. Если рассматривать влияние используемых для КО огнеупорных материалов и связующих, то, по уровню обеспечения точности и её стабильности в отливках наиболее широко применяемые материалы можно расположить (по уровню возрастания точности отливок) в порядке, представленном в табл. 16.3.

Условные уровни точности отливок в зависимости от материалов, используемых для изготовления КО

Таблица 16.3

Номер условного уровня	Обсыпочный материал + пылевидный наполнитель + связующее
1	кварцевый песок + кварц пылевидный + жидкое стекло
2	шамот + кварц пылевидный + жидкое стекло
3	кварцевый песок + кварц пылевидный + ГРЭС
4	кварцевый песок + кварц пылевидный + кремнезоль
5	шамот + кварц пылевидный + ГРЭС
6	шамот + кварц пылевидный + кремнезоль
7	шамот + дистен-силиманит + ГРЭС
8	шамот + дистен-силиманит + кремнезоль
9	шамот + дистен-силиманит + ГРЭС
10	электрокорунд + дистен-силиманит + ГРЭС
11	электрокорунд + дистен-силиманит + кремнезоль
12	электрокорунд + электрокорунд + ГРЭС
13	электрокорунд + электрокорунд + кремнезоль
14	плавленный кварц + плавленный кварц + ГРЭС

Чем больше номер условного уровня, указанного в табл. 16.3, тем, при всех прочих равных условиях, выше точность и размерная стабильность получаемых отливок. Данная градация носит условный качественный характер и не учитывает известные технологические приёмы, направленные на повышение размерной точности отливок, позволяющие повысить точность на один-два уровня. Тем не менее, в первом приближении, используя приведенные данные, можно прогнозировать условный уровень точности и размерной стабильности отливок, получаемых с использованием указанных материалов.

Свою "ленту" в изменение размерной точности и точности формы отливки вносят их и термическая обработка [65]. При этом степень влияния термической обработки на данные показатели отливки зависит от её конфигурации, габаритных размеров, толщин стенок, марки сплава, режима термической обработки, однородности температурного поля в рабочем пространстве термической печи, местонахождения отливки в рабочем пространстве печи во время её термообработки и т.п.

ПРИЛОЖЕНИЕ 1. Физические свойства химических элементов

Элемент	Символ	Температура плавления ($t_{пп}$), °C	Плотность, кг/м ³			Удельная теплоёмкость, Дж/(кг·град)			Удельная теплота плавления, Дж/кг
			при 20°C	при $t_{пп}$	при $t_{пп} + 100°C$	при 20°C	при $t_{пп}$	при $t_{пп} + 100°C$	
Алюминий	Al	659,7	2701,5	2380	2350	902	1090	1290	386610
Бериллий	Be	1284	1840	1690		1107			1298557
Бор	B	2300	2340			563	502		2051756
Ванадий	V	1710	5980			122	125	138	325810
Висмут	Bi	271	9800	10000	9920	136	135		52158
Вольфрам	W	3382	19300	16740	6990	448	695	922	191460
Железо	Fe	1539	7872	7058	6990	128			276991
Золото	Au	1063	19300	17350	17250	297			64988
Иттрий	Y	1525	4472			231			113604
Кадмий	Cd	321	8650	8020	7950	746			56940
Калий	K	62,3	870			703			61125
Кальций	Ca	848	1550			421	450	854	216013
Кобальт	Co	1494	8790			708			266033
Кремний	Si	1420	2420	2530	2500	197			1780627
Лантан	La	920	6162			3665	3560	4186	48233
Литий	Li	186	540	500		1047			422190
Магний	Mg	651	1740	1590	1550	478			361842
Марганец	Mn	1244	7440	6750		385	440		243582
Медь	Cu	1083	8960	8000	7920	245	255		198346
Молибден	Mo	2620	10200	8900		334			287680
Мышьяк	As	610*				1237			114882
Натрий	Na	97,5	971						
Неодим	Nd	1024	7007						207432
Никель	Ni	1455	8897	7900	7780	444	448	670	300562
Ниобий	Nb	2500	8570	7850		255			288464
Олово	Sn	231,89	7300	7000	6900	215	240	255	59696
Платина	Pt	1773	21440			136			111743
Рений	Re	3180	21020			137			177746
Свинец	Pb	327,4	11340	10680	10550	130	130	113	23215
Сера	S	444,6	1957			705			45188
Серебро	Ag	960,5	10500	9350	9260	236	236	289	104765
Сурьма	Sb	630,5	6700	6490	6430	209			170842
Тантал	Ta	2900	16600			140			136509
Титан	Ti	1668	4500	4100	4030	525			394572
Углерод	C	4770**	2130			718			
Фосфор	P	44,2	1857			750			
Хром	Cr	1903	7194	6300		447	460		369836
Цинк	Zn	419,5	7140	6570	6460	381	419	502	115038
Цирконий	Zr	1857	6490	6000		285			211576

Примечание * – температура возгонки вещества. ** – графит при атмосферном давлении не плавится, а возгоняется.

ПРИЛОЖЕНИЕ 2. Оборудование для подготовки модельного состава к запрессовке в пресс-формы и изготовления моделей.

Агрегат приготовления пастообразного модельного состава мод. 61T731. (Изготовитель – ГУП "Тираспольский завод литьевых машин им. С.М. Кирова". Молдова).

Агрегат мод. 61T731 (см. рис.) предназначен для приготовления пастообразного модельного состава, имеющего температуру плавления до 90°C.

Конструкцией агрегата предусмотрена возможность подачи пастообразного модельного состава к различным технологическим модулям по производству моделей и шприц-машинам.

Агрегат обеспечивает выполнение следующих технологических операций: расплавление твердого модельного состава, приготовление пастообразного модельного состава, накопление пастообразного модельного состава в сборнике, запрессовку пастообразного модельного состава через ручной шприц в пресс-форму.

Технические параметры агрегата мод. 61T731

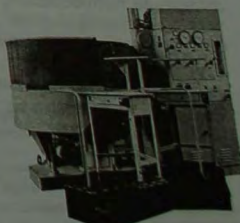
Параметры	Значения
Производительность по пастообразному модельному составу, м ³ /ч (л/ч)	0,03 (30)
Объём плавильного бака, м ³ (л)	0,03 (30)
Объём накопителя модельного состава, м ³ (л)	0,06 (60)
Объём бака приготовления пастообразного модельного состава, м ³ (л)	0,03 (30)
Температура плавления пастообразного модельного состава, °C	45–60
Давление прессования, МПа	0,3–0,6
Установленная мощность, кВт	30,65
Габаритные размеры, мм: длинахширинавысота	2490×1740×1140
Масса, кг	1200

Линия полуавтоматическая мод. 6A50.

(Изготовитель – ГУП "Тираспольский завод литьевых машин им. С.М. Кирова". Молдова).

Линия полуавтоматическая мод. 6A50 (см. рис.) предназначена для автоматированного приготовления пастообразного модельного состава с температурой плавления не выше 80°C, автоматического заполнения (с допрессовкой) пресс-форм пастообразным модельным составом и избирательного регулируемого охлаждения каждой пресс-формы.

Линию используют в условиях мелкосерийного производства литья для изготовления моделей мелких и средних отливок из пастообразного модельного состава в ручных пресс-формах



Линия мод. 6A50

На линии выполняют следующие технологические операции: расплавление модельного состава; перевод модельного состава в пастообразное состояние; запрессовка пастообразного модельного состава в пресс-формы; доспрессовка в пресс-формах пастообразного модельного состава, охлаждение пресс-форм в ванне с холодной водой или на воздухе. Технические параметры полуавтоматической линии мод. 6A50 приведены в таблице.

Технические параметры полуавтоматической линии мод. 6A50

Параметры		Значения
Производительность:		
- по пастообразному модельному составу, м ³ /ч		0,063
- количество запрессовки модельного состава в пресс-формы, запрессовок/ч; режим № 1 – режим № 2 – режим № 3 – режим № 4 – режим № 5		32–63–125–160–250
Габаритные размеры пресс-форм, мм: длина×ширина×высота		350×250×200
Температура расплава модельного состава, °С		80
Наибольший объем запрессовки, л		4
Давление запрессовки, МПа		0,2–0,5
Время выдержки под давлением запрессовки, с		0,4–1,2
Температура воды на технологические цели, м ³ /ч		0,5–15
Расход воды на технологические цели, м ³ /ч		95
Расход пара, кг/ч		1,0
Расход электроэнергии, кВт/ч		15
Габаритные размеры, мм: длина×ширина×высота		4300×3500×2300
Масса, кг		5860

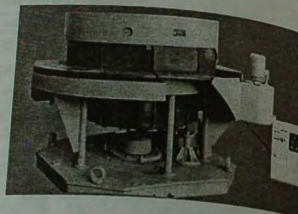
Установка мод. 6A54. (Изготовитель – ГУП "Тираспольский завод литейных машин им. С.М. Кирова", Молдова).

Установка мод. 6A54 (см. рис.) предназначена для изготовления моделей (модельных звеньев) из пастообразного модельного состава в ручных пресс-формах в условиях мелкосерийного и серийного производства отливок.

Установку встраивают в линию мод. 6A50 или другую систему, осуществляющую приготовление пастообразного модельного состава и его подачу в пресс-формы. Технические параметры установки мод. 6A54 приведены в таблице.

Технические параметры установки мод. 6A54

Параметры		Значения
Наибольшая производительность при непрерывном режиме работы, запрессовок/ч; режим № 1 – режим № 2 – режим № 3 – режим № 4 – режим № 5		32–63–125–160–250
Габаритные размеры пресс-форм, мм: длина×ширина×высота		350×250×200
Габаритные размеры установки, мм, (без электрошкафа): длина(ширина)×высота		2020×2020×1600
Расход электроэнергии, кВт·ч		1,32
Габаритные размеры электрошкафа, мм: длина×ширина×высота		370×210×600
Масса, кг		3480



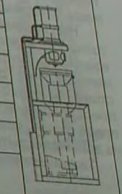
Установка мод. 6A54

Шприц-машина мод. 61K142. (Изготовитель – ГУП "Тираспольский заводлитейных машин им. С.М. Кирова", Молдова).

Шприц-машина мод. 61K142 предназначена для изготовления моделей вручных пресс-формах путём запрессовки в них пастообразного модельного состава в условиях мелкосерийного и серийного производства литья. Шприц-машины мод. 61K142 используют только в комплекте с установками для приготовления пастообразного модельного состава мод. 61701 или мод. 61731. Технические параметры и схема шприц-машины приведены в таблице.

Технические параметры и схема шприц-машины мод. 61K142

Параметры		Значения
Наибольшая производительность, запрессовок/ч		125
Максимальный объём одной запрессовки, л		0,5
Давление запрессовки пастообразного модельного состава (при давлении скатого воздуха 0,5 МПа), МПа		2
Габаритные размеры наибольшей пресс-формы, мм: длина×ширина×высота		400×400×400
Наименьшая высота пресс-формы, мм		80
Расход скатого воздуха (при давлении 0,5 МПа), м ³ /ч		2,2
Габаритные размеры, мм: длина×ширина×высота		750×725×2190
Масса, кг		600



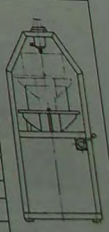
Шприц-машина мод. 61I141. (Изготовитель – ГУП "Тираспольский заводлитейных машин им. С.М. Кирова", Молдова).

Шприц-машина мод. 61I141 предназначена для изготовления выплавляемых моделей в ручных пресс-формах в условиях мелкосерийного и серийного производства отливков. Эксплуатировать шприц-машину можно только совместно с установками для приготовления пастообразного модельного состава мод. 61701, мод. 61731 и т.п.

На шприц-машине мод. 61I141 осуществляют запрессовку пастообразного модельного состава в пресс-формы от насосов установки пастоприготовления. Технические параметры и схема шприц-машины мод. 61I141 приведены в таблице.

Технические параметры и схема шприц-машины мод. 61I141

Параметры		Значения
Наибольшая производительность, запрессовок/ч		125
Максимальный объём одной запрессовки, л		1
Давление запрессовки, МПа		0,3–0,6
Наибольшие габаритные размеры используемых пресс-форм, мм: длина		400
ширина		400
высота		400
Наименьшая высота используемых пресс-форм, мм		150
Расход скатого воздуха (при давлении 0,5 МПа), м ³ /ч		1,2
Установленная мощность, кВт		1,75
Габаритные размеры, мм: длина×ширина×высота		750×650×1710
Масса, кг		500



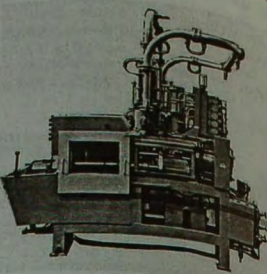
Автомат мод. 61101. (Изготовитель – ГУП "Тираспольский завод литьевых машин им. С.М. Кирова". Молдова).

Автомат мод. 61101 (см. рис.) предназначен для изготовления модельных звеньев из пластиобразного модельного состава в условиях серийного и массового производства литья по выплавляемым моделям.

Автомат работает в автоматическом режиме и только с пресс-формами, основные размеры которых соответствуют ГОСТ 19947-74, а также снабженными механизмами выталкивания модельных звеньев.

На автомате выполняют следующие технологические операции: закрытие и раскрытие пресс-формы; запрессовка модельного состава; охлаждение модельного состава в пресс-форме; выталкивание из пресс-форм модельных звеньев; смазку из зоны раскрытия пресс-формы.

Технические параметры автомата мод. 61101 приведены в таблице.



Автомат мод. 61101

Технические параметры автомата мод. 61101

Параметры		Значения
Размеры поверхностей плит для крепления пресс-форм, мм: длина×ширина		320×320
Наименьшее расстояние между плитами, мм		320
Давление запрессовки модельного состава, МПа		1,2
Производительность, запрессовок/ч		63
Ход подвижной плиты, мм		200
Усилие смыкания пресс-форм (при давлении сжатого воздуха 0,5 МПа), кН		20
Максимальный объём одной порции запрессовываемого модельного состава в пресс-форму, л		1,0
Расход воды на технологические цели (при 8–12°C), м ³ /ч		1,4
Расход сжатого воздуха (при давлении 0,5 МПа), м ³ /ч		2
Расход электроэнергии, кВт/ч		0,2
Габаритные размеры, мм: длина×ширина×высота		2400×670×1970
Масса, кг		1300

ПРИЛОЖЕНИЕ 3. Оборудование для приготовления и хранения оgneупорной супензии.

Установка (смеситель, мешалка, гидролизёр) мод. 63431. (Изготовитель – ГУП "Тираспольский завод литьевых машин им. С.М. Кирова". Молдова).

Установка мод. 63431 (см. рис.) предназначена для порционного приготовления оgneупорной супензии, используемой для изготовления КО (ГО) в мелкосерийном и серийном производстве литья. Установка работает в ручном режиме.

Установка мод. 63431 (мод. 661) представляет собой водохладящий бак, закреплённый на несущей раме с пневмоцилиндровым размешиванием на верхней поперечине. Бак совмещён с поворотным механизмом, предназначенным для поворота бака относительно горизонтальной оси. Привод поворота бака – пневмощитковый пневмоцилиндра. На крыше расположена мешалка с приводом.

Перемешивание компонентов оgneупорной супензии осуществляется с помощью крыльчатки, закреплённой на валу. Частота вращения крыльчатки – 2800 об/мин. Подача крыльчатки в бак совмещена с его закрыванием крышкой и реализуется посредством пневматического привода. Загрузка компонентов супензии в бак производится по специальному лотку, которым оснащена установка. Технические параметры установки мод. 63431 приведены в таблице.

Технические параметры установки мод. 63431

Параметры		Значения
Объем загрузки, м ³		0,063
Производительность, м ³ /ч:		
для эпилосиликатной супензии при времени приготовления 1,5 ч		0,025
для жидкостекольной супензии		0,063*
Расход сжатого воздуха (при давлении 0,5 МПа), м ³ /ч		0,04
Расход воды, м ³ /ч		0,5
Расход электроэнергии, кВт/ч		2,2
Габаритные размеры, мм: длина×ширина×высота		820×1050×3300
Масса, кг		750

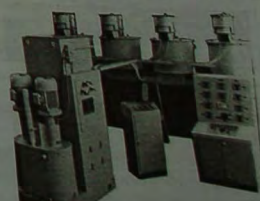
Примечание. * Расчетный объем загрузки – 0,04 м³.

Агрегат приготовления оgneупорной супензии мод. 662А. (Изготовитель – ГУП "Тираспольский завод литьевых машин им. С.М. Кирова". Молдова).

Агрегат мод. 662А (см. рис.) предназначен для непрерывного приготовления оgneупорной супензии на основе этилсиликата. Агрегат работает в непрерывном и циклическом режиме. Приготовление оgneупорной супензии на агрегате реализуется поэтапно. На первом этапе проводится накопление, дозирование и смешивание жидких компонентов супензии. На втором этапе осуществляется накопление в смесителе (гидролизёре) пылевидного материала (наполнителя оgneупорной супензии), смеши-



Установка
мод. 63431
(мод. 661)



Агрегат мод. 662А

вание пылевидного материала с жидкими компонентами супензии и проведение гидролиза (совмещённый способ гидролиза). Технические параметры агрегата мод. 662А приведены в таблице.

Технические параметры агрегата мод. 662А

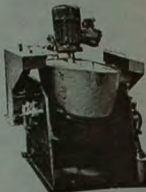
Параметры	Значения
Наибольшая производительность при непрерывном режиме работы, м ³ /ч	0,150*
Объём смесителя, л	180
Объём промежуточного бака, л	9,5
Объём бункера для пылевидного материала, м ³	0,06
Время дозирования при непрерывном режиме работы, мин	60
Время перемешивания, мин	60
Частота вращения крыльчатки смесителя, об/мин	1440 непрерывный
Способ подачи компонентов	5
Расход воды, м ³ /ч	5
Расход сжатого воздуха, кВт/ч	16,36
Расход электроэнергии, кВт/ч	3017
Габаритные размеры, мм: длина×ширина×высота	5300×4640×3355
Масса, кг	

Примечание. * Показатель установлен для типового технологического процесса на основе этилспилакта ЭТС-32.

Бак с мешалкой мод. 9190. (Изготовитель – ГУП "Тираспольский завод литейных машин им. С.М. Кирова". Молдова).

Установка мод. 9190 (см. рис.) предназначена для нанесения вручную огнеупорной супензии на модельные блоки, а также для поддержания стабильной консистенции и температуры огнеупорной супензии в процессе её использования и при хранении.

Установку используют в условиях мелкосерийного и серийного производства отливок. Технические параметры установки мод. 9190 приведены в таблице.



Установка мод. 9190

Технические параметры установки мод. 9190

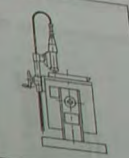
Параметры	Значения
Наибольшие размеры модельных блоков, мм: диаметр×высота	300×320 или 250×500
Объём бака, м ³	0,063
Частота вращения крыльчатки, об/мин	1415
Давление сжатого воздуха, МПа	0,4
Расход сжатого воздуха, м ³ /ч	0,01
Расход воды, м ³ /ч	0,5
Установленная мощность, кВт	1,5
Габаритные размеры, мм: длина×ширина×высота	1035×950×1540
Масса, кг	450

Установка мод. 64T131. (Изготовитель – ГУП "Тираспольский завод литейных машин им. С.М. Кирова". Молдова).

Установка мод. 64T131 предназначена для механического перемешивания и нанесения вручную огнеупорной супензии на модельные блоки в условиях мелкосерийного и серийного производства литья. Технические параметры и схема установки мод. 64T131 приведены в таблице.

Технические параметры и схема установки мод. 64T131

Параметры	Значения
Максимальные размеры модельного блока, мм: диаметр длины	260 400
Объём бака, л	63
Расход сжатого воздуха, м ³ /ч	1,48
Номинальная мощность, кВт	1,2
Габаритные размеры, мм: длина ширина высота	1180 840 2015 400
Масса, кг	

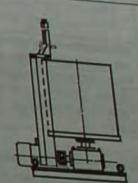


Установка (с вращающимся баком) для перемешивания огнеупорной супензии конструкции ОАО "Спецлиттех" (г. Москва, Россия).

Установка предназначена для хранения и нанесения (вручную) огнеупорной супензии на модельные блоки. Технические параметры установки и её вид приведены в таблице.

Технические параметры и схема установки с вращающимся баком

Параметры	Значения
Габариты бака, мм: диаметр наружный высота	500 (320) 500
Объём бака, м ³ : при диаметре 500 мм при диаметре 320 мм	0,095 0,028
Объём бака, м ³ : при диаметре 500 мм при диаметре 320 мм	0,076–0,066 0,03–0,027
Габаритные размеры, мм: длина ширина высота	520 710 1116 20–40
Частота вращения бака, об/мин	



Агрегат мод. 63501. (Изготовитель – ГУП "Тираспольский завод литейных машин им. С.М. Кирова". Молдова).

Агрегат мод. 63501 (см. рис.) предназначен для хранения и транспортировки огнеупорной супензии, применяемой для изготовления КО в серийном и массовом производстве литья по выплавляемым моделям. Агрегат можно использовать как в составе линий нанесения огнеупорного покрытия, так и самостоятельно. Технические параметры агрегата мод. 63501 приведены в таблице.



Технические параметры агрегата мод. 63501

Параметры	Значения
Объём бака, м ³	0,215
Расход сжатого воздуха (при давлении 0,4 МПа), м ³ /ч	0,5
Расход воды, м ³ /ч	0,7
Расход электроэнергии, кВт/ч	3,4
Габаритные размеры, мм: длина×ширина×высота	1600×1150×1650
Масса, кг	915

ПРИЛОЖЕНИЕ 4. Оборудование для обсыпки модельных блоков зернистым материалом и сушки слоёв огнеупорного покрытия.
 Пескосыпы мод. 64Т132 и мод. 9191. (Изготовитель – ГУП "Тираспольский завод литьевых машин им. С.М. Кирова". Молдова).



Пескосып мод 9191

Технические параметры пескосыпов мод. 64Т132 и мод. 9191

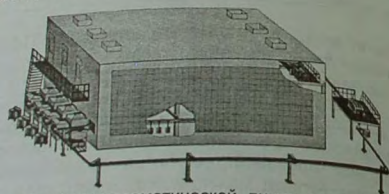
Параметры	Значения	
	мод.64Т132	мод. 9191
Максимальные размеры обрабатываемого модельного блока, мм: диаметр × высота	320×400	300 × 320 250 × 500
Расход сжатого воздуха при давлении 0,5 МПа, м ³ /ч;	20	-
Расход сжатого воздуха при давлении 0,4 МПа, м ³ /ч;	-	8
Габаритные размеры, мм: длина×ширина×высота	945×935×920	920×745×1170
Масса, кг	230	170

Автоматическая линия мод. 64001. (Изготовитель – ГУП "Тираспольский завод литьевых машин им. С.М. Кирова". Молдова).

Автоматическая линия мод. 64001 (см. рис.) предназначена для послойного нанесения огнеупорного покрытия на модельные блоки звеньевной сборки моделей со стояками оснащёнными металлическими замками-зумфами с внешней резьбой, в условиях крупносерийного и массового производства мелкого литья.

Линию изготавливают в одиннадцати исполнениях, отличающихся способом нанесения обсыпочного зернистого материала, числом слоев огнеупорного покрытия, наносимого на модельные блоки, временем сушки слоёв огнеупорного покрытия и длиной блока.

На линии выполняются следующие технологические операции: ручная установка стояков с модельными блоками на подвесной конвейер; нанесение слоя модельного состава на колпачки (зумфы); нанесение огнеупорной сuspензией на модельные блоки; обсыпка модельных блоков зернистым огнеупором в кипящем слое или падающем потоке зернистого огнеупорного материала; зачистка огнеупорного покрытия на кромке ЛВ, на каждом слое покрытия; воздушная сушка огнеупорного покрытия; химическое закрепление последнего (жидкостекольного)



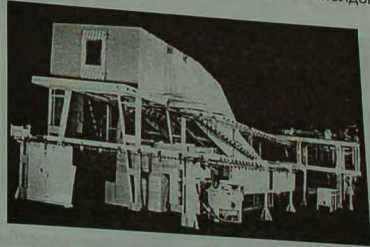
Общий вид автоматической линии мод. 64001

слоя КО хлористым алюминием; транспортировка блоков на горизонтально-замкнутом конвейере; ручной съем блоков с подвесного конвейера.

Технические параметры линии мод. 64001

Параметры	Значения
Наибольшие габаритные размеры блока, мм: диаметр×длина	400(400-500)
Производительность, блоков:	
а) при скорости конвейера не менее 1,67 м/мин: при шаге подвесок 320 мм	300
при шаге подвесок 480 мм	200
б) при скорости конвейера не менее 0,96 м/мин: при шаге подвесок 320 мм	150
при шаге подвесок 480 мм	180
при шаге подвесок 640 мм	120
Масса модельно-керамического блока, кг (не более)	90
Число слоёв огнеупорного покрытия на блоке, шт	6,5
Продолжительность сушки одного слоя огнеупорного покрытия, мин:	4-5
не менее: при скорости движения конвейера 1,67 м/мин	
при скорости движения конвейера 0,96 м/мин	
Расход сжатого воздуха (при давлении 0,5 МПа), м ³ /ч	120
Расход охлаждающей воды (при t=8-12°C), м ³ /ч	210
Установленная мощность, кВт	2-612
Габаритные размеры, мм: длина ширина высота	7,5
Масса, кг	38,7-75,7
	20305-20760
	13150-16240
	6500
	116000-170000

Автоматизированная линия мод. 6Б82-01. (Изготовитель – ГУП "Тираспольский завод литьевых машин им. С.М. Кирова". Молдова).



Линия автоматизированная мод. 6Б82-01

Автоматизированная линия мод. 6Б82-01 (см. рис.) предназначена для нанесения огнеупорного покрытия на модельные блоки и послойной сушки покрытия в воздушно-аммиачной среде.

На автоматизированной линии выполняются следующие технологические операции: установка вручную модельных блоков на трассу подвесного конвейера; окунание модельных блоков в огнеупорную супензию; обсыпка модельных блоков зернистым огнеупорным

материалом в кипящем слое или в падающем потоке; послойная сушка покрытия на модельных блоках в аммиачной и воздушной камерах; транспортировка блоков на горизонтально замкнутом подвесном конвейере; съем блоков, вручную, с подвесного конвейера. Технические параметры линии мод. 6Б82-01 приведены в таблице.

Технические параметры линии мод. 6Б82-01

Параметры	Значения
Наибольшие габаритные размеры блока, мм: длина-диаметр подвесок 640 мм), покрытием	500-400
Наибольшая производительность (при скорости конвейера 2,13 м/мин и шаге подвесок 640 мм), покрытий/ч	200
Масса модельно-керамического блока, кг (не более)	50
Длительность сушки одного слоя покрытия, мин, не менее	10
Объем ванны с оgneупорной супензией, м ³	60
Объем ванны пескосыпки с кипящим слоем, м ³	0,09
Объем зернистого оgneупорного материала в гравитационном пескосыпке барабанного типа, м ³	0,27
Частота вращения барабана пескосыпки, об/мин	0,5
Расход аммиака (свободного газа), м ³ /ч	0,45
Расход сжатого воздуха (при давлении 0,4 МПа), м ³ /ч	2
Расход воды в системе охлаждения, м ³ /ч	160
Установленная мощность, кВт	0,8
Габаритные размеры, мм: длина×ширина×высота	23000×7000×5000
Масса, кг	37000

В состав линии входит: станция приводная, трасса горизонтально замкнутого конвейера, ванна для нанесения оgneупорной супензии на модельные блоки, пескосыпка с кипящим слоем, барабанный пескосып элеваторного типа, камера аммиачной сушки, камера проветривания блоков, бак хранения оgneупорной супензии, электрошкаф.

Линия автоматизированная мод. 64005. (Изготовитель – ГУП "Тираспольский завод литейных машин им. С.М. Кирова". Молдова).

Линия автоматизированная мод. 64005 (см. рис.) предназначена для изготовления пятислойных КО путём послойного нанесения оgneупорного покрытия на модельные блоки звеньевой сборки с их последующей воздушно-аммиачной сушкой, для изготовления мелких отливок в условиях крупносерийного и массового производства литья.



Автоматизированная линия мод. 64005

На линии мод. 64005 выполняются следующие технологические операции: установка вручную модельных блоков на трассу подвесного конвейера; нанесение модельного состава на колпачки зумпфов модельных блоков; окунание модельных блоков в оgneупорную супензию; обсыпка модельных блоков зернистым оgneупорным материалом в кипящем слое; удаление (зачистка) оgneупорного покрытия с кромки литниковой воронки после нанесения каждого слоя оgneупорного покрытия; сушка слоя покрытия в аммиачной и воздушной камерах; выплавление модельного состава из КО в воде или в модельном составе; транспортировка

блоков на горизонтально замкнутом, подвесном конвейере; съём КО вручную с подвесного конвейера.

Технические параметры линии мод. 64005 приведены в таблице.

Технические параметры линии мод. 64005

Параметры	Значения
Наибольшая производительность (при скорости конвейера 2,13 м/мин и шаге подвесок 480 мм), блоков/ч	300
Наибольшие габаритные размеры блока, мм: длина-диаметр керамического блока	500-400
Количество слоев оgneупорного покрытия на блоке, шт	6,5
Продолжительность сушки одного слоя оgneупорного покрытия, мин	5
Расход сжатого воздуха (при давлении 0,4 МПа), м ³ /ч	58
Расход пара (при давлении 0,6 МПа), кг/ч	600
Расход воды в системе охлаждения (при t=8-12°C), м ³ /ч	1200
Расход аммиака, м ³ /ч	3,5
Установленная мощность, кВт	45
Габаритные размеры, мм: длина×ширина×высота	34300×18250×4975
Масса, кг	13500

Установка мод. УВС-4 для вакуумно-аммиачной сушки оgneупорного покрытия на модельных блоках. (Изготовитель – ПО "Электромеханика", г. Ржев, Россия).

Установка мод. УВС-4 (см. рис.) предназначена для вакуумно-аммиачной сушки оgneупорного покрытия на модельных блоках, изготавливаемого на основе гидролизованного раствора этилсиликата с органическим растворителем.



Установка УВС-4

Технические параметры установки для вакуумно-аммиачной сушки КО мод. УВС-4 приведены в таблице.

Технические параметры установки мод. УВС-4

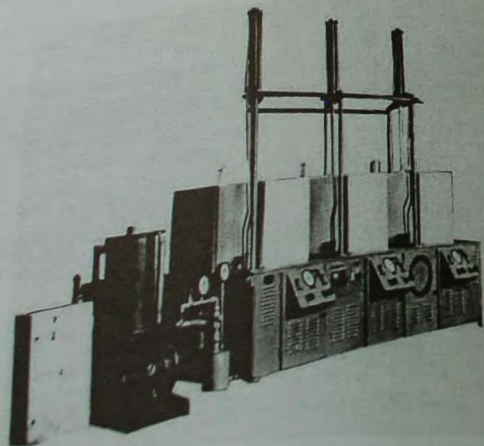
Параметры	Значения
Размеры тележки-этажерки в плане (3 шт), мм	600×1400
Максимальный ход тележки, мм	2240
Цикл сушки, мин	30-50
Рабочая среда	Вакуум, газообразный аммиак
Расход аммиака, м ³ /ч	1,5
Остаточное давление в камере, Па	19-29
Расход воды системы охлаждения, м ³ /ч	14,5
Расход сжатого воздуха, м ³ /ч	0,12
Мощность, кВт	22
Габаритные размеры (без вакуумной системы), мм	7000×4700×2500
Масса, кг	5100

Установка мод. 683 для вакуумно-аммиачной сушки огнеупорного покрытия на модельных блоках. (Изготовитель – ГУП "Тираспольский завод литьевых машин им. С. М. Кирова". Молдова).

Установка вакуумно-аммиачной сушки блоков мод. 683 (см. рис.) предназначена для постной сушки огнеупорного покрытия, выполненного на основе гидролизованного раствора этилсиликата, в условиях мелкосерийного и серийного производства литья.

Технические параметры установки мод. 683 приведены в таблице.

Технические параметры установки мод. 683		Значения
Параметры		
Наибольшие габаритные размеры блоков, мм: диаметр×длина		400×500
Наибольшая производительность при сушке блоков диаметром 400 мм (из расчета постной сушки четырех слоев покрытия и продолжительности цикла сушки одного слоя 15 мин), блоков/ч		12
Количество блоков, размещаемых в одной камере, шт:		
диаметром до 400 мм	4	
диаметром до 250 мм	8	
Время сушки одного слоя покрытия, мин		15±5; 20±5; 30±5
Расход воды для охлаждения вакуумного золотникового агрегата, м ³ /ч		1,5
Расход сжатого воздуха (при давлении 0,4 МПа), м ³ /ч		0,6
Расход аммиака (при давлении 1 МПа), м ³ /ч		3
Расход электроэнергии, кВт/ч		8,2
Быстрая действия вакуумного оборудования, л/с		180
Предельное остаточное давление в воздухе, кПа		0,4
Габаритные размеры, мм: длина×ширина×высота		6600×1870×3600
Масса, кг		4200



Установка мод. 683

ПРИЛОЖЕНИЕ 5. Оборудование для выплавления модельного состава из модельного состава из форм.

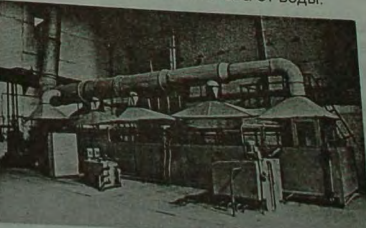
Установки мод. 64511 и мод. 64531 для выплавления модельного состава из оболочковых форм. (Изготовитель – ГУП "Тираспольский завод литьевых машин им. С. М. Кирова". Молдова).

Установки предназначены для выплавления модельного состава из КО в условиях массового и крупносерийного (мод. 64511) и мелкосерийного (мод. 64531) производства отливок. Общий вид установок мод. 64511 и мод. 64531 представлен на рисунке, а их технические параметры приведены в таблице.

Технические параметры установок мод. 64511 и мод. 64531

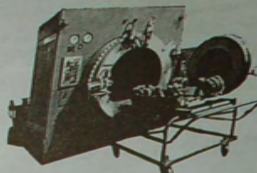
Параметры	Значения
Наибольшие габаритные размеры блока, мм: диаметр×длина	64511 64531 400×500 250×400
Наибольшая производительность блоков/ч:	90
при выплавлении в модельном составе (скорость движения конвейера 1,67 м/мин, шаг подвесок 320 мм)	
при выплавлении в воде (скорость движения конвейера 1,42 м/мин, шаг подвесок 320 мм)	300
	250
Время выплавления, мин, не менее	11 11
Температура воды в ванне выплавления, °С	98 98
Температура расплава модельного состава в ванне выплавления, °С	120 120
Расход пара (при давлении 0,6 МПа), кг/ч	800
Расход воды, м ³ /ч	0,1 0,5
Размеры площадки для размещения блоков, мм: длина×ширина	1350×450
Габаритные размеры установки, мм:	
длина	7,1 7,0
ширина	15400 4020
высота	4470 3700
Масса, кг	1854 2370
	11700 3150

Установка непрерывного действия (конвейерного типа) мод. 64511 работает только в составе автоматизированных линий, например, мод. 64001, мод. 64005 и т.п. Установка карусельного типа мод. 64531 работает автономно, обеспечивая при этом выполнение следующих технологических операций: нагрев выплавляющей среды (воды); выплавление модельного состава при непрерывном движении блоков; отделение выплавленного состава от воды.



Установки мод. 64511 (а) и мод. 64531 (б)

Бойлерклавы мод. 64501 и мод. 64502. (Изготовитель – ГУП "Тиасральский завод литьевых машин им. С.М. Кирова". Молд.)



Бойлерклав мод. 64501 с тележкой

Технические параметры бойлерклавов мод. 64501 и мод. 64502

Параметры	Значения
Наибольшие габаритные размеры блока, мм: длина×ширина	750×550
Наибольшая производительность, блоков / ч, при продолжительности цикла 5 мин и при размерах блоков (диаметр×длина): 750 × 550 / 400 × 550 / 320 × 500 / 200 × 500	12 / 48 / 72 / 120
Рабочий объем бойлера (парогенератора) / камеры (автоклава), л	1800 / 1146
Продолжительность цикла, мин	5-20
Наибольшее количество модельного состава, выплавляемого за один цикл, л	50
Максимальное рабочее давление пара, МПа	0,8
Температура в камере, °С (не более)	170
Время выхода на рабочий режим, ч	3
Расход воды, м ³ /ч	2,2
Расход воздуха (при давлении Р=0,6 МПа), м ³ /ч	0,5
Расход электроэнергии, кВт/ч	97,4
Габаритные размеры, мм: длина×ширина×высота	3660×3770×2470
Масса, кг	9300
	9000

При выплавлении модельного состава из КО в бойлерклаве выполняются следующие технологические операции: выработка пара ($P=0,8$ МПа, $t=170^{\circ}\text{C}$); раскрытие двери бойлерклава; установка вручную блоков в кассету литниковой воронкой вниз; загрузка вручную кассеты с блоками в камеру бойлерклава; закрывание двери камеры; впуск пара в камеру; выдержка блоков в камере (от 5 до 20 мин и более);брос давления в камере (выпуск пара); раскрытие двери при атмосферном давлении внутри камеры; разгрузка бойлерклава (извлечение кассеты с КО из камеры и снятие КО с кассеты).

Бойлерклавы не пригодны для выплавления в них карбамидных моделей и модельных составов, содержащих карбамид, поскольку выделяющийся из карбамида аммиак разрушает детали бойлерклавов, изготовленных из меди и её сплавов.

ПРИЛОЖЕНИЕ 6. Оборудование для прокаливания форм.

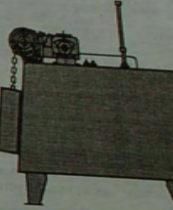
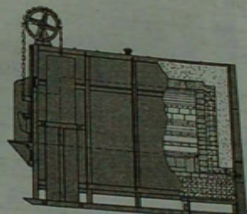
Термические печи камерного типа. Печи электрические камерного типа Н и СНО (см. рис.) используют как для прокаливания форм, так и для термической обработки отливок.

Для прокаливания КО и гипсовых форм печи данной серии используют в условиях единичного и серийного производства литья.

Технические параметры печей типа Н и СНО 8,5.17,5/10 приведены в таблицах.

Технические параметры печей типа Н

Параметры	Значения
Номинальная мощность, кВт	H-45 45 60 380/220
Напряжение, В	3 950
Число фаз, шт	7 8 10
Максимальная температура, °С	Воздух (окислительная)
Время разогрева от комнатной температуры до максимальной, ч	7 8
Размеры рабочего пространства, мм: длина×ширина×высота	1200×600×500 1500×750×550 1800×900×600
Габаритные размеры, мм: длина×ширина×высота	2200×1700×1750 2830×1750×2290 3130×1850×2390
Масса, кг	3200 4800 6800



Печи типа Н (а) и СНО (б)

Технические параметры электрической камерной печи СНО 8,5.17,5/10

Параметры	Значения
Номинальная мощность, кВт	9,2
Напряжение, В	380
Частота тока, Гц	50
Число фаз, шт	3
Максимальная температура, °С	1000
Рабочая температура, °С	850
Газовая среда в рабочем пространстве	Воздух (окислительная)
Время разогрева от комнатной температуры до максимальной, ч	2,5
Размеры рабочего пространства, мм: длина×ширина×высота	1700×850×500
Габаритные размеры, мм: длина×ширина×высота	3290×2490×2750
Масса, кг	6810

Линия мод. 66C003 для формовки, прокаливания, заливки КО, охлаждения и выбивки блоков. (Изготовитель – ГУП "Тираспольский завод литьевых машин им. С.М. Кирова". Молдова).
Линия мод. 66C003 (см. рис.) предназначена для получения отливок методом литья по выплавляемым моделям в условиях мелкосерийного и серийного производства.

На линии выполняют следующие технологические операции:

- прокаливание КО в электропечи проходного типа;
 - формовку КО в опорном наполнителе в ванне кипящего слоя с вибрационным уплотнением опорного наполнителя вокруг КО;
 - заливку КО жидким металлом;
 - охлаждение запитых блоков с частичным разрушением КО;
 - извлечение запитых блоков из опорного наполнителя и их сбрасывание с подвесок в транспортную тару;
 - межоперационную транспортировку подвесок с блоками.
- Технические параметры линии мод. 66C003 приведены в таблице.



Линия мод. 66C003 (в плане)

Технические параметры линии мод. 66C003

Параметры	Значения
Производительность, блоков/ч	24
Максимальные размеры блока, мм: диаметр×длина	260×400
Температура в печи прокаливания, °С: зона 1-> зона 2 -> зона 3	400-700 -> 600-900 -> 700-1000
Длительность прокаливания КО, мин	60
Длительность цикла, мин	20
Длительность затвердевания отливок, мин	3
Длительность охлаждения запитых блоков, мин	40
Скорость перемещения блоков, м/мин	8,6
Максимальная масса запитого блока, кг	20
Количество блоков, одновременно устанавливаемых под заливку, шт	8
Установленная мощность, кВт	346,8
Габаритные размеры, мм: длина×ширина×высота	10300×5100×3280
Масса, кг	35500

Линии мод. 66001-01 и мод. 66001-02 для формовки, прокаливания, заливки КО, охлаждения и выбивки блоков. (Изготовитель – ГУП "Тираспольский завод литьевых машин им. С.М. Кирова". Молдова).

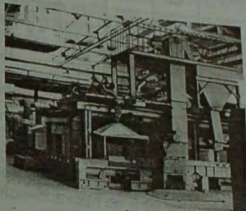
Линии мод. 66001-01 и мод. 66001-02 (см. рис.) предназначены для получения отливок методом литья по выплавляемым моделям в условиях мелкосерийного и серийного производства.

На линиях выполняют следующие технологические операции: формовку КО в мелкосерийный сыпучий опорный наполнитель; прокаливание форм при 1000...1100°C; заливку форм металлом; охлаждение опок с запитыми блоками; расформовку опок и удаление из них запитых блоков; возврат опорного наполнителя в бункер-накопитель.

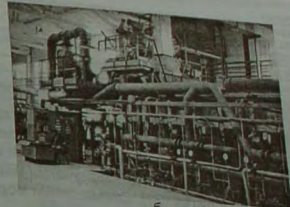
Технические параметры линий формовки прокаливания заливки и охлаждения КО мод. 66001-01 и мод. 66001-02 приведены в таблице

Технические параметры линий мод. 66001-01 и мод. 66001-02

Параметры	Значения
Максимальная производительность при размещении 5-ти блоков в опоке и времени обжига 6 ч с использованием газовой и электрической прокалочных печей:	
блоков/ч	580-360-540
Габаритные размеры опоки, мм	50-10
Количество опок в линии, шт	140
Скорость пластинчатого конвейера, м/мин	10
Ход тележки охладительной камеры, мм	422
Ход тележки затвердителя, мм	900
Ход тележки шагового транспортера, мм	700
Время прокаливания, ч	6-8
Расход электроэнергии с прокалочными печами, кВт·ч	13 / 463
Расход природного газа, м ³ /ч	254
Габаритные размеры с газовой печью, мм: длина×ширина×высота	18560×8770×6000
Масса линии с прокалочными печами, кг: газовой / электрической	123000 / 92000



а



б

Линии мод. 66001-01 (а) и мод. 66001-02 (б)

Механизированная линия мод. 7723 для прокаливания и заливки КО. (Изготовитель – АО "НИИТавтпром", г. Москва, Россия).

Механизированная линия прокаливания и заливки КО без опорного наполнителя мод. 7723 предназначена для получения мелких отливок в условиях крупносерийного производства литья [21].

Схема линии мод. 7723 (в плане) и прокалочной печи представлены на рисунке.

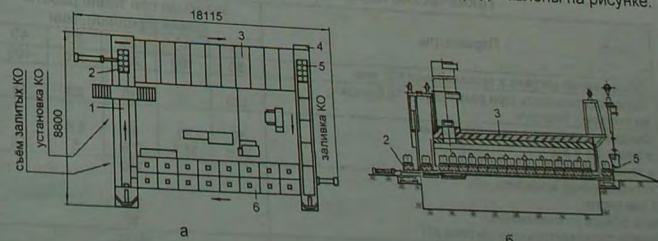


Схема линии мод. 7723 (а) и её печи прокаливания КО (б)

Линия состоит (см. рис.) из газовой печи прокаливания З проходного типа с тремя рабочими зонами с автоматическим регулированием температуры. Печь имеет четыре условные температурные зоны с автоматическим регулированием температуры.

Камера охлаждения заливных КО 6 размещена параллельно печи прокаливания и в своей первой зоне оснащена душающими устройствами. Прокалочная печь и камера охлаждения связаны между собой системой поперечного транспорта 1 и 4. На позиции загрузки КО в печь (тележка 2) размещается платформа с установленным на ней КО. На выходе из печи на тележке 5 располагаются прокаленные КО, готовые к заливке металлом.

Технические параметры линии мод. 7723 приведены в таблице.

Технические параметры линии мод. 7723

Параметры	Значения при темпе работы линии (средний), мин				
Общее время нагрева и прокаливания КО, мин	3	6	9	12	15
Производительность (при размещении 10 блоков на тележке), блоков/ч	54	108	162	216	270
Средняя скорость нагрева КО, °С/мин:	200	100	66	50	270
до 600°С	39	19,5	13	9,75	40
до 900°С	19,5	9,75	6,5	4,9	7,8
Расход газа, км³/ч			80		3,5
Установленная мощность, кВт			24		
Масса, кг			100000		

Механизированная линия мод. 7758 для прокаливания и заливки КО. (Изготовитель – АО "НИИТавтпром", г. Москва, Россия).

Механизированная линия прокаливания и заливки КО без опорного наполнителя мод. 7758 предназначена для получения мелких отливок в условиях крупносерийного производства литья [21]. Схема линии мод. 7758 (в плане) и её прокалочная печь представлена на рисунке.

В состав линии входит электрическая печь 5 проходного типа, камера охлаждения 3, позиции загрузки-выгрузки блоков 2 и камеры предварительного подогрева 1, связанные между собой поперечным транспортом 4 и 6.

Печь имеет четыре условные температурные зоны с автоматическим регулированием температуры. Технические параметры линии мод. 7758 приведены в таблице.

Технические параметры линии мод. 7758

Параметры	Значения при темпе работы линии (средний), мин				
Общее время нагрева и прокаливания КО, мин	5	10	20	30	40
Производительность (при размещении 10 блоков на тележке), блоков/ч	50	100	200	300	400
Средняя скорость нагрева КО, °С/мин:					
в зонах 1-й и 3-й	120	60	30	20	15
в зонах 2-й и 4-й	40	20	10	6,6	5
Установленная мощность, кВт	31,6	15,8	7,6	5	3,8
в том числе:					
печь обжига (прокаливания)			202		
камера предварительного нагрева КО			160		
Масса, кг			30		
			56000		

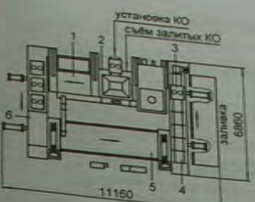


Схема линии мод. 7758 (а) и её печи прокаливания КО (б)

Линия мод. 4232. (Изготовитель – ООО "Спецлиттех", г. Москва, Россия). Линия мод. 4232 (см. рис.) совмещает операции выплавления модельного состава из КО и их прокаливание. Технические параметры линии мод. 4232 приведены в таблице.

Технические параметры и схема линии мод. 4232

Параметры	Значения
Производительность, блоков/ч	38
Темп работы печи, мин	1,5
Количество КО в печи, шт	26
Габаритные размеры КО, мм:	
диаметр	180
высота	330
Установленная мощность, кВт	1000
Число температурных зон, шт	54
Нагревательный элемент	Two-shank Kanthal super
Габаритные размеры, мм:	1800 6/12
длинахширинахвысота	2860x2640x3000
Масса, кг	3500

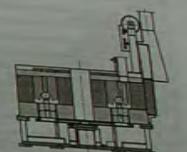


Схема линии мод. 3242

ПРИЛОЖЕНИЕ 7. Традиционные названия химических веществ

Название	Формула
Алуд.	$\text{Al NH}_4 (\text{SO}_4)_2 \cdot 12\text{H}_2\text{O}$
Алюмоаммонийные квасцы	$\text{K Al}(\text{SO}_4)_2 \cdot 12\text{H}_2\text{O}$
Алюмокалиевые квасцы	водный раствор NH_3
Алюмокалиевая вода	$\text{Mg}(\text{ClO}_4)_2$
Аммиачная вода	$\text{MgSO}_4 \cdot 7\text{H}_2\text{O}$
Ангидрон	$\text{Na}_2 \text{S}_2\text{O}_3 \cdot 5\text{H}_2\text{O}$
Английская соль	насыщенный раствор $\text{Ba}(\text{OH})_2$
Антихлор	BaSO_4
Баритовая вода	SiO_2
Баритовые белила	$\text{BN}(\text{гекс.})$
Белая сажа	$\text{KFe}[\text{Fe}^{\text{II}}(\text{CN})_6]$
Белый графит	KClO_3
Берлинская лазурь	CH_4
Бертолетова соль	$\text{B}_2\text{H}_6\text{N}_3$
Болотный газ	$\text{BN}(\text{куб.})$
Боразол	раствор CuSO_4 в известковом молоке
Боразон	водный раствор брома (содержит HBrO и HBr)
Бородская жидкость	$\text{Na}_2\text{B}_4\text{O}_7 \cdot 10\text{H}_2\text{O}$
Бромная вода	N_2O
Бура	смесь CO и H_2
Веселый газ	смесь CO (25% об.), N_2 (70%) и CO_2 (4%)
Водяной газ	$\text{Ca}(\text{OH})_2$
Водушный газ	$(\text{NaPO}_3)_6$
Гашеная известь	см. воздушный газ
Гексаметафосфат натрия	$\text{Na}_2\text{S}_2\text{O}_4$
Гематитовый газ	см. антихлор ($\text{Na}_2\text{S}_2\text{O}_4 \cdot 5\text{H}_2\text{O}$)
Гидросульфит	$\text{Na}_2\text{SO}_4 \cdot 10\text{H}_2\text{O}$
Гипосульфит	PbO
Глауберова соль	$\gamma\text{-Al}_2\text{O}_3$
Глёт синцовый	$\text{Al}_2(\text{SO}_4)_3$
Глиноzem	$\text{MgSO}_4 \cdot 7\text{H}_2\text{O}$
Глиноzem сернокислый	смесь 2 объемов H_2 и 1 объема O_2
Горькая соль	см. олеум
Гремучий газ	$\text{Ba}(\text{OH})_2$
Дымящая серная кислота	водный раствор KOH , насыщенный хлором (содержит KClO и KCl)
Едкий барит	$\text{FeSO}_4 \cdot 7\text{H}_2\text{O}$
Жавелевая вода	$\text{Fe NH}_4 (\text{SO}_4)_2 \cdot 12\text{H}_2\text{O}$
Железный купорос	$\text{KFe}(\text{SO}_4)_2 \cdot 12\text{H}_2\text{O}$
Железоаммонийные квасцы	$\text{K}_4[\text{Fe}(\text{CN})_6] \cdot 3\text{H}_2\text{O}$
Железокалиевые квасцы	MgO
Желтая кровяная соль	$2\text{CaSO}_4 \cdot \text{H}_2\text{O}$
Жженая магнезия	щелочный раствор силикатов натрия, калия или лития насыщенный водный раствор $\text{Ca}(\text{OH})_2$
Жженый гипс	сuspensia $\text{Ca}(\text{OH})_2$ в известковой воде
Жидкое стекло	CaOCl_2
Известковая вода	$\text{Ca}(\text{OH})_2 \cdot \text{H}_2\text{O}$
Известковая селитра	смесь CaO и MgO
Известковое молоко	$2\text{CaO} + \text{NaOH}$
Известь белильная (хлорная)	CaO
Известь гашеная	KNO_3
Известь магнезиальная	смесь CaO и MgO
Известь натронная	$\text{CaO} + \text{NaOH}$
Известь негашеная (обожжённая)	CaO
Индийская селитра	NaHCO_3
Калиевый хромпик	см. хромпик
Калиевый щелок	KOH

Продолжение таблицы приложения 7

Каломель	Hg_2Cl_2
Кальцинированная сода	Na_2CO_3
Каменная соль	NaCl
Карбид кальция	CaC_2
Карборунд	SiC
Каустик	NaOH
Каустическая сода	NaOH
Квасцы алюминиевые (алюмокалиевые)	$\text{K}_2\text{Al}_2(\text{SO}_4)_4 \cdot 24\text{H}_2\text{O}$
Квасцы аммиачные (алюмоаммониевые)	$(\text{NH}_4)_2\text{Al}_2(\text{SO}_4)_4 \cdot 24\text{H}_2\text{O}$
Квасцы железные	$\text{K}_2\text{Fe}_2(\text{SO}_4)_4 \cdot 24\text{H}_2\text{O}$
Квасцы железоаммиачные (железо-аммониевые)	$\text{Fe}_2(\text{NH}_4)_2(\text{SO}_4)_4 \cdot 24\text{H}_2\text{O}$
Квасцы хромовые	$\text{K}_2\text{Cr}_2(\text{SO}_4)_4 \cdot 24\text{H}_2\text{O}$
Кипелка	CaO
Кислота Каро	$\text{H}_2\text{SO}_4(\text{O}_2)$
Коагулант алюминиевый	$\text{Al}_2(\text{SO}_4)_3$
Коагулант железный	$\text{Fe}_2(\text{SO}_4)_3$
Коагулант зольный	смесь $\text{Al}_2(\text{SO}_4)_3$ и $\text{Fe}_2(\text{SO}_4)_3$
Коагулант нефелиновый	Al_2O_3
Красная кровяная соль	$\text{K}_3[\text{Fe}(\text{CN})_6]$
Кремнезем	SiO_2
Криолит	3NaF AlF_3
Крокус	Fe_2O_3
Купорос железный	$\text{FeSO}_4 \cdot 7\text{H}_2\text{O}$
Купорос медный	$\text{CuSO}_4 \cdot 5\text{H}_2\text{O}$
Купоросное масло	техническая концентрированная (90,5 - 92,5%-ная) серная кислота
Ледяная уксусная кислота	100%-ная твёрдая уксусная кислота
Лейкософир	Al_2O_3
Ляпис	сплав $\text{AgNO}_3 + 2\text{KNO}_3$
Магнезиальная смесь	раствор MgCl_2 и NH_4Cl в аммиачной воде
Магнезит	MgCO_3
Магнезия белая или жёлтая	MgO
Магниевая селитра	$\text{Mg}(\text{NO}_3)_2 \cdot \text{H}_2\text{O}$
Мажеф	$\text{Mn}(\text{H}_2\text{PO}_4)_2$
Медный купорос	$\text{CuSO}_4 \cdot 5\text{H}_2\text{O}$
Мел (мрамор)	CaCO_3
Меланж кислотный	$\text{HNO}_3 + \text{H}_2\text{SO}_4$ (87...89% HNO_3)
Моногидрат	H_2SO_4
Монтан-селитра	смесь $(\text{NH}_4)_2\text{SO}_4$ и NH_4NO_3
Мочевина (карбамид)	$\text{C}(\text{NH}_2)_2\text{O}$
Мумия	Fe_2O_3
Натронная известь	смесь CaO или $\text{Ca}(\text{OH})_2$ и NaOH
Натронная селитра	NaNO_3
Нашательный спирт	см. аммиачная вода
Нашатырь	NH_4Cl
Негашеная известь	CaO
Неорганический бензол	см. боразол
Нитропруссид натрия	$\text{Na}_2[\text{Fe}(\text{NO})(\text{CN})_3]$
Норвежская селитра	$\text{Ca}(\text{NO}_3)_2 \cdot 2\text{H}_2\text{O}$
Олеум	раствор SO_3 в H_2SO_4
Оловянная соль	$\text{SnCl}_2 \cdot 2\text{H}_2\text{O}$
Оловянное масло	SnCl_4 (хидр.)
Пергидроль	27...31%-ный водный раствор H_2O_2
Периклаз	MgO
Питовая сода	NaHCO_3
Плавиковая кислота	концентрированный водный раствор HF
Плавиковый шпат	CaF_2
Поваренная соль	см. каменная соль

Окончание таблицы приложения 1

Поташ	K_2CO_3
Расторимое стекло	смесь K_2SiO_3 или Na_2SiO_3 и SiO_2
Рубин	Al_2O_3
Гудничич газ	CH_4
Свинцовый крон	$PbClO_4$
Свинцовый купорос	$PbSO_4$
Свинцовый сахар	$Pb(CH_3COO)_2 \cdot 3H_2O$
Серная печень	Na_2S_x , K_2S_n
Сернистый газ	SO_2
Серный цвет	порошкообразная S_8 (ромб.)
Сероводородная вода	насыщенный водный раствор H_2S
Селитра аммиачная	NH_4NO_3
Селитра известиюковая	$Ca(NO_3)_2$
Селитра калиевая	KNO_3
Селитра кальциевая	$Ca(NO_3)_2$
Селитра натриевая	$NaNO_3$
Силикагель	$SiO_2 \cdot nH_2O$ ($n < 6$)
Синильная кислота	водный раствор HCN
Смесь Эшка	смесь MgO и Na_2CO_3
Сода бельевая (стиральная, кальцинированная, пушонка)	Na_2CO_3
Сода бикарбонат (двууглекислая, питьевая, пищевая)	$NaHCO_3$
Сода жидккая (каустическая)	$NaOH$
Сода кристаллическая	$NaHCO_3 \cdot 10H_2O$
Соляная кислота	концентрированный водный раствор HCl
Стройный гипс	см. жженый гипс
Сулфама	$HgCl_2$
Суперфосфат	смесь $Ca(H_2PO_4)_2 \cdot H_2O$ и $CaSO_4$
Сурник свинцовыи	Pb_2O_3
Сурник железный	Fe_2O_3
Сурьмяное масло	$SbCl_3$
Сухой лед	CO_2 (тв.)
Сухой (твёрдый) спирт	металльдегид $(CH_3CHO)_x$, уротропин и др.
Терпентинное масло	животный скапидар
Тенарова синь	$(Co^4Al_2)_O_4$
Термит	смесь порошкообразных Al и $(Fe^{II}Fe^{III})O_4$
Тиомочевина	$CS(NH_2)_2$
Титановые белила	TiO_2
Турнбулева синь	продукт взаимодействия Fe^{2+} с $[Fe(CN)_6]^{4-}$
Угарный газ	CO
Феррианицид	см. красная кровяная соль
Ферроцианид	см. желтая кровяная соль
Хлорная вода	водный раствор хлора (содержит $HClO$ и HCl)
Хлорная известь	смесь гипохлорита, хлорида и гидроксида кальция
Хромовая смесь	смесь концентрированной кислоты и бихромата калия
Хромовый купорос	$CrSO_4 \cdot 7H_2O$
Хромокалиевые квасцы	$KCr(SO_4)_2 \cdot 12H_2O$
Хромпик	$K_2Cr_2O_7$, реже $Na_2Cr_2O_7 \cdot 2H_2O$
Царская водка	смесь 1 объема концентрированной HNO_3 и 3 объемов HO_2
Цемент Сореля	$2MgO + MgCl$
Цементит	Fe_3C
Цинковые белила	ZnO
Циркониевые белила	ZrO_2
Чилийская селитра	см. натронная (натриевая) селитра
Злегаз	SF_6
Электрокорунд	$\alpha-Al_2O_3$
Эсплатит	ионобензименная смола
Ювелирная бура	$Na_2B_4O_7 \cdot 5H_2O$

ПРИЛОЖЕНИЕ 8. Критерии подобия

Критерий	Формула	Соотношение	Критерии для моделирования газогидродинамических явлений	
			1	2
Рейнольдса	$Re = \frac{V \cdot d}{\nu}$, где V – скорость движения жидкости (газа) в канале диаметром d (в канале щелевого типа толщиной $\delta = d$); ν – кинематическая вязкость жидкости			Сил инерции и вязкости
Зйлера	$Eu = \frac{\Delta P}{\rho \cdot V^2}$, где ΔP – перепад (градиент) давлений; ρ – плотность среды (жидкости, газа)			Статического и динамического давлений
Фруда	$Fr = \frac{V^2}{g \cdot d}$, где g – ускорение свободного падения тела (ускорение силы тяжести)			Сил движущегося потока и земного тяготения
Струхалия	$St = \frac{V}{w \cdot d}$, где $w = \frac{1}{\tau}$ – частота; τ – время			Скорости потока и частоты ее изменения
Маха	$M = \frac{V}{V_{38}}$, где V_{38} – скорость звука			Скорости потока и звука
Вебера	$We = \frac{\rho \cdot w^2 \cdot d}{\sigma}$, где σ – поверхностное натяжение			Инерционных и капиллярных сил
Температурный	$Te = \frac{V^2}{C_p \cdot T}$, где C_p – теплоёмкость; T – температура			Скорости движения и температуры
Комплексные критерии подобия				
Лагранжа	$La = Eu \cdot Re = \frac{\Delta P \cdot d}{\eta \cdot V}$, где η – коэффициент динамической вязкости			Сил статического давления и вязкости расплава
Галилея	$Ga = \frac{Re^2}{Fr} = \frac{g \cdot d^3}{v^2}$			Сил тяжести и вязкости
Архимеда	$Ar = \frac{Re^2 \cdot (\rho_0 - \rho)}{\rho \cdot Fr}$			Сил тяжести и плотности жидкости
Грасгофа	$Gr = \frac{Re^2 \cdot (T - T_0)}{T_0 \cdot Fr}$			Сил тяжести и объёмного расширения при различной температуре

Критерии теплового подобия		3
Био	$Bi = \frac{\alpha \cdot d}{\lambda}$, где α, λ – коэффициенты теплоподачи и теплопроводности соответственно.	Перепада температур в твёрдом теле и температурного напора
Нуссельта	$Nu = \frac{\alpha \cdot d}{\lambda} = f(Re, Pr, Gr, l/d)$, где l – длина канала (рабочей полости в форме), d – диаметр канала или половина толщины канала (щелевого типа).	Теплоотдача в результате конвекции потока (жидкости, газа) к поверхности
Пекле	$Pe = \frac{V \cdot d}{\alpha}$	Интенсивности передачи тепла конвекций и переноса теплопроводностью
Прандтля	$Pr = \frac{v}{\alpha}$	Инерционности поля скорости потока температур при передаче тепла в движущейся жидкости
Фурье	$Fo = \frac{\alpha \cdot t}{d^2}$	Тепла перестройки температурного поля твёрдого тела и теплоперемещения внешних термических условий
Критерий механического подобия		
Ньютона	$Ne = \frac{F \cdot r^2}{m \cdot d} = \frac{F \cdot d}{mV^2}$, где F – сила	Действующих в системе сил

ПРИЛОЖЕНИЕ 9. Размеры шаблонов для индукционных тигельных печей

Размеры шаблонов для ИТП различной металлоёмкости приведены в таблице, а схема шаблона с указанием размеров - на рисунке.

Металлоёмкость тигля индукционной тигельной печи (по стали), кг	Размеры шаблона, мм				
	D	d	H	R	δ
15	110	110	220	55	1,5–2,0
20	170	160	220	80	1,5–2,0
50	230	190	375	95	2,0–3,0
150	275	225	520	113	3,0–3,5

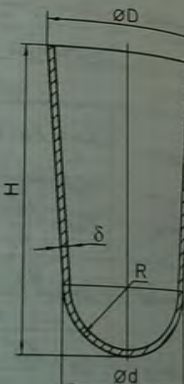


Схема шаблона

БИБЛИОГРАФИЧЕСКИЙ СПИСОК

- Адамов И.В. Производство отливок из легированных сталей: Учеб. пособие – Днепропетровск: ДМетИ, 1982. – 84 с.
- Аксенов А.Т., Танкевич Б.Ш., Паршин А.Н. Водорасторимые составы для стержней на основе полимеров. // Литейное производство. – 1993. – № 6. – С. 28–29.
- Александров В.М. Технология осаждения пироуглерода на поверхность форм для отливок по выплавляемым моделям. // Литейное производство. – 1979. – № 10. – С. 22–23.
- Алёшин Н.П., Щербинский В.Г. Радиационная, ультразвуковая и магнитная дефектоскопия металлоизделий; Учебник для ПТУ. – М.: Высшая школа, – 1991. – 271 с.
- Анисович Г.А. Влияние продолжительности течения металла на кинетику затвердевания отливки. // В сб. Теплобмен между отливкой и формой – Минск: Вышшая школа, – 1967. С. 50–53.
- Антисипатри при литье по выплавляемым моделям / Зарецкая Г.М., Иванов В.Н., Яковлева Г.В. и др. – Литейное производство. – 1973. – № 5. – С. 1–2.
- Ануарьев В.И. Справочник конструктора-машиностроителя. Изд. 3-е, доп. и перераб. – М.: Машиностроение, – 1968. – 688 с.
- Анчевая З.К., Ларин В.В., Другашов А.В., Голованова Н.И. Влияние расклипов и других технологических факторов на количество неметаллических включений в стали 2Х13Л. // В сб. Точное литьё. / Под ред. Г.П. Борисова и А.С. Лакеева. – Киев: ИПЛ АН УССР, 1970. – С. 13–20.
- Армирование оболочковых форм сплюдой при литье по выплавляемым моделям / Тимофеев Г.И., Евстигнеев А.Н., Лобанова Л.Ф. и др. // Литейное производство. – 1980. – № 7. – С. 20.
- Армирование оболочковых форм фарфоровой крошкой / Евстигнеев А.И., Петров В.В., Куренков В.И. и др. // Литейное производство. – 1992. – № 7. – С. 21–22.
- Армирующая сuspензия для оболочковых форм при литье по выплавляемым моделям / Тимофеев Г.И., Евстигнеев А.И., Зиновьев Ю.А. и др. // Литейное производство – 1981. – № 5. – С. 18–20.
- Бабайцев И.В., Карнаух Н.Н. Безопасность производства и применения порошковых экзотермических материалов в металлургии. – М.: Металлургия, – 1979. – 72 с.
- Бабаскин Ю.З. Структура и свойства литьей стали. – Киев: Наукова думка, – 1983. – 240 с.
- Бавер А.И., Сидоров И.М., Чайкин М.И. и др. Осаждение пироуглерода на корундовых формах при прокалке в вакууме. // Литейное производство. – 1978. – № 6. – С. 28–29.
- Бакакин Г.Н., Любченко А.П. Износостойкость и строение чугуна, модифицированного РЗМ. // Литейное производство. – 1967. – № 9. – С. 24–25.
- Баландин Г.Ф. Основы теории формирования отливки: Учеб. пособие: В 2-х ч. Ч. 1. Тепловые основы теории. Затвердование и охлаждение отливки. – М.: Машиностроение, 1976. – 328 с.
- Баландин Г.Ф., Заболоцкий А.А. Определение технологических режимов получения отливок с односторонне направленной кристаллической структурой: Сб. Основы образования литейных сплавов. Труды XIV Совещания по теории литейных процессов. – М.: Наука. – 1970. – С. 92–97.

18. Бараданыц В.Г. Гипсовые пресс-формы для литья по выплавляемым моделям: Сб. Методы получения отливок повышенной точности. – М.: Машиз, 1958. – С. 22–29.
19. Баум Б.А. Металлические жидкости. – М.: Наука, 1979. – 120 с.
20. Белью Ю.А., Ковалёв Ю.Г., Радостев А.Г. Повышение качества отливок из легких сплавов. Сб. научн. тр. ППИ. – Пермь: ППИ, 1977. – № 200. – С. 133–139.
21. Белев М.В., Пепелин А.Б., Испентьев Ю.Е. Новое поколение оборудования для прокаливания и запеки форм в литье по выплавляемым моделям. // Литейное производство, 1997. – № 10. – С. 21–22.
22. Белкова А.Ф., Кряковский Ю.В., Паков И.В. Влияние редкоземельных металлов на структуру и свойства конструкционной стали. // Металлургование и термическая обработка металлов. – 1965. – № 9. – С. 37–41.
23. Бескорнеевские керамические формы для направленной кристаллизации при литье полапоток газотурбинных двигателей / Каблов Е.Н., Дев В.В., Бондаренко Ю.А., Нарский А.Р. – Литейное производство, 2003. – № 5. – С. 17–20.
24. Быбиков Е.Л., Лебедев В.Б., Надежин А.М. Повышение качества и надежности литьих изделий: Сб. науч. тр. ЯПИ и РАТИ. – Ярославль: ЯПИ, 1976. – С. 116–121.
25. Бирзальв Ю.А. Основы теории и расчёта кондукционных МГД-насосов постоянного тока. – Рига: Зиннатне, 1968. – 236 с.
26. Богданов М.Т. Сплавы турбинных полапоток. // Литейное производство. – 1969. – № 8. С. 11–13.
27. Богомолова Н.А. Практическая металлография: Учебник для техн. училищ. Изд. 2-е. – М.: Высшая школа, 1982. – 272 с.
28. Бокштейн С.З. Строение и свойства металлических сплавов. – М.: Металлургия, 1971. – 496 с.
29. Бодлырев В.В. Механические методы активации неорганических веществ. // ВХО им. Д.И. Менделеева – 1988. – Т. XXXIII. – № 4. – С. 374–383.
30. Борнацкий И.И. Десульфурация металла. – М.: Металлургия, 1970. – 320 с.
31. Братухин А.Г., Ходоровский Г.Л., Ясинский К.К. Состояние и перспективы развития фасонного литья титановых сплавов. // Литейное производство. – 1993. – № 4. – С. 21–22.
32. Браун М.П. Микролегирование стали – Киев: Наукова думка, – 1982. – 303 с.
33. Бунин К.П., Баранов А.А. Металлография – М.: Металлургия, 1970. – 254 с.
34. Бутаков Д.К. Технологические основы повышения качества легированной стали для отливок. – М-Свердловск: Машгиз, 1963. – 192 с.
35. Буханова А.А., Толопрай В.Н. О структуре и свойствах монокристаллов никелевых жаропрочных сплавов. // В кн.: Жаропрочные и жаростойкие стали и сплавы на никелевой основе. – М.: Наука. – 1984. – С. 213–217.
36. Вагнер К. Термодинамика сплавов. / Пер. с англ. под ред. А.Г. Спектора, А.А. Жуховицкого. – М.: Металлургиздат, – 1957. – 179 с.
37. Вакуумное литье оборудования для высокоскоростной направленной кристаллизации / Каблов Е.Н., Герасимов В.В., Шалимов А.С. и др. – Литейное производство. – 1995. – № 10. – С. 30–32.
38. Васин Ю.П., Логиновский А.Н., Копылов А.Н. Повышение прочности керамических форм. // Литейное производство. – 1983. – № 4. – С. 42–43.
39. Вашуль Х. Практическая металлография. Методы изготовления образцов: Пер. с нем. – М.: Металлургия, 1988. – 320 с.
40. Ващенко К.И., Софрони Л. Магниевый чугун. – М.: Машгиз, 1960. – 486 с.
41. Вейник А.И. Расчет отливки. – М.: Машиностроение, 1964. – 404 с.
42. Вербольская Е.Д., Хлебников А.Е. Влияние добавок церия на свойства хромо-никельмолибденовой стали для фасонного стального литья: Сб. Сплавы редких металлов. – М.: Металлургиздат, 1960. – С. 303–313.
43. Верещ А. Очистка отливок. / Пер. с англ.; под ред. Г.Ф. Баландина. – М.: Машиностроение, 1982. – 256 с.
44. Взаимодействие керамики с расплавом при направленной кристаллизации / Карпович Ю.Ф., Глезер Г.М., Демонис И.М., Степанов В.М. – Литейное производство. – 1982. – № 4. С. 22–23.
45. Влияние влажности воздуха и содержания водорода в нержавеющих стальных отливках / Чуйко Н.М., Переярзко А.Т., Андреев Б.К. и др. – Литейное производство, 1972. № 12. С. 2–3.
46. Влияние лицевых сплошь на податливость оболочковой формы / Семёнова И.В., Никишин В.А., Харюткина Т.И., Виноградов В.А. // Литейное производство. – 2003. – № 1. С. 20–21.
47. Влияние многократного переплава на содержание азота в нержавеющей стали / Чуйко Н.М., Переярзко А.Т., Слипченко В.Г. и др. // Металлургия и коксохимия. – Киев: Техника. 1972. – № 31. – С. 54–57.
48. Влияние направленной кристаллизации на фазовый состав и дисперсность структуры никелевых сплавов / Светлов И.Л., Кулешов Е.А., Монастырский В.П. и др. // Изв. АН СССР. Металлы. – 1990. – № 1. С. 86–93.
49. Влияние технологии выплавки и термической обработки на структуру и механические свойства стали ВНЛ-3 / Степанов В.М., Жмурина Ю.А., Никольская В.Л., Колобашин Б.М. – Литейное производство. – 1977. – № 10. – С. 11–13.
50. Воздвиженский В.М., Добродеев В.В. Повышение качества графитовых форм использованием в составе оболочки микропорошка алюминия. // В сб. Совершенствование технологических процессов в литейном производстве. Ярославль: ЯПИ, 1983. – С. 99–101.
51. Выплавление моделей из оболочковых форм / Гаранин В.Ф., Озеров В.А., Муркина А.С., Куренкова О.А. // Литейное производство. – 1997. – № 2. С. 16–19.
52. Вяткин И.П., Кечин В.А., Машков С.В. Рафинирование и литье первичного магния. – М.: Металлургия, 1974. – 306 с.
53. Газы в цветных металлах и сплавах / Чернега Д.Ф., Бялик О.М., Иванчук Д.Ф., Ремизов Г.А. – М.: Металлургия, 1982. – 176 с.
54. Гайдук В.В., Кулыгин Г.В. Влияние состояния поверхности отливок лопаток турбин на их эксплуатационные свойства. // Литейное производство. – 1971. – № 7. – С. 3.
55. Гайсинский М., Адлов Ж. Радиохимический словарь элементов / Пер. с англ. Б.Ф. Мицоедова, под ред. С.С. Родина – М.: Атомиздат, – 1968. – С. 256.
56. Гаранин В.Ф., Муркина А.С., Куренкова О.А. Оценка качества гидролизованных растворов этилсиликата. // Литейное производство. – 1997. – № 7. С. 29–30.
57. Гаранин В.Ф., Фирсов В.Г., Муркина А.С. Влияние режимов сушки на прочность оболочек для литья по выплавляемым моделям. // Литейное производство. – 1993. – № 12. – С. 15–17.
58. Геллер Ю.А., Раухштадт А.Г. Материаловедение. Методы анализа, лабораторные работы и задачи. – М.: Металлургия. – 1983. – 384 с.
59. Гиршович Н.Г. Кристаллизация и свойства чугуна в отливках. – Л.: Машиностроение. – 1966. – 562 с.
60. Гиршович Н.Г., Алексеев А.Г. Исследование герметичности серых чугунов. // Литейное производство. – 1966. – № 5. – С. 25–26.

61. Гиршович Н.Г., Егоров Е.И. Влияние водорода на структуру и свойства чугуна. / Сб. Свойства сплавов в отливках. / Под ред. Н.Г. Гиршовича. – М.-Л.: Машгиз, – 1956. – С. 286–298.
62. Глотов Е.Б., Иванов Ю.А., Гречко В.Н. Литьё магниевых сплавов по выплавляемым моделям. // Литейное производство. – 1996. – № 3. – С. 21–22.
63. Голованов С.П. Технологические особенности изготовления отливок лопаток из жаропрочных сплавов с монокристаллической структурой. // Литейщик России. – 2004. – № 6. – С. 28–30.
64. Гольдштейн Я.Е. Микролегирование стали и чугуна. – М.: Свердловск: Машгиз, – 1959. – 200 с.
65. Горюнов И.И. Размерная точность отливок, получаемая при литье под давлением и по выплавляемым моделям: Сб. Точность и качество поверхности отливок. / Под ред. Ф.Д. Оболенцева – М.-Л.: Машгиз, 1962. – С. 40–50.
66. Горюнов И.И., Степанов Н.М. Выплавка стали в индукционных печах малой емкости. // В кн. Новое в теории и практике литьевого производства. Под ред. Н.Г. Гиршовича. – М.-Л.: Машгиз, – 1956. – С. 259–272.
67. Грузин В.Г. Температурный режим литья стали. – М.: Металлургиздат, 1962. – 352 с.
68. Дегазация нержавеющей стали в индукционных печах аргоном и шлаками / Перевязко А.Т., Фёдоров В.Л., Черевко П.В. и др. // Литейное производство. – 1981. – № 3. – С. 8–9.
69. Денисов В.А., Денисов А.В. Метод расчёта температур затвердевания стали. // Литейное производство. – 1983. – № 5. – С. 11.
70. Денисов В.А., Костенецкий С.В. Механизм образования газоусадочной пористости в осевой зоне отливки: Сб. Свойства расплавленных металлов. Труды XVI Совещания по теории литьевых процессов. – М.: Наука. – 1974. – С. 135–137.
71. Десницкий В.В., Грузных И.В. Исследование и разработка способа создания направленного затвердевания тонкостенных отливок: Сб. Новое в процессах литья. – Киев: ИЛЛ АН УССР, – 1974. С. 69–72.
72. Десницкий В.В., Грузных Н.В., Гуляев Б.Б. Направленное затвердевание тонкостенных отливок. // Литейное производство. – 1972. – № 11. – С. 12–13.
73. Десницкий В.В., Королёва Н.В., Шапранов И.А. Математическая модель формирования плотного строения тонкостенных отливок. // Энергомашиностроение. – 1976. – № 12. – С. 25–26.
74. Дружинин Б.И., Нефёдов Ю.В. Направленное затвердевание отливок из алюминиевых сплавов при литье по выплавляемым моделям. // Литейное производство. – 1980. – № 7. – С. 19–20.
75. Дударов Н.С., Баскаков А.П., Исламов С.Р. Прокаливание и заливка форм в установке кипящего слоя при литье по выплавляемым моделям. // Литейное производство. – 1975. – № 4. – С. 32–33.
76. Евстигнеев А.И., Чернышов Е.А. Установка приготовления связующих растворов и суспензий для керамических и оболочковых форм. // Литейное производство. – 1984. – № 5. – С. 29.
77. Езжев В.М. Футеровочные материалы для индукционных печей // Литьё Украины. – 2004. – № 11 (51). С. 31–39.
78. Жаропрочность литьевых никелевых сплавов и защита их от окисления / Патон Б.Е., Строганов Г.Б., Кишкин С.Т., и др. – Киев: Наукова думка, – 1987. – 256 с.
79. Жевтунов П.П. Литейные сплавы. – М.: Машгиз, 1957. – 432 с.
80. Зарубицкий О.Г., Дмитрук Б.Ф., Сташкевич Ф.Ф. Очистка отливок из стали 35ХГСЛ от керамики, окалины и сварочного флюса в расплавах щелочей. // Литейное производство. – 1983. – № 10. – С. 25–26.
81. Захватов Ю.К., Подымов А.Н. Высокочастотный способ выплавления модельных составов. // Литейное производство. – 1983. – № 7. С. 20–21.
82. Защитно-упрочняющее покрытие для оболочковых форм. / Васин Ю.П., Иткин Ю.М., Логиновский А.Н., Копылов А.Н. – Литейное производство – 1990. – № 4. – С. 17.
83. Знаменский Л.Г. Применение ультразвуковых полей в формообразовании из гипсовых смесей. // Литейщик России. – 2003. – № 2. – С. 25–28.
84. Зырин Г.П., Ашуга Я.Г. Исследование трещиноустойчивости при литье по выплавляемым моделям в вакууме. // Литейное производство. – 1988. – № 2. – С. 24–28.
85. Иванов Б.В., Юрченко И.В. Способ футеровки высокотемпературных индукционных тигельных печей. // Литейное производство. – 1980. – № 11. – С. 30.
86. Иванов В.Н. Контроль при литье по выплавляемым моделям. // Литейное производство. – 1993. – № 12. – С. 17–19.
87. Иванов В.Н. Справочник-справочник по литейному производству. – М.: Машиностроение. – 1990. – 384 с.
88. Иванов В.Н., Бубнова Л.В. Влияние температуры оболочковой формы на качество металла отливок при литье по выплавляемым моделям. // Литейное производство. – 1980. – № 3. – С. 19–20. Иванов В.Н., Чулкова А.Д. Интенсификация отверждения форм при литье по выплавляемым моделям. // Литейное производство. – 1981. – № 3. – С. 18–20.
89. Изготовление постоянных магнитов кольцевой формы с направленной кристаллизацией / Сергеев В.В., Ларичкина Р.Я., Рабинович Ю.М. и др. – Литейное производство. – 1969. – № 8. – С. 13–14.
90. Изготовление тонкостенных отливок в керамических формах / М.Н. Евстигнеев, В.А. Рыбкин, Р.Ф. Юсипов, Ю.В. Дедясов. – Литейное производство. – 1984. – № 10. – С. 21–22.
91. Изготовление форм по выплавляемым моделям с использованием готовых эпоксидикатных связующих / Озеров В.А., Гаранин В.Ф., Муркина А.С. и др. – Литейное производство. – 1990. – № 7. – С. 18–20.
92. Изготовление форм по выплавляемым моделям с использованием готовых эпоксидикатных связующих / Озеров В.А., Гаранин В.Ф., Муркина А.С. и др. – Литейное производство. – 1990. – № 7. – С. 18–20.
93. Иодковский С.А., Сашишин Н.Н. Новый метод выплавки austenитных сталей с заданным количеством феррита. / В сб. Физико-химические основы производства сталей. – М.: Металлургиздат. – 1961. – С. 32–37.
94. Использование коллоидального кремнезёма для форм при литье по выплавляемым моделям / Иванов В.В., Гарбер И.М., Железняков Л.Р., Арсеньев В.Т. – Литейное производство. – 1977. – № 5. – С. 17–18.
95. Использование кремнезоля для изготовления форм по выплавляемым моделям / Чулкова А.Д., Шабанова Н.А., Растворин Ю.И., Иванов В.Н. – Литейное производство. – 1981. – № 11. – С. 16–17.
96. Исследование форм для литья алюминиевых сплавов по выплавляемым моделям, разупрочняемых после заливки. / Озеров В.А., Гаранин В.Ф., Муркина А.С., Чижков А.А. // В сб. Совершенствование технологических процессов в литьевом производстве. – Ярославль: ЯПИ. – 1983. – С. 51–54.
97. Исследования влияния РЗМ и иттрия на литейные свойства стали. / Гладков М.И., Стасюк Г.Ф., Этлис Л.С. и др. // В сб. Свойства расплавленных металлов. Труды XVI Совещания по теории литьевых процессов. – М.: Наука. – 1974. – С. 163–165.

98. Исследования кинетики выделения твёрдой фазы в двухфазной области за-
твердевания сплавов / Репях С.И., Смирнов В.М., Котешов Н.П., Ефимен-
ко И.А., Изя ВУЗов. Чёрная металлургия. – 1990. – № 4. – С. 56–58.
99. Каблов Е.Н. Литые лопатки газотурбинных двигателей (сплавы, технология
покрытия). – М.: МИСИС. – 2001. – 632 с.
100. Каблов Е.Н., Светлов И.Л., Петрушин Н.В. Никелевые жаропрочные сплавы
для литья лопаток с направленной и монокристаллической структурой (ча-
сть II) // Материаловедение. – 1997. – № 5. – С. 14–17.
101. Казеннов С.А. Особенности формирования структуры и механических свойств стальных дета-
лей, отлитых по выплавляемым моделям. / В кн. Методы получения отливок
повышенной точности. – М.: Машиз. – 1958. – С. 52–68.
102. Калинин П.Л. Регенерация отходов форм, получаемых по выплавляемым моде-
лям. – Литейное производство. – 2002. – № 12. – С. 17–19.
103. Капукин Ю.Н., Мальцева Ю.Ю. Малоотходные технологии литья крупногабаритных
лопаток газотурбинных двигателей. / В сб. Труды V съезда литейщиков
России. – М.: Радунца. – 2001. – С. 256–259.
104. Каминский излом в стальных отливках по выплавляемым моделям / Лапина
Э.Я., Ильин Г.А., Сперанская Г.И., Палей Ю.М. – Литейное производство. –
1981. – № 7. – С. 7–8.
105. Кацукников Н.Н., Спиридонов Е.В., Наджмудинов Т.З. Усадочная пористость
и её влияние на некоторые свойства широкointервалных сплавов. // Литейное
производство. – 1980. – № 5. – С. 23–24.
106. Карапих Ю.А. Новая технология литья медных наконечников кислородно-
конвертерных фурм // Литейщик России. – 2003. – № 11. – С. 17–21.
107. Карапеев А.П. Литьё по выплавляемым моделям с применением керамических
стержней. / Литейное производство. – 1963. – № 7. – С. 1–2.
108. Келоглу Ю.П., Захариевич К.М., Карташевская М.И. Металлы и сплавы. Справ-
очник. 2-е изд. – Киншинёв: Карти Молдовеная. – 1977. – 264 с.
109. Кингери У.Д. Введение в керамику. – М.: Стройиздат. – 1969. – 456 с.
110. Классификация готовых эпоксидикатных связующих / Гаранин В.Ф., Мурина
А.С., Озеров В.А. и др. – Литейное производство. – 1992. – № 1. – С. 22–23.
111. Клемчук Л.В., Антиленко В.Ф., Акаров Ю.Г. Совершенствование технологии
изготовления форм на основе алюмохромоfosфатном связующем. // Лите-
йное производство. – 1989. – № 7. – С. 19–20.
112. Ковалёв Ю.Г., Быков Ю.М., Лукьянов В.И. Керамические формы, пропитанные
пищуплеродом. // Литейное производство. – 1982. – № 10. – С. 26–27.
113. Козлов Г.Я. Керамические оболочковые формы для литья крупногабаритных
турбинных лопаток. / В сб. Повышение качества и эффективности литья по
выплавляемым моделям. – М.: МДНТП. – 1989. – С. 80–83.
114. Козлов Г.Я., Карапин Л.П., Апилинский В.В. Повышение прочности керамич-
еских стержней пропиткой эпоксидной смолой. // Литейное производство. –
1977. – № 3. – С. 16.
115. Комбинированное рафинирование латуней. / Кимстач Г.М., Курдяков А.А., Бор-
исов Е.С., Ларионов А.Я. – Литейное производство. – 1982. – № 1. – С. 29–30.
116. Кондаков Г.Н., Озеров В.А., Токарев А.И. Керамические формы из плавленого
магнезита. / В сб. Повышение качества и надёжности литьих изделий. – Яро-
славль: ЯПИ. – 1978. – С. 90–92.
117. Кондратьев Ю.П., Дитятковский Я.М., Заруцкий И.П. Влияние материала
пресс-форм на затвердевание и охлаждение выплавляемых моделей. // Ли-
тейное производство. – 1971. – № 1. – С. 13–15.
118. Константинов Л.С., Юй-Чуань-Цзынь. Центробежная отливка фасонных дета-
лей // Литейное производство. – 1962. – № 5. – С. 5–7.
119. Контроль и методы исследования процесса получения оболочковых форм при
литии по выплавляемым моделям / Иванов В.Н., Булетов Ю.Б., Чулкова А.Д. и
др. – Литейное производство. – 1976. – № 9. – С. 25–28.
120. Колычев В.М., Мазаев В.А., Темшо И.И. Синтез и применение этиловых эфи-
ров кремниевой кислоты. / В сб. Повышение качества и эффективности литья
по выплавляемым моделям. – М.: МДНТП. – 1989. – С. 28–32.
121. Королёв В.М., Степанов В.М. Фасонное литьё по выплавляемым моделям. –
М.: Оборонгиз. – 1962. – 158 с.
122. Королёв М.Л. Азот как легирующий элемент стали. – М.: Металлургиздат. –
1961. – 163 с.
123. Корольков А.М. Литейные свойства металлов и сплавов. Изд. 2-е, доп. – М.:
Наука. – 1967. – 200 с.
124. Кошкин Е.М. Повышение точности размеров выплавляемых моделей. / В сб.
Повышение качества и эффективности литья по выплавляемым моделям. –
М.: МДНТП. – 1986. – С. 139.
125. Краевской В.Н. Влияние меди на кристаллизацию чугуна. // Литейное производ-
ство. – 1979. – № 4. – С. 3–5.
126. Кржижановский Р.Е., Штерн З.Ю. Теплофизические свойства неметаллических
материалов. – Л.: Энергия. – 1973. – 284 с.
127. Кристаллизация из расплавов. Справ. изд. Пер с нем. / Бартел И., Буринг Э.,
Хайн К., Кухарж Л. – М.: Металлургия. – 1987. – 320 с.
128. Кузеев М.Я., Скворцов А.А., Смеликов Н.Н. Справочник рабочего-литейщика.
2-е изд. – М.: Свердловск: Машгиз. – 1956. – 634 с.
129. Кузьмичёв Л.В., Малиновский Р.Р. Технология лёгких сплавов. – М.: ВИС. –
1973. – № 3. – С. 26–28.
130. Кукулев Г.В. Химия кремния и физическая химия силикатов. – М.: Высшая шко-
ла. – 1966. – 464 с.
131. Кулагов Б.А., Александров В.М., Дубровин В.К. Повышение качества отливок,
получаемых методом направленной кристаллизации. // Литейное производст-
во. – 1992. – № 4. – С. 16–18.
132. Кушка Н.К., Чернега Д.Ф. Повышение плотности тонкостенных алюминиевых
отливок при литье под низким давлением в керамические формы. // Литейное
производство. – 1981. – № 3. – С. 11–12.
133. Кушка Н.К., Чернега Д.Ф. Получение тонкостенных отливок литьём под низким
давлением в керамические формы. // Литейное производство. – 1983. – № 4. –
С. 43.
134. Лакеев А.С., Щегловитов Л.А., Кузьмин Ю.Д. Прогрессивные способы изгото-
вления точных отливок – Киев: Техника. – 1984. – 160 с.
135. Ларин В.С., Васильев В.А. Поверхностные дефекты на отливках из нержавею-
щих сталей и их предупреждение // Литейное производство. – 1969. – № 7. – С. 38.
136. Ларионов А.Я., Серебряков С.П. Взаимодействие титановых сплавов с глино-
зёмистой керамикой. // Литейное производство. – 1976. – № 1. – С. 16–17.
137. Ларионов В.И., Крамаров А.Д. Особенности поведения глиноэзимистых и крем-
незимистых включений при кристаллизации стали. / В сб. Свойства расплав-
ленных металлов. Труды XVI Совещания по теории литьевых процессов. – М.:
Наука. – 1974. – С. 97–99.
138. Лебедев К.П., Выгон Л.Ф., Шеметев Г.Ф. Газосодержание сплавов бронз. /
В сб. Свойства расплавленных металлов. Труды XVI Совещания по теории лите-
йных процессов. – М.: Наука. – 1974. – С. 122–124.

139. Лебедев К.П., Ионкина Е.М. Жаропрочные сплавы для литья без вакуума. // Литейное производство. – 1970. – № 8. – С. 7–9.
140. Лебедев П.В., Клюкин Ю.В. Способ направляемой кристаллизации в формах, нагретых ниже ликвидуса сплава с подогревом электрическим током / В сб. Прогрессивные технологические процессы в литейном производстве. – Ярославль: ЯПИ. – 1985. – С. 89–92.
141. Лебедев П.В., Кононенко В.К., Куликов В.Н. Разработка технологических вариантов монокристаллического литья. / В сб. Повышение качества и надежности литьих изделий. – Ярославль: ЯПИ. – 1976. – С. 99–106.
142. Леви Л.И. Азот в чугуне для отливок. – М.: Машиностроение. – 1964. – 228 с.
143. Леви Л.И. О содержании водорода в чугуне. // Литейное производство. – 1968. – № 2. – С. 30–31.
144. Леви Л.И., Ортенберг Л.М. О влиянии оксидных включений на структуру и свойства чугуна. // Литейное производство. – 1969. – № 7. – С. 28–29.
145. Леви Л.И., Фролов М.М., Столляр Г.Ф. Влияние обработки сплава ЮНКД24 аргоном на содержание неметаллических включений. // Литейное производство. – 1970. – № 8. – С. 23–24.
146. Леонтиев М.В. Практика использования керамических фильтров фирмой "LÄNIK" в литейном производстве и металлургии. // Литьё Украины. – 2004. – № 1. – С. 21–27.
147. Лившиц Б.Г., Крапалин В.С., Линецкий Я.Л. Физические свойства металлов и сплавов. – М.: Металлургия. – 1980. – 320 с.
148. Липницкий А.М. Плавка чугуна и сплавов цветных металлов. – М-Л.: Машгиз. – 1960. – 180 с.
149. Литейное производство за рубежом / Шаповал В.М., Шумихин В.С., Бурман П.Н., Захарченко Э.В. – Киев.: Наукова думка. – 1983. – 264 с.
150. Литейное производство: Учебник для металлургических специальностей вузов, 2-е изд. Перераб. и доп. / Михайлов А.М., Бауман Б.В., Благов Б.Н. и др. – М.: Машиностроение. – 1987. – 256 с.
151. Литейные формы для изготовления титановых отливок / Черников В.А., Ходоровский Г.Л., Ларионов В.Н., Хлыстов Е.Н. – Литейное производство. – 1992. – № 7. – С. 19–21.
152. Литьё в упрочнённые керамические формы / Черников В.А., Доценко В.К., Севрюк О.К. и др. – Литейное производство. – 1969. – № 8. – С. 38.
153. Литьё по выплавляемым моделям. 3-изд. перераб. и доп. / В.Н. Иванов, С.А. Казённов, Б.С. Курчман и др.; под общ. ред. Я.И. Шкленичка, В.А. Озерова. – М.: Машиностроение. – 1984. – 408 с.
154. Ломоносов Ю.М., Полисадов В.Н. Влияние степени чистоты расплавленной стали на её трещиноустойчивость. / В сб. Свойства расплавленных металлов. Труды XVI Совещания по теории литейных процессов. – М.: Наука. – 1974. – С. 160–163.
155. Лухонин М.В., Павленко С.И., Авакумов Е.Г. Механохимический синтез муллитов из вторичных минеральных ресурсов. // Огнеупоры и техническая керамика. – 2003. – № 6. – С. 39–42.
156. Любецкий Д.Г. Производство стали и отливок в вакууме. – Киев – М.: Машгиз. – 1959. – 174 с.
157. Магниевые сплавы. Ч.2. Справочник. Технология производства и свойства отливок и деформированных полуфабрикатов. / Под ред. И.И. Гурьева, М.В. Чухрова. – М.: Металлургия. – 1978. – 296 с.
158. Магницкий О.Н. Литейные свойства титановых сплавов / Под ред. Б.Б. Гуляева. – Л.: Машиностроение. – 1968. – 120 с.
159. Маркевич А.В. Производство точных отливок из жаропрочных сплавов. // Литейное производство. – 1997. – № 10. – С. 15–16.
160. Марчук Г.И. Методы вычислительной математики. – М.: Наука. – 1980. – 566 с.
161. Матусевич И.С. Керамические формы на основе отлеупорных окислов. // Литейное производство. – 1970. – № 6. – С. 1.
162. Матусевич И.С. Плавка стали и сплавов в основных индукционных печах. // Литейное производство. – 1971. – № 11. – С. 3–4.
163. Матусевич И.С. Плавленый кварц – термостабильный оgneупор для точного литья. / В сб. Повышение качества и эффективности литья по выплавляемым моделям. – М.: МДНТП. – 1989. – С. 56–59.
164. Медведев М.А., Прищепов О.Ф., Новосельцев М.И. Износстойкость деталей из высокопрочного чугуна, полученных вакуумным всасыванием. // Литейное производство. – 1981. – № 1. – С. 25.
165. Медведев Я.И. Газовые процессы в литейной форме. – М.: Машиностроение. – 1980. – 200 с.
166. Методы контроля и исследования процесса литья по выплавляемым моделям. Исходные данные для разработки проектного задания на лаборатории, обслуживающие цехи литья по выплавляемым моделям / И.Б. Сокол, Л.А. Житкова, М.И. Иванов и др. – М.: НИИАвтоморп. – 1968. – 100 с.
167. Миньян Л.В., Ильинская Л.В., Боровской О.Б. Влияние вакуумирования расплава на кристаллизацию графита. / В сб. Свойства расплавленных металлов. Труды XVI Совещания по теории литейных процессов. – М.: Наука. – 1974. С. 140–146.
168. Мир художественного литья: История технологии. / Бех Н.И., Васильев В.А., Гини Э.Ч., Петриченко А.М. // Под общ. Ред. В.А. Васильева. – М.: Металлург. – 1997. – 272 с.
169. Мишанова В.Г., Ходоровский Г.Л. Влияние физико-химических условий плавки на качество титановых отливок. // Литейное производство. – 1992. – № 4. – С. 10–11.
170. Могилёв В.К., Лев О.И. Справочник литейщика: Справочник для профессионального обучения рабочих на производстве. – М.: Машиностроение. – 1988. – 272 с.
171. Муркина А.С., Озеров В.А., Шприц Б.Б. Применение низкоконцентрированных этилсиликатных связующих растворов в производстве форм по выплавляемым моделям. / В сб. Прогрессивные процессы и материалы в литейном производстве. – Ярославль: ЯПИ. – 1979. – С. 86–87.
172. Муркина А.С., Оспенникова О.Г., Хайченко В.Е. Исследование процессов сушки оболочка форм. // Литейное производство. – 2003. – № 1. – С. 14–16.
173. Мухоморов И.А. Классификация и причины возникновения газовых раковин в чугунных отливках. / В сб. Труды пятого съезда литейщиков России. – М.: Радунца. – 2001. – С. 140–143.
174. Назаренко В.Р. Влияние расклипителей и легирующих элементов на образование камневидного излома в отливках из стали 35ХГСЛ. // Литейное производство. – 1982. – № 10. – С. 13.
175. Напалков В.И., Махов С.В. Легирование и модификация алюминия и магния. – М.: МИСИС. – 2002. – 376 с.
176. Направленная кристаллизация жаропрочных сплавов / Кишкин С.Т., Строганов Г.Б., Логунов А.В. и др. – Литейное производство. – 1984. – № 4. – С. 17–19.
177. Напалков В.С. Термическая обработка металлов. Учеб. пособие для вузов. – Киев: Вища школа. – 1980. – 288 с.

178. Неуструев А.А., Ходоровский Г.Л. Вакуумные гарнисажные печи. — М.: Металлургия. — 1967. — 272 с.
179. Никишин В.А. Производство фасонных отливок из сталей и жаропрочных сплавов методом направленного затвердевания. // Литейное производство. — 1993. — № 4. — С. 25–26.
180. Новый способ прокаливания форм отливок по выплавляемым моделям / В.А.Черников, О.К.Севрюк, В.К.Доценко и др. — Литейное производство — 1969. — № 7. — С. 31–32.
181. О свойствах электрокорундового покрытия для литья по выплавляемым моделям / Апилинский В.В., Машков А.К., Козлов Г.Я., Зырин Г.П. — Литейное производство. — 1971. — № 5. — С. 40.
182. О технических условиях на порошки непрозрачного кварцевого стекла для оболочковых и керамических форм и стержней / Рассказов В.Д., Р. Савицкас К.К., Матусевич И.С., Лесников А.К. — Литейное производство. — 1982. — № 1. — С. 12–13.
183. Общесоюзные (межотраслевые) нормы технологического проектирования чугунолитейных и стальлитейных цехов машиностроительных заводов. — Чугунолитейное и стальлитейное машиностроение. — 1980. — 227 с.
184. Определение границ затрудненного питания стали. / Долбатенко Е.Т., Смирнов А.П., Побежимов П.И., Назаргин В.В. — Энергомашиностроение. — 1980. — № 8. — С. 19.
185. Осевая пористость в тонкостенном литье по выплавляемым моделям / Репях С.И., Смирнов В.М., Котешов Н.П., Снисарь И.И. — Изв. ВУЗов, Чёрная металлургия. — 1986. — № 10. — С. 93–96.
186. Основные алютитниковые сплавы алюминия как связующие материалы для изготовления бескремнё主义ых форм. / Матусевич И.С. Крестовников А.Н., Шкленник Я.И. Вендрис М.С. — Литейное производство. — 1966. — № 4. — С. 1–3.
187. Оценка водных этилсиликатных связующих для оболочковых форм по выплавляемым моделям / Клинова Л.В., Калащникова З.П., Осипчук В.С., Цапенко И.Н. — Литейное производство. — 1980. — № 6. — С. 15–16.
188. Очистка алюминиевых отливок от остатков оболочки в расплаве щелочи / Донченко В.К., Марченко В.А., Польгев Ю.В. и др. — Литейное производство. — 1979. — № 4. — С. 26–27.
189. Очистка точных стальных отливок от керамики в щелочных расплавах / Зарубицкий О.Г., Белецкий В.М., Степанов В.М. и др. — Литейное производство. — 1978. — № 6. — С. 33.
190. Палубков Е.И., Шкленник Я.И. Фильтрование жидкой стали через кусковые фильтры с целью очистки её от неметаллических включений. / В сб. Основы образования литейных сплавов. Труды XIV совещания по литейным процессам. — М.: Наука. — 1970. — С. 266–268.
191. Панкратов В.А., Кустова А.Л. Управление формированием структур направленной кристаллизации лопаток турбин / В сб. Повышение качества и эффективности литья по выплавляемым моделям. — М.: МДНТП. — 1989. — С. 105–108.
192. Перевозкин Ю.Л., Жаденов Л.А. Неомыляемые модельные композиции для литья по выплавляемым моделям. // Литейное производство. — 1966. — № 3. — С. 5–7.
193. Перевозкин Ю.Л., Шкленник Я.И. Алютитникатное связующее при литье по выплавляемым моделям. // Литейное производство. — 1969. — № 4. — С. 10–11.
194. Перевощиков Э.П., Баженова Н.Е. Прокаливание керамических форм с заменой электрического нагрева на газовый. // Литейное производство. — 1980. — № 6. — С. 18–19.
195. Перспективные модельные композиции для ЛВМ / Седельников В.В., Аппилинский В.В., Сабуров В.П., Деуля О.М. — Литейное производство. — 1998. — № 9. — С. 24–25.
196. Першин П.С. Вакуумная сушка форм для литья по выплавляемым моделям. // Литейное производство. — 1983. — № 11. — С. 34–35.
197. Першин П.С., Акутина В.Г. Развитие литья по выплавляемым моделям на Уралмашзаводе. // Литейное производство. — 1983. — № 6. — С. 23.
198. Петрушенко С.А., Радико С.М. Выбивка стержней из алюминиевых отливок электрогидравлическим способом. // Литейное производство. — 1983. — № 10. — С. 26.
199. Пивонка Т.С., Грэхэм Л.Д. Контроль литья структуры высококачественных сплавов вакуумной плавки / В сб. Вакуумная металлургия. Пер. с англ. А.Л. Соловьевского, Е.Б. Качанова, И.П. Бармотина. — М.: Металлургия. — 1973. — С. 27–33.
200. Писарев И.Е. Свойства двухслойных керамических оболочек. // Литейное производство. — 1972. — № 10. — С. 11–13.
201. Писарев И.Е., Мушик В.И., Иванов И.С. Безопочное прокаливание и запивка этилсиликатных оболочковых форм. // Литейное производство. — 1984. — № 9. — С. 26–28.
202. Пучигин Б.А., Гоффенштейфер Л.И., Рыжов В.И. Влияние компонентов на растворимость кислорода в литейных бронзах. // Литейное производство. — 1977. — № 10. — С. 16.
203. Плазменно-индукционная плавка магнитных сплавов. / Фролов М.М., Иванов В.П., Малиновский В.С. и др. — Литейное производство. — 1981. — № 1. — С. 9–10.
204. Поведение при нагреве оболочных форм, изготовленных электрофоретическим способом / Болотаева Н.С., Васильев В.А., Рыбкин В.А., Крестьянов В.И. — Литейное производство. — 1980. — № 11. — С. 14–15.
205. Половолчий Д.Я. Раскилование стали. — М.: Металлургия. — 1972. — 208 с.
206. Повышение качества поверхности отливок по выплавляемым моделям при использовании беспротивного этилсиликатного связующего / Кириллова Т.М., Танкелевич Б.Ш., Иванова Т.В., Абадзе А.В. — Литейное производство. — 1984. — № 1. — С. 19–20.
207. Повышение огнеупорности форм, изготовленных на жидкостекольном связующем. / Лунёва Н.А., Антиленко В.Ф., Синица В.П., Семененко А. — Литейное производство. — 1983. — № 3. — С. 20–21.
208. Повышение технико-экономических показателей индукционной тигельной плавки при плавке алюминиевых сплавов. / Свидло А.В., Мешков М.А., Простяков А.А., Рускол В.И., Колесов В.Б. — Литейное производство. — 1981. — № 7. — С. 28.
209. Получение плотных отливок методом направленной кристаллизации из сплавов с широким интервалом кристаллизации / А.А.Рыжиков, Г.И.Тимофеев, В.П.Журавлев и др. // В кн.: Новое в точном литье. — Киев.: ИПЛ АН УССР. — 1972. — С. 192–194.
210. Пористые огнеупорные материалы в литье по выплавляемым моделям / С.Т.Моисеев, Г.М.Юй, В.М.Лавринов и др. — Технология производства, научная организация труда и управления. — 1979. — № 4. — С. 1–2.
211. Постнов Л.М. Усадочная пористость в стальной литьей арматуре и борьба с ней. / В сб. Новое в теории и практике литьёного производства. Под ред. Н.Г. Гиршовича. — М-Л.: Машгиз. — 1956. — С. 89–95.
212. Постнов Л.М., Гуляев Б.Б. Исследование влияния затвердевания металла в процессе заполнения формы на качество стальных отливок. / В сб. Затвердевание металлов. Труды второго совещания по теории литьёных процессов. Под Ред. Ред. Б.Б. Гуляева. — М.: Машгиз. — 1958. — С. 374–396.

213. Потапов Ю.М., Мышалов С.В. Прокаливание форм в вакууме при литье по выплавляемым моделям. // Литейное производство. – 1971. – № 10. – С. 4.
214. Приготовление сусpenзии для керамических и оболочковых форм / Чернышев Е.А., Евстигнеев А.И., Фёдорова Л.А., Лашин В.И. – Литейное производство. – 1983. – № 6. – С. 24–25.
215. Применение алюмохромоfosфатной связки при литье по выплавляемым моделям. // Ноздрин В.Д., Омельченко В.С., Карцев Т.К., Цаплева Н.М. – Литейное производство. – 1984. – № 4. – С. 23.
216. Применение отечественного коллоидного силиката натрия (кремнезола) марок "Сиалит" в качестве термостойкого связующего в металлургическом производстве. / Молчанов Н.А., Федуров А.А., Закиров Ф.А., Никифоров П.А. // Сб. Труды V съезда литейщиков России. – М.: Радуница. – 2001. – С. 341–345.
217. Производство высокотемпературных литьих лопаток авиационных ГТД / Под ред. С.И. Языка. – М.: Машиностроение. – 1995. – 256 с.
218. Производство точнолитниковых деталей из жаропрочных сплавов с гранулярной структурой / Никишин В.А., Федосов А.А., Чумаков М.В. и др. – Литейное производство. – 2003. – № 1. – С. 9–13.
219. Пути снижения дефектности отливок из никелевых сплавов при литье по выплавляемым моделям. / Кулаков Б.А., Дубровин В.К., Кулаков А.Б., Знаменский Л.Г. – Литейное производство. – 1995. – № 10. – С. 24–25.
220. Райбович Б.В. Введение в литейную гидравлику. – М.: Машиностроение. – 1966. – 424 с.
221. Радд Р.У. Затвердевание отливок. / Пер. с англ. В.А. Беленьского. – М.: Машгиз. – 1960. – 392 с.
222. Растворимость водорода в нержавеющей стали 1Х18Н9 и ликвидация его при кристаллизации металла. / Чуйко Н.М., Лакомский В.И., Андреев Б.К. и др. // Сб. : Металлургия и коскохимиya. – Киев: Техника. – 1970. – № 21. – С. 10–14.
223. Расчёт усадочной пористости в фасонных отливках. / Репях С.И., Смирнов В.М., Котецов Н.П., Снисарь И.И. – Изв. ВУЗов. Чёрная металлургия. – 1987, № 2. – С. 79–83.
224. Рафинирование алюминиевых бронз. / Колесков В.Ф., Чурсин В.М., Дегтярёва Ю.В. и др. – Литейное производство. – 1970. – № 8. – С. 10–11.
225. Рафинирование алюминиевых сплавов в вакууме. / Альтман М.Б., Глотов Е.Б., Рябинина Р.М. и др. – М.: Металлургия. – 1970. – 156с.
226. Ращев Ц.В. Производство легированной стали. / Пер. с болг. – М.: Металлургия. – 1981. – 248 с.
227. Ребенок В.Н., Магницкий О.Н. Формирование отливок при центробежном литье по выплавляемым моделям. // Литейное производство. – 1980. – № 12. – С. 20.
228. Регенерация материала оболочковой формы на основе электрокорунда / Борисов А.В., Жуков А.А., Почкин Ю.А., Варенцов В.В. – Литейное производство. – 1993. – № 6. – С. 29.
229. Репях С.И. Внешние и внутренние холодильники в литье по выплавляемым моделям. // Литей України. – 2003. – № 12. – С. 4–11.
230. Репях С.И. Исследование влияния условий плавки на качество стали 08Х14Н7МП и усадочную пористость тонкостенных отливок. // Литей України. – 2005. – № 3. – С. 17–24.
231. Репях С.И. Каэрцевые оболочковые формы для литья по выплавляемым моделям. // Литей України. – 2004. – № 12. – С. 4–6.
232. Репях С.И. Классификация выплавляемых модельных составов для точного литья. // Литей України. – 2003. – № 7. – С. 4–12. № 8. – С. 8–13.
233. Репях С.И. Некоторые вопросы литья по выплавляемым моделям. // Литей України. – 2005. – № 6. – С. 13–20. № 7. – С. 4–9.
234. Репях С.И. О влиянии человеческого фактора на качество отливок в литье по выплавляемым моделям. // Литей України. – 2005. – № 9. – С. 4–7.
235. Репях С.И. О свойствах модельных составов в литье по выплавляемым моделям. // Литей України. – 2003. – № 6. – С. 4–11.
236. Репях С.И. Образование усадочной пористости в тонкостенных отливках. // Литей України. – 2004. – № 3. – С. 6–16.
237. Репях С.И. Оценка склонности модельных составов к образованию утяжин в литье України. – 2003. – № 5. – С. 6–10.
238. Репях С.И. Применение холодильников в стальном литье по выплавляемым моделям. // Теория и практика металлургии. – 2000. – № 6. – С. 25–28.
239. Репях С.И. Расчёт литьево-питающих систем для литья по выплавляемым моделям. // Литей України. – 2003. – № 10. – С. 7–14. № 11. – С. 4–11.
240. Репях С.И. Термостратификация керамических оболочковых форм в литье по выплавляемым моделям. // Литей України. – 2004. – № 5. – С. 10–16. № 6. – С. 9–13.
241. Репях С.И., Котяков Л.А., Педаш А.А. Формирование точности турбинных лопаток. // Литей України. – 2004. – № 1. – С. 4–13. № 2. – С. 5–14.
242. Репях С.И., Смирнов В.М., Снисарь И.И. Об усадочной пористости в отливках. // Изв. ВУЗов. Чёрная металлургия. – 1990. – № 2. – С. 77–79.
243. Ростовцев Л.И. Микролегирование стали редкоземельными металлами и образование плён. / В сб. Основы образования литьевых сплавов. Труды XIV Совещания по теории литьевых процессов. – М.: Наука. – 1970. – С. 250–252.
244. Рудницкий С.В. Производство отливок лопаток газотурбинных двигателей. // Литейное производство. – 2003. – № 1. – С. 2–3.
245. Русков В.И. Технологические аспекты литья по выплавляемым моделям. // Литейное производство. – 1989. – № 7. – С. 22–23.
246. Руссиян С.В., Голованов Н.Н. Производство точного литья по выплавляемым моделям. – Л.: Судпромгиз. – 1958. – 346 с.
247. Рыбкин В.А. Повышение точности отливок и эффективности процесса литья по выплавляемым моделям. / В сб. Повышение качества и эффективности литья по выплавляемым моделям. – М.: МДНТП. – 1986. – С. 139.
248. Рыбкин В.А. Основные направления развития литья по выплавляемым моделям. // Литейное производство. – 1997. – № 6. – С. 19–21.
249. Рыжиков А.А., Тимофеев Г.И., Лебедев П.В. Свойства отливок с волокнистой структурой. / В сб. Основы образования литьевых сплавов. Труды XIV Совещания по теории литьевых процессов. – М.: Наука. – 1970. – С. 97–98.
250. Рыжиков А.А., Тимофеев Г.И., Трифонов Ю.И. О закономерностях питания отливок в двухфазном состоянии. // Литейное производство. – 1970. – № 6. – С. 26–28.
251. Самойлович Ю.А. Формирование слитка. – М.: Металлургия. – 1977. – 158 с.
252. Сапченко И.Г. Оболочковые формы, армированные стекловолокном. // Литейное производство. – 1997. – № 1. – С. 18–19.
253. Сапченко И.Г., Евстигнеев А.И., Салина М.В. Влияние технологических параметров на качество форм, изготовленных по выплавляемым моделям. // Литейное производство. – 2002. – № 4. – С. 19–20.
254. Сасса В.С. Футеровка индукционных плавильных печей и миксеров. – М.: Энергоатомиздат. – 1983. – 120 с.

255. Сварка в машиностроении: Справочник в 4-х т. / Редк.: Г.А. Николаев (ред.) и др. – М.: Машиностроение, 1978. Т.1 // Под ред. Н.А. Ольшанского. – 1978. – 504 с.
256. Семененко А.А., Порхоненко В.П., Бочаров В.П. Шлиkerные супензии для оболочковых форм отливок по выплавляемым моделям. // Литейное производство. – 1977. – № 5. – С. 16–17.
257. Серебряков С.П., Лебедев А.В. Литьё с кристаллизацией под гидростатическим давлением // Литейное производство. – 1981. – № 7. – С. 15–16.
258. Серебряков С.П., Чистяков В.В., Круглов А.И. Моделирование центробежной заливки форм. // Литейное производство. – 1978. – № 6. – С. 27–28.
259. Симе Ч., Хагель В. Жаропрочные сплавы. – М.: Металлургия, – 1976. – С. 239–241.
260. Сластионов А.А., Кечин В.А. Фильтрационное рафинирование сплавов на медной основе. / В сб. Труды V съезда литейщиков России. – М.: Радуница, – 2001. – С. 231–233.
261. Смирнов В.М., Репях С.И., Снисарь И.И. Параметры технологии литья по выплавляемым моделям. / В сб. Повышение технического уровня и совершенствование технологических процессов производства отливок. – Днепропетровск: ДМетИ, 1990. т.2. С. 26–27.
262. Смирнова К.Н. Получение стальных заготовок путём прессования в процессе кристаллизации. / В сб. Затвердевание металлов. Труды второго совещания по теории литейных процессов. // Под. Ред. Б.Б. Гуляева. – М.: Машиз, 1958. С. 480–483.
263. Снижение содержания неметаллических включений в алюминиевых бронзах. / Лебедев К.П., Синичкин А.М., Шеметев Г.Ф., Даниленко Э.П. – Литейное производство, 1980, №6. – С. 10–11.
264. Соколов А.А., Ларинов В.И. Плавка и разливка стали. / 3-е изд. Под общ. ред. А.М. Липницкого. – Л.: Машиностроение, – 1982. – 66 с.
265. Состав для выплавляемых моделей. / Омельченко В.С., Кабачева Л.П., Карцева Т.К., Ноздрин В.Д. – Литейное производство, – 1984. – №4. – С. 21–23.
266. Состав растворов, полученных при гидролизе ЭТС-32, ЭТС-40 и ЭТС-50. / Соловьевский В.М., Клещевников С.И., Дубровская Г.А. и др. – Литейное производство, – 1974. – №9. – С. 27–29.
267. Сошников Е.А., Фокин А.А., Репях С.И. Фильтрационная очистка литейных сплавов вакуумной выплавки. / В сб. Повышение технического уровня и совершенствование технологических процессов производства отливок. – Днепропетровск: – ДМетИ, – т. 2. – С. 83–84.
268. Сошников Е.А., Фокин А.А., Ядькин А.Ю. Метод безотходной технологии изготовления деталей из жаропрочных сплавов. / В сб. Повышение технического уровня и совершенствование технологических процессов производства отливок. – Днепропетровск: – ДМетИ, – т. 2. – С. 80–82.
269. Справочник литейщика. Фасонное стальное литьё / Под общ. ред. Н.Н. Рубцова. – М.: Машиз, – 1962. – 612 с.
270. Справочник металлурга. / Под ред. В.С. Владиславлева. – Т 3. книга 1. – М.: Машиз, – 1959. – 560 с.
271. Справочник по чугунному литью. / Под ред. Н.Г. Гиршовича. – 3-е изд., перераб. и доп. – Л.: Машиностроение. – 1978. – 758 с.
272. Сравнение методов рафинирования алюминиевых сплавов. / Альтман М.Б., Авдухин В.П., Смирнова Т.И. и др. – Литейное производство. – 1969. – № 6. С. 11–13.
273. Сравнительная оценка двух способов литья с направленной кристаллизацией. / Лебедев П.В., Котов В.Ф., Шварц В.И. и др. – Литейное производство. – 1980. – № 6. – С. 16–17.
274. Строганов А.И., Рысс М.А. Производство стали и ферросплавов. / 2-е изд. – М.: Металлургия, – 1979. – 504с.
275. Структура и свойства магниевого чугуна, легированного медью / Ващенко К.И., Фирстов А.Н., Котовник Г.И., Снежко А.А. / В кн.: Технология и организация производства. – Киев: Наукова думка, – 1967. – №5 (47). – С. 54–55.
276. Сушки и удаление модельных составов из крупногабаритных оболочек, полученных методом электрофореза / Рыжков И.В., Канский В.К., Некрасов А.П., Бреслер М.С. – Литейное производство. – 1982. – № 7. – С. 21–23.
277. Танкелевич Б.Ш., Аксёнов А.Т., Анисимов И.Г. Влияние углеродородного состава модельных масс на качество прокалённых керамических форм. // Литейное производство. – 1983. – № 7. – С. 15–16.
278. Танкелевич Б.Ш., Демидова А.А. Удаление модельной массы при прокаливании оболочковых форм. – Литейное производство. – 1974. – № 6. – С. 34–36.
279. Тен Э.Б. Контролирующие стадии процесса фильтрационного рафинирования жидкого металлов. / В сб. Труды V съезда литейщиков России. – М.: Радуница. – 2001. – С. 65–67.
280. Тен Э.Б. Повышение качества отливок по выплавляемым моделям фильтрованием. / В сб. Повышение качества и эффективности литья по выплавляемым моделям. – М.: МДНТИ, – 1989. – С. 119–125.
281. Теплопроводность оболочковых форм, получаемых по выплавляемым моделям / Шлинцлер С.С., Ланда М.И., Цирельман Н.М., Мамлеев Р.Ф. – Литейное производство. – 1978. – № 3. – С. 26–27.
282. Технология получения беспригарной керамической формы для литья по выплавляемым моделям / Ослепенникова О.Г., Шутов А.Н., Пикулина Л.В., Дев'яев В.В. – Литейщик России. – 2003. – № 2. – С. 22–23.
283. Тимофеев Г.И., Бушуев А.Н., Железнов Ю.Д. Метод интенсификации сушки электрофоретических форм. // Литейное производство. – 1983. – №4. – С. 43–44.
284. Тимофеев Г.И., Данилин В.П., Щелкунов С.О. Факторы плотности отливок из стали 45Л по выплавляемым моделям. // Литейное производство. – 1976. – № 9. – С. 28.
285. Тимофеев Г.И., Евстигнеев А.И. Использование отработанной смеси для изготовления форм по выплавляемым моделям. // Литейное производство. – 1980. – № 3. – С. 21–22.
286. Тимофеев Г.И., Марширов В.В., Трифонов Ю.И. Повышение качества отливок, полученных под регулируемым давлением. // Литейное производство. – 1983. – № 4. – С. 27.
287. Тимофеев Г.И., Сапченко И.Г., Евстигнеев А.И. Армирование оболочковых форм вспученным перлитом. // Литейное производство. – 1991. – № 6. – С. 30–31.
288. Тимофеев Г.И., Северюхин Н.В., Лебедев П.В. Влияние добавок редкоземельных и редких металлов на герметичность и другие свойства медных сплавов. / В сб. тезисов докладов – Редкоземельные металлы в сплавах. Ч. II. Повышение качества сталей и сплавов путём легирования редкими и редкоземельными элементами. – Киев-Одесса: ИПЛ АН УССР, – 1968. – С. 115–121.
289. Тимофеев Г.И., Филатов В.Я. Центробежная машина для фасонных отливок. // Литейное производство. – 1970. – № 8. – С. 38–40.

290. Титановые сплавы. Производство фасонных отливок из титановых сплавов / Бибиков Е.Л., Глазунов С.Г., Неуструев А.А., Ходоровский Г.Л., Ясинский К.К. - М.: Металлургия. - 1983. - 296 с.
291. Тончес лите цветных сплавов в гипсовые и керамические формы / Крестнер О.Е., Барданыц В.К., Лапидовская Л.А., Лотарева О.Б. - М.: Машиностроение. - 1968. - 290 с.
292. Трофимов М.Г. Футеровка индукционных печей. - М.: Металлургия. - 1968. - 288 с.
293. Увеличение термостойкости оболочковых форм при снижении расхода эпоксидной смолы / Рошан Н.Р., Холоденко Ю.Ш., Кушаньев В.И., Морозов В.И. - Литейное производство. - 1984. - № 12. - С. 12-13.
294. Уикс К.Е. Блок Ф.Е. Термодинамические свойства 65 элементов, их окислов, галогенидов, карбидов и нитридов. - М.: Металлургия. - 1965. - 240 с.
295. Улучшение поверхности силуминитокорундовых форм / Серебряков С.П., Ларионов А.Я., Цельмович В.А., Мартыновский В.В. - Литейное производство. - 1984. - № 8. - С. 22.
296. Ультразвук. Маленская энциклопедия. / Глав. Ред. И.П. Галямина. - М.: Советская энциклопедия. - 1979. - 400 с.
297. Управление формированием качественных отливок / Тен Э.Б., Бибиков А.М., Гришин В.М., Кимаков Б.М. - Литейное производство. - 2003. - № 6. - С. 5-8.
298. Устранение поверхностных дефектов стальных отливок по выплавляемым моделям / Александров В.М., Васин Ю.П., Аверьянов Е.Ф. и др. - Литейное производство. - 1977. - № 5. - С. 24-25.
299. Ферритатир И.Б., Старченко Г.Г. Изготовление отливок из алюминиевых сплавов литьём противодавления в керамические формы. // Литейное производство. - 1983. - № 3. - С. 16.
300. Фирсов В.Г., Гаранин В.Ф., Озеров В.А.. Живучесть эпоксидикатных связующих. / В сб. Повышение качества и эффективности литья по выплавляемым моделям. - М.: МДНТП. - 1989. - С. 36-42.
301. Формирование стальных отливок по выплавляемым моделям с кристаллизацией под давлением / Чернов Н.И., Пахоменко М.Д., Гречко В.Н., Карапанюк Ю.А. - Литейное производство. - 1993. - № 4. - С. 22-24.
302. Формовочные материалы и технология литьевой формы: Справочник (Технология литьевого производства). / С.С.Жуковский, Г.А.Анисович, Н.И.Давыдов, и др.; Под общ. ред. С.С.Жуковского. - М.: Машиностроение. - 1993. - 432 с.
303. Фролов М.М. Расчёт питающего стока отливок по выплавляемым моделям. // Литейное производство. - 1977. - № 10. - С. 24.
304. Хаюти С.Г. Капиллярная и рентгеновская дефектоскопия и рентгеноструктурный анализ. // Литейное производство. - 2003. - № 1. С. 23-26.
305. Хенкин М.Л. Механические свойства отливок при литье по выплавляемым моделям. / В кн. Методы получения отливок повышенной точности. - М.: Машиз. - 1958. - С. 69-78.
306. Химушин Ф.Ф. Жаропрочные стали и сплавы. - М.: Металлургия. - 1969. - 752 с.
307. Химушин Ф.Ф. Легирование, термическая обработка и свойства жаропрочных сталей и сплавов. - М.: Оборонгиз. - 1962. - 336 с.
308. Химушин Ф.Ф. Нержавеющие стали. - М.: Металлургиздат. - 1963. - 600 с.
309. Ходаков Г.С. Физика измельчения. - М.: Наука. - 1972. - 307 с.
310. Ходоровский Г.Л. Некоторые итоги разработки и развития титанового литья. // Литейное производство. - 2003. - № 1. - С. 6-8.
311. Хроматографический анализ эпоксидиката и его гидролизованных растворов / Богданович Л.И., Житкова Л.А., Старикова К.С. и др. - Литейное производство. - 1976. - № 12. - С. 24-28.
312. Чалмерс Б. Теория затвердевания. / Пер. с англ. В.А. Алексеева, под ред. М.В. Приданцева - М.: Металлургия. - 1968. - 288 с.
313. Чепранов В.Н., Головской С.И. Особенности технологии центробежного литья фасонных отливок. // Литейное производство. - 1977. - № 10. - С. 24-25.
314. Чернов Н.И., Игнатов А.И., Гречко В.Н. Литьё алюминиевых заготовок по выплавляемым моделям с кристаллизацией под давлением. // Литейное производство. - 1995. - № 2. - С. 12-13.
315. Чернов Н.И., Гречко В.Н. Изготовление отливок из стали ВНЛ-3 по выплавляемым моделям с кристаллизацией под давлением. // Литейное производство. - 1999. - № 2. - С. 34-35.
316. Чернов Н.И., Игнатов А.И. Литьё по выплавляемым моделям с кристаллизацией под давлением. // Литейное производство. - 1996. - № 6. - С. 15-17.
317. Чернышов Е.А., Уваров Б.И. Совершенствование технологии приготовления эпоксидикатного связующего. // Литейное производство. - 1984. - № 8. - С. 21-22.
318. Чудайкин А.И., Калинин В.П. Псевдоожженная среда как средство управления кристаллизацией отливки. // Литейное производство. - 2004. - № 12. - С. 19-20.
319. Чулкова А.Д. Усовершенствование технологии литья по выплавляемым моделям. // Литейное производство. - 1982. - № 1. - С. 15-16.
320. Чулкова А.Д., Иванов В.Н. Некоторые свойства оболочковых форм при высокой температуре. // Литейное производство. - 1980. - № 6. - С. 13-14.
321. Чулкова А.Д., Яковлева Г.В., Чубруков Е.М.. Исследование и совершенствование технологии изготовления супензий и форм. / В сб. Повышение качества и эффективности литья по выплавляемым моделям. - М.: МДНТП. - 1989. - С. 71-75.
322. Шарпанов И.А., Мутилов В.Н., Чивиксин Я.Е. Способ изготовления крупногабаритных отливок лопаток газовых турбин. // Литейное производство. - 1983. - № 5. - С. 15.
323. Шаров М.В., Гудченко А.П. Изучение взаимодействия водорода с лёгкими сплавами в процессе плавления. / В сб. Металлургические основы литья легких сплавов. - М.: Оборонгиз. - 1957. - С. 306-330.
324. Шатов А.Я., Шагалов В.Л. Влияние неметаллических включений на трещинустойчивость стали 30ХГСФЛ // Литейное производство. - 1982. - № 4. - С. 14-15.
325. Шеметев Г.Ф., Лебедев К.П. Неметаллические включения в сплавленных бронзах. // Литейное производство. - 1969. - № 4. - С. 29-30.
326. Шипулин Н.В. Предотвращение засоров в отливках по выплавляемым моделям. // Литейное производство. - 1969. - № 5. - С. 40-41.
327. Шипулин Н.В. Упрочнённые формы при литье по выплавляемым моделям. // Литейное производство. - 1969. - № 12. - С. 32-33.
328. Шипулин Н.В., Кириевский Б.А., Чихачев В.В. Интенсификация процесса прокаливания форм при литье по выплавляемым моделям. // Литейное производство. - 1982. - № 7. - С. 23-24.
329. Шкленник Л.Я., Медведев Я.И. Газопроницаемость и прочность оболочек по выплавляемым моделям. // Литейное производство. - 1978. - № 2. - С. 21-23.

330. Шленник Я.И. Изготовление литейных форм при литье по выплавляемым деталям. / В сб. Методы получения отливок повышенной точности. – М.: Машигиз. – 1958. – С. 30–43.
331. Шлиндер С.С., Ланда М.И., Мамлеев Р.Ф. Получение плотных пустотелых отливок направленным затвердеванием. // Литейное производство. – 1980. – № 11. – С. 13–14.
332. Шлиндер С.С., Неустроев А.А., Мамлеев Р.Ф. Исследование термомеханических свойств оболочковых форм по выплавляемым моделям. // Литейное производство. – 1983. – № 3. – С. 19–20.
333. Шлис Х.И. Поведение неметаллических включений в стали при кристаллизации и деформации. – М.: Металлургия. – 1971. – 126 с.
334. Шульте Ю.А. Пути совершенствования плавки стали для фасонного литья. // Литейное производство. – 1970. – № 4. – С. 8–11.
335. Шульте Ю.А., Волчок И.П., Пинчук Е.И. Неметаллические включения и разрушение литьой стали. // Литейное производство. – 1971. – № 3. – С. 29–31.
336. Этилсиликатные суспензии для керамических форм. / Гуляева Т.Б., Иоффе М.А., Максимков В.Н., Вечерская Г.И. – Литейное производство. – 1992. – № 6. – С. 18.
337. Юсипов Р.Ф., Рыбкин В.А. Сборные формы для литья по выплавляемым моделям. // Литейное производство. – 1984. – № 4. – С. 35.
338. Юсипов Р.Ф., Рыбкин В.А., Степанов Ю.А. Легкоразрушаемые формы для тонкостенных отливок из алюминиевых сплавов по выплавляемым моделям. // Литейное производство. – 1981. – № 8. – С. 32–33.
339. Явойский В.И. Теория процессов производства стали. – М.: Металлургия. – 1967. – 798 с.
340. Яковлев Б.Н., Нагиев Р.Г. Переплав отходов нержавеющей стали в высокочастотных индукционных печах с основной футеровкой. // Литейное производство. – 1982. – № 10. – С. 11–13.
341. Chipman J., Corrigan Donald A. Prediction of the solubility of nitrogen in molten steel trans. Metallurg. Soc. AIME. – 1965, 233, – № 7, 1249–1252.
342. Durber G., Osgerby S.// Metals Technol. – 1984. – V.11. – № 4. – P. 129–137.
343. Giamei A.F. and Tschinkel J.G. // – Metallurgical Transactions. – 1976. – V.7A (september). – P. 1427–1434.
344. Hort R.T., Wallace W. // Intern. Metals reviews. – 1976. – V.21. – № 1. – P. 1–24.
345. Meetham G.W. Trace elements in superalloys overview // Metals Technol. – 1984. – V.11. – № 10. – P. 414–418.
346. Nakagawa Y.G., Murakami K., Ohtomo A., Saiga Y. // Transactions of the Iron and Steel Institute of Japan. – 1980. – V.20. – № 9. – P. 614–623.
347. Opil W.R., Grant N.G.-Alloys. Trans. AIME – 1950. – v.188. – № 10. – p.1237–1243.
348. Rosenberg R.A. Precision metal. – 1968. – v. 26. – № 2. – p. 55–56.
349. Stampfer J.E., Holley C.E., Sutte J.F. – J. Am. Chem. Soc. – 1968. – v.82. – p.3504–3508.
350. VerSnyder F.L., Shank M.E. // Review Paper. Materials Science and Eng. – 1970. – V. 6. – № 4. – P. 213–247.